



รายงานการวิจัย

การปรับปรุงสมบัติการต้านการติดไฟของพอลิเมอร์คอมโพสิทระหว่าง
ผงขี้เลื่อยและพอลิเอทิลีนชนิดความหนาแน่นสูงที่ผ่านการใช้งานแล้ว
(Improvement of flame retardancy of sawdust/recycled high density
polyethylene composites)

มหาวิทยาลัยเทคโนโลยีสุรนารี

ได้รับทุนอุดหนุนการวิจัยจาก
มหาวิทยาลัยเทคโนโลยีสุรนารี

ผลงานวิจัยนี้เป็นความรับผิดชอบของหัวหน้าโครงการวิจัยแต่เพียงผู้เดียว

รหัสโครงการ SUT7-710-57-18-07



รายงานการวิจัย

การปรับปรุงสมบัติการต้านการติดไฟของพอลิเมอร์คอมโพสิทระหว่าง
ผงขี้เลื่อยและพอลิเอทีลีนชนิดความหนาแน่นสูงที่ผ่านการใช้งานแล้ว
(Improvement of flame retardancy of sawdust/recycled high density
polyethylene composites)

คณะผู้วิจัย

หัวหน้าโครงการ

รองศาสตราจารย์ ดร. กษมา จารุกำจร

สาขาวิชาวิศวกรรมพอลิเมอร์

สำนักวิชาวิศวกรรมศาสตร์

มหาวิทยาลัยเทคโนโลยีสุรนารี

ได้รับทุนอุดหนุนการวิจัยจากมหาวิทยาลัยเทคโนโลยีสุรนารี ปีงบประมาณ พ.ศ. 2557

ผลงานวิจัยนี้เป็นความรับผิดชอบของหัวหน้าโครงการวิจัยแต่เพียงผู้เดียว

กิตติกรรมประกาศ

การวิจัยเรื่อง ผลของสารห่วงไฟต่อสมบัติทางกายภาพของพอลิเมอร์คอมโพสิทระหว่าง ผงขี้เลื่อยและพอลิเอทิลีนชนิดความหนาแน่นสูงที่ผ่านการใช้งานแล้ว ซึ่งได้รับทุนอุดหนุนการวิจัย จากมหาวิทยาลัยเทคโนโลยีสุรนารี ปีงบประมาณ 2557 ผู้วิจัยขอขอบคุณผู้ช่วยวิจัย นางสาวพิศ จารปัญญาชีพ นักศึกษาสาขาวิชาวิศวกรรมพอลิเมอร์ สำนักวิชาวิศวกรรมศาสตร์ มหาวิทยาลัย เทคโนโลยีสุรนารี และเจ้าหน้าที่ศูนย์เครื่องมือวิทยาศาสตร์และเทคโนโลยีสุรนารี มหาวิทยาลัย เทคโนโลยีสุรนารี นอกจากนี้ ผู้วิจัยขอขอบคุณ บริษัทเคมีคอล อินโนเวชั่น จำกัด (Chemical Innovation Co., Ltd) ที่ให้ความอนุเคราะห์มาเล็กแอนไฮไดรด์กราฟท์พอลิเอทิลีน (Fusabond[®]E MB100D, DuPont) บริษัท เบ็นไมเออร์ เคมีคอล (ที) จำกัด ที่ให้ความอนุเคราะห์อะลูมิเนียมไตรไฮเดรต (APYRAL[®] 40CD, Nabaltec) และโรงเลื่อยหัวทะเล จังหวัดนครราชสีมา ที่ให้ความอนุเคราะห์ผงขี้เลื่อยอินเดียนวอลนัท (Albizia lebbbeck Benth)

บทคัดย่อ

ผลของปริมาณของผงซีลี้อยและการตัดแปรรัดคาไลน์ต่อสมบัติทางกล สมบัติการต้านทานต่อการคิดไฟ สมบัติทางความร้อนและสัณฐานวิทยาของพอลิเมอร์คอมโพสิทระหว่างผงซีลี้อยและพอลิเอทิลีนชนิดความหนาแน่นสูงที่ผ่านการใช้งานแล้ววิเคราะห์ ปริมาณผงซีลี้อยคือ 30 40 และ 50 เปอร์เซ็นต์โดยน้ำหนัก ความต้านทานต่อแรงดึง ความยืดสูงสุด ณ จุดขาด ความต้านทานต่อแรงกระแทก ความต้านทานต่อการคิดไฟ และความเสถียรต่อร้อนลดลงเมื่อปริมาณผงซีลี้อยที่ไม่ผ่านการตัดแปรรัดเพิ่มสูงขึ้น ในขณะที่มอดูลัสแรงดึงเพิ่มขึ้น การตัดแปรรัดคาไลน์ปรับปรุงสมบัติทางกล สมบัติการต้านทานต่อการคิดไฟ และความเสถียรต่อความร้อนของพอลิเมอร์คอมโพสิทที่ทุกปริมาณของผงซีลี้อย พอลิเมอร์คอมโพสิทระหว่างผงซีลี้อยที่มีการปรับปรุงพื้นผิวชนิดอัดคาไลน์และพอลิเอทิลีนชนิดความหนาแน่นสูงที่ผ่านการใช้งานแล้วที่มีปริมาณผงซีลี้อย 30 เปอร์เซ็นต์โดยน้ำหนักแสดงสมบัติทางกล สมบัติการต้านทานต่อการคิดไฟ ความเสถียรต่อความร้อนที่สูงที่สุด ภาพถ่ายจากกล้องจุลทรรศน์อิเล็กตรอนแบบส่องกราดแสดงให้เห็นถึงการปรับปรุงการยึดติดที่อินเทอร์เฟซระหว่างผงซีลี้อยและพอลิเอทิลีนชนิดความหนาแน่นสูงที่ผ่านการใช้งานแล้วโดยการตัดแปรรัดคาไลน์

อะลูมิเนียมไตรไฮดรอกไซด์ถูกนำมาใช้เป็นสารหน่วงไฟ ที่ปริมาณ 10 20 และ 30 ส่วนในหนึ่งร้อยส่วนของพอลิเมอร์คอมโพสิท สมบัติการต้านทานต่อการคิดไฟและความเสถียรต่อความร้อนของพอลิเมอร์คอมโพสิทได้รับการปรับปรุงเมื่อเพิ่มปริมาณของอะลูมิเนียมไตรไฮดรอกไซด์ ในขณะที่ไม่ส่งผลกระทบต่อสมบัติทางกล ภาพถ่ายจากกล้องจุลทรรศน์อิเล็กตรอนแบบส่องกราดแสดงให้เห็นการยึดติดที่อินเทอร์เฟซที่ไม่ดีระหว่างอะลูมิเนียมไตรไฮดรอกไซด์กับพอลิเอทิลีนชนิดความหนาแน่นสูงที่ผ่านการใช้งานแล้ว พอลิเมอร์คอมโพสิทระหว่างผงซีลี้อยที่ผ่านการตัดแปรรัดคาไลน์และพอลิเอทิลีนชนิดความหนาแน่นสูงที่ผ่านการใช้งานแล้วที่มีปริมาณผงซีลี้อยที่ผ่านการตัดแปรรัดคาไลน์ 30 เปอร์เซ็นต์โดยน้ำหนัก และมีอะลูมิเนียมไตรไฮดรอกไซด์ในปริมาณ 30 ส่วนในหนึ่งร้อยส่วนของพอลิเมอร์คอมโพสิท มีสมบัติการต้านทานต่อการคิดไฟและความเสถียรต่อความร้อนที่สูงที่สุด

ซิงค์บอเรนนำมาใช้รวมกันกับอะลูมิเนียมไตรไฮดรอกไซด์ อัตราส่วนของอะลูมิเนียมไตรไฮดรอกไซด์ต่อซิงค์บอเรน คือ 1 ต่อ 1 1 ต่อ 2 และ 2 ต่อ 1 การรวมกันของอะลูมิเนียมไตรไฮดรอกไซด์และซิงค์บอเรน เพิ่มสมบัติทางกลของพอลิเมอร์คอมโพสิทระหว่างผงซีลี้อยผ่านการตัดแปรรัดคาไลน์และพอลิเอทิลีนชนิดความหนาแน่นสูงที่ผ่านการใช้งานแล้วที่มีปริมาณผงซีลี้อย 30 เปอร์เซ็นต์โดยน้ำหนักเล็กน้อย เมื่อเปรียบเทียบกับพอลิเมอร์คอมโพสิทที่มีการใส่อะลูมิเนียมไตรไฮดรอกไซด์ พอลิเมอร์คอมโพสิทระหว่างผงซีลี้อยที่ผ่านการตัดแปรรัดคาไลน์และพอลิเอทิลีนชนิดความหนาแน่นสูงที่ผ่านการใช้งานแล้วที่มีปริมาณผงซีลี้อยที่ผ่านการตัดแปรรัดคาไลน์ 30 เปอร์เซ็นต์โดยน้ำหนัก

และมีปริมาณซิงค์บอเรท 30 ส่วนในหนึ่งร้อยส่วนของพอลิเมอร์คอมโพสิต มีสมบัติทางกล ความเสถียรต่อความร้อนที่สูงที่สุด แต่มีสมบัติการต้านทานต่อไฟที่ต่ำที่สุด การรวมกันของอะลูมิเนียมไตรไฮดรอกไซด์และซิงค์บอเรท ที่อัตราส่วน 1 ต่อ 1 และ 2 ต่อ 1 แสดงผลการเสริมกันในการปรับปรุงสมบัติการต้านทานต่อการติดไฟพอลิเมอร์คอมโพสิต พอลิเมอร์คอมโพสิตระหว่างผงซีลีอัสที่ผ่านการตัดแปรอัลคาไลน์และพอลิเอทิลีนชนิดความหนาแน่นสูงที่ผ่านการใช้งานแล้วที่ปริมาณผงซีลีอัสที่ผ่านการตัดแปรอัลคาไลน์ 30 เปอร์เซ็นต์โดยน้ำหนัก มีปริมาณอะลูมิเนียมไตรไฮดรอกไซด์ 20 ส่วนในหนึ่งร้อยส่วนของพอลิเมอร์คอมโพสิต และมีปริมาณซิงค์บอเรท 10 ส่วนในหนึ่งร้อยส่วนของพอลิเมอร์คอมโพสิตมีสมบัติการต้านทานต่อการติดไฟที่สูงที่สุด

นอกจากนี้ มาเลอิกแอนไฮไดรด์กราฟท์พอลิเอทิลีนนำมาใช้เป็นสารช่วยให้เข้ากันที่ปริมาณ 1 3 และ 5 ส่วนในหนึ่งร้อยส่วนของพอลิเมอร์คอมโพสิต เมื่อเพิ่มปริมาณมาเลอิกแอนไฮไดรด์กราฟท์พอลิเอทิลีน สมบัติทางกลของพอลิเมอร์คอมโพสิตเพิ่มขึ้นอย่างมีนัยสำคัญ ในขณะที่สมบัติการต้านทานต่อการติดไฟ และความเสถียรต่อความร้อนเพิ่มขึ้นเล็กน้อย ภาพถ่ายจากกล้องจุลทรรศน์อิเล็กตรอนแบบส่องกราดแสดงให้เห็นไม่เพียงแต่การปรับปรุงการยึดติดที่อินเตอร์เฟซระหว่างสารตัวเติมและพอลิเอทิลีนชนิดความหนาแน่นสูงที่ผ่านการใช้งานแล้ว แต่ยังแสดงการกระจายตัวที่ดีของสารหน่วงไฟและผงซีลีอัสในพอลิเอทิลีนชนิดความหนาแน่นสูงที่ผ่านการใช้งานแล้ว

Abstract

Effects of sawdust content and alkali treatment on mechanical, flame retarding, thermal and morphological properties of sawdust/rHDPE composites were investigated. Sawdust contents were 30, 40 and 50 wt%. Tensile strength, elongation at break, impact strength, flame retardancy and thermal stability of the composites were decreased with increasing untreated sawdust content while tensile modulus was increased. Alkali treatment enhanced mechanical, flame retarding and thermal properties of the composites at all sawdust contents. rHDPE/30AT composite showed the highest mechanical properties, flame retardancy and thermal stability. SEM micrographs revealed the improvement of interfacial adhesion between sawdust and rHDPE matrix by alkali treatment.

Aluminum trihydrate (ATH) was used as a flame retardant at contents of 10, 20 and 30 phr. Flame retardancy and thermal stability of the composites were improved with increasing ATH content while mechanical properties were not much affected. SEM micrographs showed the poor interfacial adhesion between ATH and rHDPE matrix. The composite containing 30ATH showed the highest flame retardancy and thermal stability.

Zinc borate (ZB) was used in the combination with ATH. ATH/ZB ratios were 2:1, 1:1 and 1:2. The combination of ATH and ZB slightly increased mechanical properties of rHDPE/30AT composite comparing to the composite containing ATH. The composite containing 30ZB had the highest mechanical properties and thermal stability but the lowest flame retardancy. The combination of ATH and ZB at ATH:ZB ratios of 2:1 and 1:1 exhibited the synergistic effect in enhancing flame retardancy of the composites. The composite containing ATH/10ZB at the ratio of 2:1 showed the highest flame retardancy.

In addition, maleic anhydride grafted polyethylene (MAPE) was used as a compatibilizer and its contents were 1, 3 and 5 phr. With increasing MAPE content, mechanical properties of the composites were significantly improved while flame retardancy and thermal stability were slightly increased. SEM micrographs revealed not only the enhancement of interfacial adhesion between fillers and rHDPE matrix but also the good distribution of flame retardants and sawdust in rHDPE matrix.

สารบัญ

		หน้า
	กิตติกรรมประกาศ.....	ก
	บทคัดย่อภาษาไทย.....	ข
	บทคัดย่อภาษาอังกฤษ.....	ง
	สารบัญ.....	จ
	สารบัญตาราง.....	ช
	สารบัญรูป.....	ญ
บทที่ 1	บทนำ.....	1
	1.1 ความสำคัญและที่มาของปัญหาที่ทำการวิจัย.....	1
	1.2 วัตถุประสงค์ของ โครงการวิจัย.....	3
	1.3 ขอบเขตของโครงการวิจัย.....	4
	1.4 ประโยชน์ที่ได้รับจากการวิจัย.....	5
บทที่ 2	ภูมิหลัง.....	6
	2.1 คุณลักษณะของไม้.....	6
	2.2 พอลิเมอร์คอมโพสิตระหว่างสารตัวเติมเซลลูโลสและพอลิเมอร์.....	6
	2.3 การปรับปรุงความเข้ากันได้ระหว่างสารตัวเติมเซลลูโลสและพอลิเมอร์.....	8
	2.3.1 การตัดแปรพื้นผิวของสารตัวเติม.....	9
	2.3.2 การตัดแปรพอลิเมอร์เมทริกซ์.....	10
	2.3.3 การใส่สารช่วยให้เข้ากันได้.....	11
	2.4 การปรับปรุงสมบัติความต้านทานต่อการตีไฟของพอลิเมอร์คอมโพสิตระหว่างสารตัวเติมเซลลูโลสและพอลิเมอร์.....	12
บทที่ 3	วัสดุและการทดลอง.....	15
	3.1 วัสดุ.....	15
	3.2 การทดลอง.....	15
	3.2.1 การเตรียมพอลิเอทีลีนชนิดความหนาแน่นสูงที่ผ่านการใช้งานแล้ว.....	15
	3.2.2 การเตรียมผงซีลี้อย.....	15
	3.2.3 การเตรียมพอลิเมอร์คอมโพสิต.....	15
	3.2.4 การทดสอบสมบัติของพอลิเมอร์คอมโพสิต.....	16

สารบัญ (ต่อ)

	หน้า
3.2.4.1 สมบัติทางกล.....	16
3.2.4.2 สมบัติการต้านทานต่อการตีไฟ.....	16
3.2.4.3 สมบัติทางความร้อน.....	17
3.2.4.4 สันฐานวิทยา.....	17
บทที่ 4 ผลและวิเคราะห์ผลการทดลอง.....	18
4.1 ผลของปริมาณผงซีลี้อยและการตัดแปรอัลคาไลน์ต่อสมบัติ ทางกายภาพของพอลิเมอร์คอมโพสิทระหว่างผงซีลี้อยและ พอลิเอทิลีนชนิดความหนาแน่นสูงที่ผ่านการใช้งานแล้ว.....	18
4.1.1 สมบัติทางกล.....	18
4.1.2 สมบัติการต้านทานต่อการตีไฟ.....	21
4.1.3 สมบัติทางความร้อน.....	24
4.1.4 สันฐานวิทยา.....	26
4.2 ผลของอะลูมิเนียมไตรไฮดรอกไซด์ต่อสมบัติทางกายภาพของ พอลิเมอร์คอมโพสิทระหว่างผงซีลี้อยที่ผ่านการตัดแปร อัลคาไลน์และพอลิเอทิลีนชนิดความหนาแน่นสูงที่ผ่าน การใช้งานแล้ว.....	29
4.2.1 สมบัติทางกล.....	29
4.2.2 สมบัติการต้านทานต่อการตีไฟ.....	31
4.2.3 สมบัติทางความร้อน.....	34
4.2.4 สันฐานวิทยา.....	36
4.3 ผลของการรวมกันของสารหน่วงไฟต่อสมบัติทางกายภาพของ พอลิเมอร์คอมโพสิทระหว่างผงซีลี้อยที่ผ่านการตัดแปร อัลคาไลน์และพอลิเอทิลีนชนิดความหนาแน่นสูงที่ผ่าน การใช้งานแล้ว.....	37
4.3.1 สมบัติทางกล.....	37
4.3.2 สมบัติการต้านทานต่อการตีไฟ.....	41
4.3.3 สมบัติทางความร้อน.....	43
4.3.4 สันฐานวิทยา.....	45

สารบัญ (ต่อ)

หน้า

4.4	ผลของสารช่วยให้เข้ากันต่อสมบัติทางกายภาพของ พอลิเมอร์คอมโพสิทระหว่างผงซีลีเยนที่ผ่านการตัดแปร อัลคาไลน์และพอลิเอทิลีนชนิดความหนาแน่นสูงที่ผ่านการ ใช้งานแล้วที่มีการรวมกันของสารหน่วงไฟ.....	47
4.4.1	สมบัติทางกล.....	47
4.4.2	สมบัติการต้านทานต่อการติดไฟ.....	49
4.4.3	สมบัติทางความร้อน.....	52
4.4.4	สัณฐานวิทยา.....	54
บทที่ 5	สรุปผลการทดลอง.....	56
	บรรณานุกรม.....	58
	ประวัติผู้วิจัย.....	63

สารบัญตาราง

ตารางที่	หน้า
2.1	องค์ประกอบทางเคมีของไม้.....6
4.1	สมบัติทางกลของพอลิเอทิลีนชนิดความหนาแน่นสูงที่ผ่านการใช้งานแล้ว และพอลิเมอร์คอมโพสิทระหว่างผงซีลี้อยและพอลิเอทิลีนชนิดความหนาแน่นสูง ที่ผ่านการใช้งานแล้วที่ปริมาณผงซีลี้อยต่างๆ.....22
4.2	อัตราการเผาไหม้ของพอลิเอทิลีนชนิดความหนาแน่นสูงที่ผ่านการใช้งานแล้ว และพอลิเมอร์คอมโพสิทระหว่างผงซีลี้อยและพอลิเอทิลีนชนิดความ หนาแน่นสูงที่ผ่านการใช้งานแล้วที่ปริมาณผงซีลี้อยต่างๆ.....23
4.3	ลักษณะการเสื่อมสภาพทางความร้อนของพอลิเอทิลีนชนิดความหนาแน่นสูง ที่ผ่านการใช้งานแล้วและพอลิเมอร์คอมโพสิทระหว่างผงซีลี้อยและ พอลิเอทิลีนชนิดความหนาแน่นสูงที่ผ่านการใช้งานแล้วที่ปริมาณผงซีลี้อยต่างๆ.....26
4.4	สมบัติทางกลของพอลิเมอร์คอมโพสิทระหว่างผงซีลี้อยที่ผ่านการตัดแปร อัลคาไลน์และพอลิเอทิลีนชนิดความหนาแน่นสูงที่ผ่านการใช้งานแล้ว ที่ปริมาณอะลูมิเนียมไตรไฮดรอกไซด์ต่างๆ.....32
4.5	อัตราการเผาไหม้ของพอลิเมอร์คอมโพสิทระหว่างผงซีลี้อยที่ผ่านการตัดแปร อัลคาไลน์และพอลิเอทิลีนชนิดความหนาแน่นสูงที่ผ่านการใช้งานแล้ว ที่ปริมาณอะลูมิเนียมไตรไฮดรอกไซด์ต่างๆ.....33
4.6	ลักษณะการเสื่อมสภาพทางความร้อนของพอลิเมอร์คอมโพสิทระหว่าง ผงซีลี้อยที่ผ่านการตัดแปรอัลคาไลน์และพอลิเอทิลีนชนิดความหนาแน่นสูง ที่ผ่านการใช้งานแล้วที่ปริมาณอะลูมิเนียมไตรไฮดรอกไซด์ต่างๆ.....34
4.7	สมบัติทางกลของพอลิเมอร์คอมโพสิทระหว่างผงซีลี้อยที่ผ่านการตัดแปร อัลคาไลน์และพอลิเอทิลีนชนิดความหนาแน่นสูงที่ผ่านการใช้งานแล้วที่มี การรวมกันของสารหน่วงไฟ.....40
4.8	อัตราการเผาไหม้ของพอลิเมอร์คอมโพสิทระหว่างผงซีลี้อยที่ผ่านการตัด แปรอัลคาไลน์และพอลิเอทิลีนชนิดความหนาแน่นสูงที่ผ่าน การใช้งานแล้วที่มีการรวมกันของสารหน่วงไฟ.....42

สารบัญตาราง (ต่อ)

ตารางที่	หน้า
4.9	ลักษณะการเสื่อมสภาพทางความร้อนของพอลิเมอร์คอมโพสิทระหว่าง ผงซีลีอ์ที่ผ่านการตัดแปรอัลคาไลน์และพอลิเอทิลีนชนิดความหนาแน่นสูง ที่ผ่านการใช้งานแล้วที่มีการรวมกันของสารหน่วงไฟ.....45
4.10	สมบัติทางกลของพอลิเมอร์คอมโพสิทระหว่างผงซีลีอ์ที่ผ่านการ ตัดแปรอัลคาไลน์และพอลิเอทิลีนชนิดความหนาแน่นสูงที่ผ่าน การใช้งานแล้วที่มีการรวมกันของสารหน่วงไฟที่ปริมาณมาเล็ก แอนไฮโดรกราฟท์พอลิเอทิลีนต่างๆ.....50
4.11	อัตราการเผาไหม้ของพอลิเมอร์คอมโพสิทระหว่างผงซีลีอ์ที่ผ่านการตัด แปรอัลคาไลน์และพอลิเอทิลีนชนิดความหนาแน่นสูงที่ผ่านการใช้งานแล้วที่มี การรวมกันของสารหน่วงไฟที่ปริมาณมาเล็กแอนไฮโดรกราฟท์พอลิเอทิลีนต่างๆ.....51
4.12	ลักษณะการเสื่อมสภาพทางความร้อนของพอลิเมอร์คอมโพสิทระหว่างผงซีลีอ์ ที่ผ่านการตัดแปรอัลคาไลน์และพอลิเอทิลีนชนิดความหนาแน่นสูง ที่ผ่านการใช้งานแล้วที่มีการรวมกันของสารหน่วงไฟ ที่ปริมาณมาเล็กแอนไฮโดรกราฟท์พอลิเอทิลีนต่างๆ.....53



สารบัญรูป

รูปที่	หน้า
2.1	โครงสร้างทางเคมีของ (a) เซลลูโลส (b) เฮมิเซลลูโลส และ (c) ลิกนิน.....7
4.1	สมบัติการต้านทานต่อแรงดึงของพอลิเอทิลีนชนิดความหนาแน่นสูง ที่ผ่านการใช้งานแล้วและพอลิเมอร์คอมโพสิทระหว่างผงซีลี้อย และพอลิเอทิลีนชนิดความหนาแน่นสูงที่ผ่านการใช้งานแล้ว ที่ปริมาณผงซีลี้อยต่างๆ (a) ความต้านทานต่อแรงดึง (b) โมดูลัสแรงดึง และ (c) ความยืดสูงสุด ณ จุดขาด.....19
4.2	ความต้านทานต่อแรงกระแทกของพอลิเอทิลีนชนิดความหนาแน่นสูง ที่ผ่านการใช้งานแล้วและพอลิเมอร์คอมโพสิทระหว่างผงซีลี้อย และพอลิเอทิลีนชนิดความหนาแน่นสูงที่ผ่านการใช้งานแล้ว ที่ปริมาณผงซีลี้อยต่างๆ.....21
4.3	อัตราการเผาไหม้ของพอลิเอทิลีนชนิดความหนาแน่นสูง ที่ผ่านการใช้งานแล้วและพอลิเมอร์คอมโพสิทระหว่างผงซีลี้อย และพอลิเอทิลีนชนิดความหนาแน่นสูงที่ผ่านการใช้งานแล้ว ที่ปริมาณผงซีลี้อยต่างๆ.....23
4.4	ลักษณะการเสื่อมสภาพทางความร้อนของพอลิเอทิลีน ชนิดความหนาแน่นสูงที่ผ่านการใช้งานแล้วและพอลิเมอร์คอมโพสิท ระหว่างผงซีลี้อยและพอลิเอทิลีนชนิดความหนาแน่นสูงที่ผ่าน การใช้งานแล้วที่ปริมาณผงซีลี้อยต่างๆ (a) TGA และ (b) DTGA.....25
4.5	ภาพถ่ายจากกล้องจุลทรรศน์อิเล็กตรอนแบบส่องกราดของพอลิเมอร์ คอมโพสิทระหว่างผงซีลี้อยและพอลิเอทิลีนชนิดความหนาแน่นสูง ที่ผ่านการใช้งานแล้วที่ปริมาณผงซีลี้อยต่างๆ ที่กำลังขยาย 350 เท่า (a) rHDPE/30UT และ (b) rHDPE/30AT.....27
4.6	ภาพถ่ายจากกล้องจุลทรรศน์อิเล็กตรอนแบบส่องกราดของพอลิเมอร์ คอมโพสิทระหว่างผงซีลี้อยและพอลิเอทิลีนชนิดความหนาแน่นสูง ที่ผ่านการใช้งานแล้วที่ปริมาณผงซีลี้อยต่างๆ ที่กำลังขยาย 100 เท่า (a) rHDPE/30UT (b) rHDPE/40UT (c) rHDPE/50UT (d) rHDPE/30AT (e) rHDPE/40AT และ (f) rHDPE/50AT.....27

สารบัญญรูป (ต่อ)

รูปที่	หน้า
4.7	
สมบัติการต้านทานต่อแรงดึงของพอลิเมอร์คอมโพสิตระหว่างผงซีลื้อย	
ที่ผ่านการตัดแปรอัลคาไลน์และพอลิเอทิลีนชนิดความหนาแน่นสูง	
ที่ผ่านการใช้งานแล้วที่ปริมาณอะลูมิเนียมไตรไฮดรอกไซด์ต่างๆ	
(a) ความต้านทานต่อแรงดึงและความยืดสูงสุด ณ จุดขาด	
และ (b) มอดูลัสแรงดึง.....30	
4.8	
ความต้านทานต่อแรงกระแทกของพอลิเมอร์คอมโพสิตระหว่างผงซีลื้อย	
ที่ผ่านการตัดแปรอัลคาไลน์และพอลิเอทิลีนชนิดความหนาแน่นสูง	
ที่ผ่านการใช้งานแล้วที่ปริมาณอะลูมิเนียมไตรไฮดรอกไซด์ต่างๆ.....31	
4.9	
อัตราการเผาไหม้ของพอลิเมอร์คอมโพสิตระหว่างผงซีลื้อยที่	
ผ่านการตัดแปรอัลคาไลน์และพอลิเอทิลีนชนิดความหนาแน่นสูง	
ที่ผ่านการใช้งานแล้วที่ปริมาณอะลูมิเนียมไตรไฮดรอกไซด์ต่างๆ.....33	
4.10	
ลักษณะการเสื่อมสภาพทางความร้อนของพอลิเมอร์คอมโพสิต	
ระหว่างผงซีลื้อยที่ผ่านการตัดแปรอัลคาไลน์และพอลิเอทิลีน	
ชนิดความหนาแน่นสูงที่ผ่านการใช้งานแล้วที่ปริมาณ	
อะลูมิเนียมไตรไฮดรอกไซด์ต่างๆ (a) TGA และ (b) DTGA.....35	
4.11	
ภาพถ่ายจากกล้องจุลทรรศน์อิเล็กตรอนแบบส่องกราดลักษณะ	
การเสื่อมสภาพทางความร้อนของพอลิเมอร์คอมโพสิตระหว่าง	
ผงซีลื้อยที่ผ่านการตัดแปรอัลคาไลน์และพอลิเอทิลีนชนิด	
ความหนาแน่นสูงที่ผ่านการใช้งานแล้วที่ปริมาณอะลูมิเนียมไตรไฮดรอกไซด์ต่างๆ	
ที่กำลังขยาย 50 และ 2000 เท่า (a) 10ATH (b) 20ATH และ (c) 30ATH..... 36	
4.12	
สมบัติการต้านทานต่อแรงดึงของพอลิเมอร์คอมโพสิตระหว่าง	
ผงซีลื้อยที่มีการตัดแปรอัลคาไลน์และพอลิเอทิลีนชนิดความหนาแน่นสูง	
ที่ผ่านการใช้งานแล้วที่มีการรวมกันของสารหน่วงไฟ	
(a) ความต้านทานต่อแรงดึงและความยืดสูงสุด ณ จุดขาด และ	
(b) มอดูลัสแรงดึง.....38	
4.13	
ความต้านทานต่อแรงกระแทกของพอลิเมอร์คอมโพสิตระหว่างผงซีลื้อย	
ที่ผ่านการตัดแปรอัลคาไลน์และพอลิเอทิลีนชนิดความหนาแน่นสูง	
ที่ผ่านการใช้งานแล้วที่มีการรวมกันของสารหน่วงไฟ.....39	

สารบัญรูป (ต่อ)

รูปที่	หน้า	
4.14	อัตราการผลิตใหม่ของพอลิเมอร์คอม โพลีโพลีระหว่างผงซีลี้อย ที่ผ่านการตัดแปรอัลคาไลน์และพอลิเอทิลีนชนิดความหนาแน่นสูง ที่ผ่านการใช้งานแล้วที่มีการรวมกันของสารหน่วงไฟ.....	42
4.15	ลักษณะการเสื่อมสภาพทางความร้อนของพอลิเมอร์คอม โพลีโพลี ระหว่างผงซีลี้อยที่ผ่านการตัดแปรอัลคาไลน์และพอลิเอทิลีน ชนิดความหนาแน่นสูงที่ผ่านการใช้งานแล้วที่มีการรวมกันของสารหน่วงไฟ (a) TGA และ (b) DTGA.....	44
4.16	ภาพถ่ายจากกล้องจุลทรรศน์อิเล็กตรอนแบบส่องกราดของพอลิเมอร์ คอม โพลีโพลีระหว่างผงซีลี้อยที่ผ่านการตัดแปรอัลคาไลน์และ พอลิเอทิลีนชนิดความหนาแน่นสูงที่ผ่านการใช้งานแล้วที่มีการรวมกัน ของสารหน่วงไฟ ที่กำลังขยาย 50 และ 2000 เท่า (a) 30ATH (b) 20ATH/10ZB (c) 15ATH/15ZB (d) 10ATH/20ZB และ (e) 30ZB.....	46
4.17	สมบัติการต้านทานต่อแรงดึงของพอลิเมอร์คอม โพลีโพลีระหว่างผงซีลี้อย ที่ผ่านการตัดแปรอัลคาไลน์และพอลิเอทิลีนชนิดความหนาแน่นสูง ที่ผ่านการใช้งานแล้วที่มีการรวมกันของสารหน่วงไฟที่ปริมาณมาเล็ก แอนไฮไดรด์กราฟท์พอลิเอทิลีนต่างๆ (a) ความต้านทานต่อแรงดึงและ ความยืดสูงสุด ณ จุดขาด และ (b) มอดูลัสแรงดึง.....	48
4.18	สมบัติการต้านทานต่อแรงกระทำของพอลิเมอร์คอม โพลีโพลีระหว่าง ผงซีลี้อยที่ผ่านการตัดแปรอัลคาไลน์และพอลิเอทิลีนชนิดความหนาแน่นสูง ที่ผ่านการใช้งานแล้วที่มีการรวมกันของสารหน่วงไฟที่ปริมาณ มาเล็กแอนไฮไดรด์กราฟท์พอลิเอทิลีนต่างๆ.....	49
4.19	อัตราการผลิตใหม่ของพอลิเมอร์คอม โพลีโพลีระหว่างผงซีลี้อยที่ผ่าน การตัดแปรอัลคาไลน์และพอลิเอทิลีนชนิดความหนาแน่นสูง ที่ผ่านการใช้งานแล้วที่มีการรวมกันของสารหน่วงไฟที่ปริมาณมาเล็ก แอนไฮไดรด์กราฟท์พอลิเอทิลีนต่างๆ.....	51

สารบัญรูป (ต่อ)

รูปที่	หน้า
4.20	
ลักษณะการเสื่อมสภาพทางความร้อนของพอลิเมอร์คอมโพสิต	
ระหว่างผงซีลี้อยู่ที่ผ่านการตัดแปรรัดคาไลน์และพอลิเอทีลีน	
ชนิดความหนาแน่นสูงที่ผ่านการใช้งานแล้วที่มีการรวมกัน	
ของสารหน่วงไฟที่ปริมาณมาเลอิกแอนไฮโดรด์กราฟท์พอลิเอทีลีนต่างๆ	
(a) TGA และ (b) DTGA.....	52
4.21	
ภาพถ่ายจากกล้องจุลทรรศน์อิเล็กตรอนแบบส่องกราดของพอลิเมอร์	
คอมโพสิตระหว่างผงซีลี้อยู่ที่ผ่านการตัดแปรรัดคาไลน์และพอลิเอทีลีน	
ชนิดความหนาแน่นสูงที่ผ่านการใช้งานแล้วที่มีการรวมกันของสารหน่วงไฟ	
ที่ปริมาณมาเลอิกแอนไฮโดรด์กราฟท์พอลิเอทีลีนต่างๆที่กำลังขยาย 50 และ 2000 เท่า	
(a) 20ATH/10ZB (b) 1MAPE (c) 3MAPE และ(d) 5MAPE.....	54
4.22	
ภาพถ่ายจากกล้องจุลทรรศน์อิเล็กตรอนแบบส่องกราดของพอลิเมอร์	
คอมโพสิตระหว่างผงซีลี้อยู่ที่ผ่านการตัดแปรรัดคาไลน์และพอลิเอทีลีน	
ชนิดความหนาแน่นสูงที่ผ่านการใช้งานแล้วที่มีการรวมกันของสารหน่วงไฟ	
ที่ปริมาณมาเลอิกแอนไฮโดรด์กราฟท์พอลิเอทีลีนต่างๆ ที่กำลังขยาย 350 เท่า	
(a) 20ATH/10ZB (b) 1MAPE (c) 3MAPE และ (d) 5MAPE.....	55

บทที่ 1

บทนำ

1.1 ความสำคัญและที่มาของปัญหาที่ทำการวิจัย

พอลิเมอร์คอมโพสิตระหว่างสารตัวเติมเซลลูโลส (Lignocellulosic fillers) และพอลิเมอร์ได้รับความสนใจเป็นอย่างมากจากนักวิจัยและภาคอุตสาหกรรม เมื่อเปรียบเทียบกับสารตัวเติมชนิดอื่นๆ เช่น เส้นใยแก้ว (Glass fillers) และสารตัวเติมอนินทรีย์ (Inorganic fillers) สารตัวเติมเซลลูโลสมีข้อดีที่น่าสนใจคือ ย่อยสลายได้ทางชีวภาพ ราคาถูกและน้ำหนักเบา ผงขี้เลื่อยซึ่งเป็นเศษวัสดุที่ได้จากอุตสาหกรรมไม้จัดเป็นสารตัวเติมเซลลูโลสชนิดหนึ่งที่นิยมใช้สำหรับการผลิตพอลิเมอร์คอมโพสิตระหว่างสารตัวเติมเซลลูโลสและพอลิเมอร์ การใช้ผงขี้เลื่อยในการผลิตพอลิเมอร์คอมโพสิตระหว่างสารตัวเติมเซลลูโลสและพอลิเมอร์ส่งผลดีต่อสิ่งแวดล้อมและเป็นการสร้างมูลค่าเพิ่มให้กับผงขี้เลื่อย

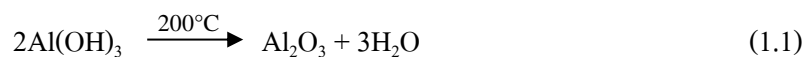
ปัจจุบัน มีการใช้งานพลาสติกในด้านต่างๆอย่างกว้างขวาง เช่น บรรจุภัณฑ์ เฟอร์นิเจอร์ ชิ้นส่วนอิเล็กทรอนิกส์ อุปกรณ์ตกแต่งบ้าน เป็นต้น ก่อให้เกิดปัญหาขยะพลาสติก การรีไซเคิลพลาสติกเป็นทางเลือกหนึ่งในการจัดการขยะพลาสติก พอลิเอทิลีนชนิดความหนาแน่นสูง (High density polyethylene) เป็นเทอร์โมพลาสติกที่มีการใช้ทั่วไป โดยมีปริมาณการใช้เป็นอันดับต้นๆของพลาสติกที่ใช้ในชีวิตประจำวัน นอกจากนี้พอลิเอทิลีนชนิดความหนาแน่นสูงสามารถแยกได้ง่ายจากพลาสติกชนิดอื่นและมีข้อดี เช่น มีความเหนียวสูงและความต้านทานต่อสารเคมีที่ดี พอลิเมอร์คอมโพสิตระหว่างผงขี้เลื่อยและพอลิเอทิลีนชนิดความหนาแน่นสูงที่ผ่านการใช้งานแล้วได้รับความสนใจจากนักวิจัยเป็นอย่างมาก Najafi และคณะ (2006) และ Adihikary และคณะ (2008) รายงานว่าพอลิเมอร์คอมโพสิตที่ทำจากพอลิเอทิลีนชนิดความหนาแน่นสูงที่ผ่านการใช้งานแล้ว (Recycled high density polyethylene) และผงขี้เลื่อยมีสมบัติทางกลที่ใกล้เคียงกับพอลิเมอร์คอมโพสิตที่ทำจากพอลิเอทิลีนชนิดความหนาแน่นสูงแต่ราคาถูกกว่ามาก

พอลิเมอร์คอมโพสิตระหว่างผงขี้เลื่อยและพอลิเอทิลีนชนิดความหนาแน่นสูงที่ผ่านการใช้งานแล้ว มีการประยุกต์ใช้งานในด้านอาคารและการก่อสร้างเพื่อแทนที่ไม่ในงานกลางแจ้ง เช่น พื้นระเบียง ราวบันได กรอบประตูและหน้าต่าง นอกจากนี้ พอลิเมอร์คอมโพสิตระหว่างผงขี้เลื่อยและพอลิเอทิลีนชนิดความหนาแน่นสูงที่ผ่านการใช้งานแล้วสามารถใช้เป็นอุปกรณ์ตกแต่งภายในรถยนต์และอุปกรณ์ตกแต่งภายใน เช่น พื้นและเฟอร์นิเจอร์ แต่อย่างไรก็ตามข้อจำกัดที่สำคัญของพอลิเมอร์คอมโพสิตระหว่างผงขี้เลื่อยและพอลิเอทิลีนชนิดความหนาแน่นสูงที่ผ่านการใช้งานแล้วคือการยึดติดบริเวณอินเตอร์เฟซ (Interfacial adhesion) ที่ไม่ดีระหว่างผงขี้เลื่อยและพอลิเอทิลีนชนิดความหนาแน่นสูงที่ผ่านการใช้งานแล้ว ส่งผลให้พอลิเมอร์คอมโพสิตมีสมบัติทางกลที่ไม่ดี การปรับปรุงความเข้ากันได้ของพอลิเมอร์คอมโพสิตสามารถปรับปรุงได้หลายวิธี เช่น การคัดแปร

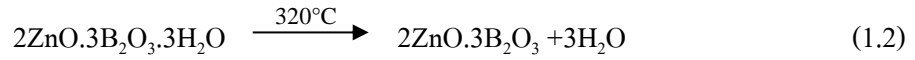
พื้นผิวของสารตัวเติม (Fillers surface treatment) (Kaewkuk และคณะ, 2010) การตัดแปรเมทริกซ์ (Matrix modification) (Arbeliz และคณะ, 2005) และการใส่การช่วยให้เข้ากัน (Adding compatibilizer) (Lei และคณะ, 2007) การตัดแปรอัลคาไลน์ (Alkali treatment) เป็นหนึ่งในการตัดแปรพื้นผิวทางเคมีที่นิยมใช้มากที่สุด การตัดแปรอัลคาไลน์กำจัดลิกนิน (Lignin) เฮมิเซลลูโลส (Hemicellulose) ไชมัน (Wax) และสิ่งสกปรก (Impurities) จากสารตัวเติม ดังนั้นพื้นที่ผิวที่มีประสิทธิภาพในการเกิดอันตรกิริยากับพอลิเมอร์เมทริกซ์จึงเพิ่มขึ้น ส่งผลให้มีการปรับปรุงสมบัติทางกลของพอลิเมอร์คอมโพสิต (Lopattananon และคณะ, 2006; Suardana และคณะ, 2011; Elzubair และคณะ, 2012)

ข้อดีอีกอย่างหนึ่งของพอลิเมอร์คอมโพสิตที่ระหว่างผงซีลีเนียมและพอลิเอทิลีนชนิดความหนาแน่นสูงที่ผ่านการใช้งานแล้วคือ ความไวต่อการติดไฟสูง เนื่องจากผงซีลีเนียมและพอลิเอทิลีนชนิดความหนาแน่นสูงที่ผ่านการใช้งานแล้วสามารถติดไฟได้ (Stark และคณะ, 2010) วิธีการโดยทั่วไปในการปรับปรุงสมบัติการต้านทานต่อการติดไฟของวัสดุที่ติดไฟได้คือการใช้สารหน่วงไฟ (Flame retardants) เนื่องจากมีราคาถูกและให้สมบัติที่ดี (Bourbigot และคณะ, 2010)

อะลูมิเนียมไตรไฮดรอกไซด์ (Aluminum trihydrate) เป็นสารหน่วงไฟที่นิยมใช้สำหรับพอลิเมอร์ ข้อดีของอะลูมิเนียมไตรไฮดรอกไซด์ คือ อันตรกิริยาต่ออุณหภูมิต่ำ ความบริสุทธิ์สูง ราคาถูก ไม่กัดกร่อนและลดการเกิดควัน อย่างไรก็ตามจำเป็นต้องใช้ปริมาณของอะลูมิเนียมไตรไฮดรอกไซด์สูงเพื่อให้ได้สมบัติการต้านทานต่อการติดไฟ (Flame retardancy) ที่ดี ส่งผลให้สมบัติทางกลของพอลิเมอร์คอมโพสิตลดลง (Chen และคณะ, 2005) งานวิจัยต่างๆ พบว่าการใส่อะลูมิเนียมไตรไฮดรอกไซด์เพิ่มสมบัติการต้านทานต่อการติดไฟของพอลิเมอร์คอมโพสิต (Schartel และคณะ, 2006; Ramazani และคณะ, 2008; Formicola และคณะ, 2009) กระบวนการเสื่อมสภาพ (Decomposition process) ของอะลูมิเนียมไตรไฮดรอกไซด์สามารถอธิบายดังสมการที่ 1.1 อะลูมิเนียมไตรไฮดรอกไซด์ส่งผลในการต้านทานต่อการติดไฟโดยการสร้างชั้นป้องกัน (Protective layer) และปลดปล่อยน้ำที่อุณหภูมิประมาณ 200 องศาเซลเซียส



ซิงค์บอเรต (Zinc borate) เป็นสารหน่วงไฟชนิดหนึ่งที่ใช้ร่วมกับสารหน่วงไฟที่ปราศจากฮาโลเจน (Non-halogen flame retardant) ในพอลิเมอร์ ส่งผลให้สมบัติการต้านทานต่อการติดไฟและสมบัติทางกลของพอลิเมอร์คอมโพสิตเพิ่มขึ้น (Ning และ Guo 2000; Carpentier และคณะ, 2007; Formicola และคณะ, 2009) การเสื่อมสภาพของซิงค์บอเรตแสดงในสมการที่ 1.2 ที่อุณหภูมิ 320 องศาเซลเซียส ซิงค์บอเรตมีการปลดปล่อยน้ำและสร้างชั้นป้องกันกั้นพอลิเมอร์จากไฟและออกซิเจน (Samyn และคณะ, 2007)



ประสิทธิภาพของสารหน่วงไฟสามารถเพิ่มได้โดยผลการเสริมกัน (Synergistic effect) การรวมกันของสารหน่วงไฟส่งผลต่อการเพิ่มขึ้นของสมบัติการต้านทานต่อการติดไฟ (Ning และคณะ, 2009; Kurt และ Mengeloglu, 2009; Gou และ Li, 2014) Ning และ Gou (2000) พบว่าการรวมกันของอะลูมิเนียมไตรไฮดรอกไซด์และซิงค์บอเรทแสดงผลเสริมกันในการเพิ่มสมบัติการต้านทานต่อการติดไฟของพอลิไวนิลคลอไรด์ Jeencham และคณะ (2010) พบว่าการรวมกันของแอมโมเนียมพอลิฟอสเฟตและซิงค์บอเรทแสดงผลการเสริมกันในการเพิ่มสมบัติการต้านทานต่อการติดไฟของพอลิเมอริกโพลีเอทิลีน

นอกจากนี้ มีการใช้มาเลอิกแอนไฮไดรด์กราฟท์พอลิเอทิลีน (Maleic anhydride grafted polyethylene) เพื่อปรับปรุงความเข้ากันได้ระหว่างสารหน่วงไฟและพอลิเอทิลีนชนิดความหนาแน่นสูงที่ผ่านการใช้งานแล้ว หมู่แอนไฮไดรด์ (Anhydride group) ของมาเลอิกแอนไฮไดรด์กราฟท์พอลิเอทิลีนสร้างพันธะเคมีกับหมู่ไฮดรอกซิล (Hydroxyl group) ของสารหน่วงไฟ สายโซ่พอลิเอทิลีนเข้ากันกับพอลิเอทิลีนชนิดความหนาแน่นสูงที่ผ่านการใช้งานแล้ว ดังนั้นการยึดติดบริเวณอินเตอร์เฟซระหว่างสารหน่วงไฟและพอลิเอทิลีนชนิดความหนาแน่นสูงที่ผ่านการใช้งานแล้วได้ปรับปรุงโดยมาเลอิกแอนไฮไดรด์กราฟท์พอลิเอทิลีน (Hausmann และคณะ, 1997; Hippel และคณะ, 2003)

1.2 วัตถุประสงค์ของโครงการวิจัย

1.2.1 เพื่อศึกษาผลของปริมาณผงขี้เถ้าต่อสมบัติทางกล สมบัติการต้านทานต่อการติดไฟ สมบัติทางความร้อน และสัณฐานวิทยาของพอลิเมอริกโพลีเอทิลีนระหว่างผงขี้เถ้าและพอลิเอทิลีนชนิดความหนาแน่นสูงที่ผ่านการใช้งานแล้ว

1.2.2 เพื่อศึกษาผลของการดัดแปรอัลคาไลน์ต่อสมบัติทางกล สมบัติการต้านทานต่อการติดไฟ สมบัติทางความร้อน และสัณฐานวิทยาของพอลิเมอริกโพลีเอทิลีนระหว่างผงขี้เถ้าและพอลิเอทิลีนชนิดความหนาแน่นสูงที่ผ่านการใช้งานแล้ว

1.2.3 เพื่อศึกษาผลของอะลูมิเนียมไตรไฮดรอกไซด์ต่อสมบัติทางกล สมบัติการต้านทานต่อการติดไฟ สมบัติทางความร้อน และสัณฐานวิทยาของพอลิเมอริกโพลีเอทิลีนระหว่างผงขี้เถ้าและพอลิเอทิลีนชนิดความหนาแน่นสูงที่ผ่านการใช้งานแล้ว

1.2.4 เพื่อศึกษาผลของการรวมกันของอะลูมิเนียมไตรไฮดรอกไซด์และซิงค์บอเรทต่อสมบัติทางกล สมบัติการต้านทานต่อการติดไฟ สมบัติทางความร้อน และสัณฐานวิทยาของพอลิเมอริกโพลีเอทิลีนระหว่างผงขี้เถ้าและพอลิเอทิลีนชนิดความหนาแน่นสูงที่ผ่านการใช้งานแล้ว

1.2.5 เพื่อศึกษาผลของมาเลอิกแอนไฮโดรด์กราฟท์พอลิเอทิลีนต่อสมบัติทางกล สมบัติการต้านทานต่อการติดไฟ สมบัติทางความร้อน และสัณฐานวิทยาของพอลิเมอร์คอมโพสิตระหว่างผงขี้เถ้าและพอลิเอทิลีนชนิดความหนาแน่นสูงที่ผ่านการใช้งานแล้ว

1.3 ขอบเขตของโครงการวิจัย

ในการศึกษานี้ พอลิเมอร์คอมโพสิตเตรียมที่ปริมาณผงขี้เถ้า 30 40 และ 50 เปอร์เซ็นต์ โดยน้ำหนัก โดยใช้เครื่องอัดรีดชนิดสกรูคู่ ขึ้นรูปชิ้นงานทดสอบด้วยกระบวนการอัดขึ้นรูป การตัดแปรรีดคาไลน์นำมาใช้ในการปรับปรุงความเข้ากันได้ระหว่างผงขี้เถ้าและพอลิเอทิลีนชนิดความหนาแน่นสูงที่ผ่านการใช้งานแล้ว มีการศึกษาผลของปริมาณผงขี้เถ้าและการตัดแปรรีดคาไลน์ต่อสมบัติทางกล สมบัติการต้านทานต่อการติดไฟ สมบัติทางความร้อน และสัณฐานวิทยาของพอลิเมอร์คอมโพสิตระหว่างผงขี้เถ้าและพอลิเอทิลีนชนิดความหนาแน่นสูงที่ผ่านการใช้งานแล้ว จากสมบัติทางกล สมบัติการต้านทานต่อการติดไฟ และสมบัติทางความร้อน พอลิเมอร์คอมโพสิตที่มีสมบัติที่ดีที่สุดเลือกไปศึกษาผลของสารหน่วงไฟต่อสมบัติของพอลิเมอร์คอมโพสิต

อะลูมิเนียมไตรไฮดรอกไซด์ถูกใช้เป็นสารหน่วงไฟที่ปริมาณ 10 20 และ 30 ส่วนในหนึ่งร้อย ส่วนของพอลิเมอร์คอมโพสิต มีการศึกษาสมบัติทางกล สมบัติการต้านทานต่อการติดไฟ สมบัติทางความร้อน และสัณฐานวิทยาของพอลิเมอร์คอมโพสิตระหว่างผงขี้เถ้าและพอลิเอทิลีนชนิดความหนาแน่นสูงที่ผ่านการใช้งานแล้ว จากสมบัติทางกล สมบัติการต้านทานต่อการติดไฟ และสมบัติทางความร้อน พอลิเมอร์คอมโพสิตที่มีสมบัติที่ดีที่สุดเลือกไปศึกษาผลของการรวมกันของสารหน่วงไฟต่อสมบัติของพอลิเมอร์คอมโพสิต

การศึกษาผลของการรวมกันของอะลูมิเนียมไตรไฮดรอกไซด์และซิงค์บอเรตต่อสมบัติทางกล สมบัติการต้านทานต่อการติดไฟ สมบัติทางความร้อน และสัณฐานวิทยาของพอลิเมอร์คอมโพสิตระหว่างผงขี้เถ้าและพอลิเอทิลีนชนิดความหนาแน่นสูงที่ผ่านการใช้งานแล้ว โดยอัตราส่วนของอะลูมิเนียมไตรไฮดรอกไซด์ต่อซิงค์บอเรตคือ 2 ต่อ 1 1 ต่อ 1 และ 1 ต่อ 2 จากสมบัติทางกล สมบัติการต้านทานต่อการติดไฟ และสมบัติทางความร้อน พอลิเมอร์คอมโพสิตที่มีสมบัติที่ดีที่สุดถูกเลือกไปศึกษาผลของสารช่วยให้เข้ากันต่อสมบัติของพอลิเมอร์คอมโพสิต นอกจากนี้มาเลอิกแอนไฮโดรด์กราฟท์พอลิเอทิลีนถูกใช้เป็นสารช่วยให้เข้ากัน ปริมาณมาเลอิกแอนไฮโดรด์กราฟท์พอลิเอทิลีนคือ 1 3 และ 5 ส่วนในหนึ่งร้อยส่วนของพอลิเมอร์คอมโพสิต

1.4 ประโยชน์ที่ได้รับจากการวิจัย

1.4.1 การวิจัยนี้จะนำมาซึ่งองค์ความรู้ที่เกี่ยวข้องกับพอลิเมอร์คอมโพสิทระหว่างพอลิเมอร์ที่นำกลับมาใช้ใหม่และผงซีลีอีย นอกจากนี้ยังช่วยลดปัญหาสิ่งแวดล้อมและเพิ่มมูลค่าให้กับผงซีลีอีย

1.4.2 การวิจัยนี้จะได้วัสดุที่สามารถนำมาประยุกต์ใช้งานในด้านต่างๆ เช่น ชิ้นส่วนรถยนต์ เฟอ์ริเจอร์ งานไม้พื้น งานศาลา งานระแนง งานฝ้า งานประตู่ และรั้ว เป็นต้น

1.4.3 ได้เอกสารทางวิชาการที่ตีพิมพ์ระดับชาติหรือระดับนานาชาติ

1.4.4 เป็นการพัฒนาและส่งเสริมให้นักศึกษาสนใจการทำวิจัย

1.4.5 เป็นการสร้างและพัฒนากลุ่มนักวิจัยรุ่นใหม่ให้สามารถเริ่มการวิจัยและพัฒนาได้ และดำเนินการวิจัยต่อไปได้อย่างต่อเนื่องในระยะยาว



บทที่ 2

ภูมิหลัง

2.1 คุณลักษณะของไม้

ไม้จัดเป็นวัสดุเซลลูโลส (Lignocellulosic material) ซึ่งประกอบด้วยสามองค์ประกอบหลักคือ เซลลูโลส (Cellulose) เฮมิเซลลูโลส (Hemicellulose) และลิกนิน (Lignin) องค์ประกอบทางเคมีของไม้เนื้อแข็ง (Hardwood) และไม้เนื้ออ่อน (Soft wood) แสดงในตารางที่ 2.1 เซลลูโลสเป็นองค์ประกอบหลักซึ่งให้ความแข็งแรงและความคงรูปแก่ไม้ เซลลูโลสประกอบด้วยหน่วยกลูโคสและเชื่อมกันด้วยพันธะไกลโคซิดิก (Glycosidic bonds) (Hendriks และ Zeeman, 2009) ดังแสดงในรูปที่ 2.1 (a) เฮมิเซลลูโลสเป็นโครงสร้างคาร์โบไฮเดรตที่ซับซ้อน ซึ่งประกอบไปด้วยเพนโทส (Pentose) เฮกโซส (Hexose) และกรดน้ำตาล (Sugar acid) ดังแสดงในรูปที่ 2.1 (b) เฮมิเซลลูโลสมีน้ำหนักโมเลกุลต่ำกว่าเซลลูโลสและมีกิ่งที่มีสายโซ่สั้นจึงง่ายต่อการไฮโดรไลซิส (Hydrolysis) (Hendriks และ Zeeman, 2009) ลิกนินเป็นวัสดุที่ยึดเส้นใยเซลลูโลสเข้าด้วยกัน ลิกนินประกอบไปด้วยหน่วยฟีนิลโพรเพน (Phenylpropane units) ที่แตกต่างกันสามชนิด คือ คูมาริล (Coumaryl) โคนิเฟอริล (Coniferyl) และไซนาพิล (Sinapyl) ดังแสดงในรูปที่ 2.1 (c) หน้าที่หลักของลิกนินคือการรักษาโครงสร้างของไม้และต้านทานต่อจุลินทรีย์

ตาราง 2.1 องค์ประกอบทางเคมีของไม้ (Kozłowski and Przybylak, 2008).

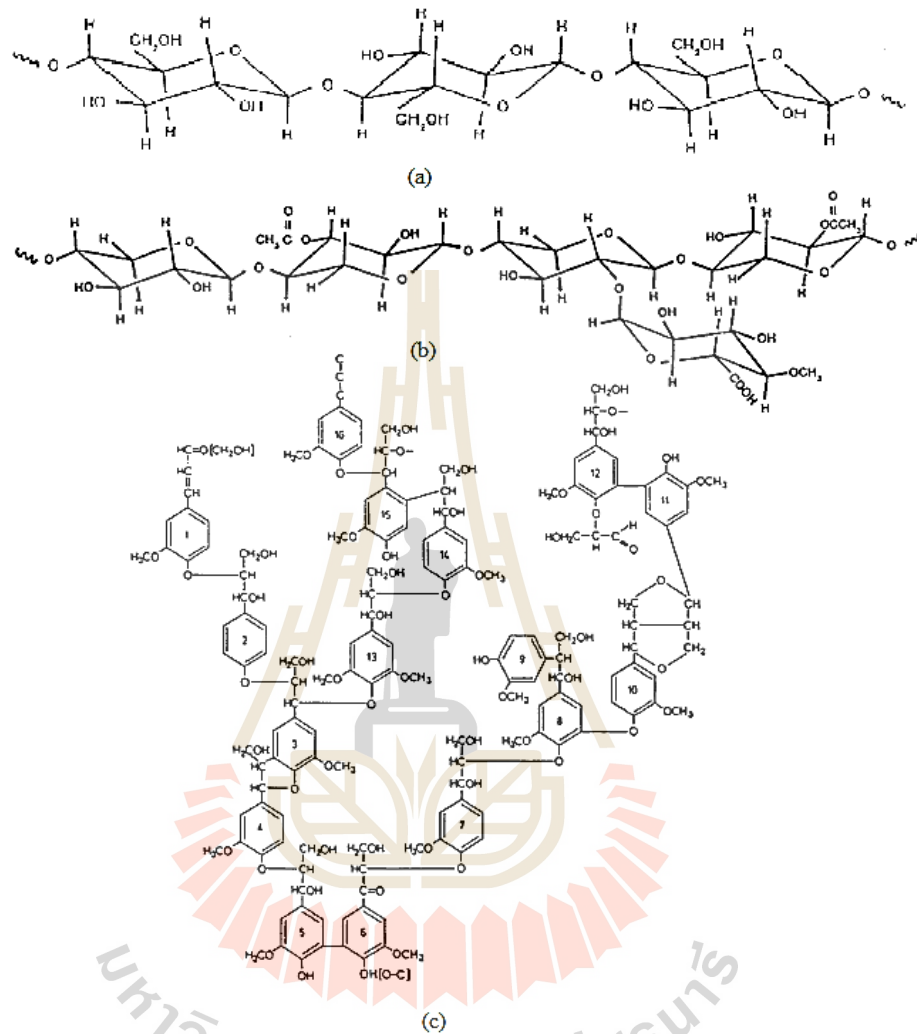
Wood type	Cellulose (%)	Hemicellulose (%)	Lignin (%)
Hardwood	38-49	19-26	23-30
Softwood	40-45	7-14	25-35

2.2 พอลิเมอร์คอมโพสิตระหว่างสารตัวเติมเซลลูโลสและพอลิเมอร์

พอลิเมอร์คอมโพสิตระหว่างสารตัวเติมเซลลูโลสและพอลิเมอร์สามารถผลิตได้จากพอลิเมอร์ที่ไม่ผ่านการใช้งาน (Virgin polymer) หรือพอลิเมอร์ที่ผ่านการใช้งานแล้ว (Recycled polymer) และสารตัวเติมเซลลูโลส พอลิเมอร์คอมโพสิตนี้ได้รับความสนใจอย่างกว้างขวางจากนักวิจัยและภาคอุตสาหกรรมเนื่องจากให้การรวมกันที่น่าสนใจระหว่างราคาและสมบัติ

Jayaraman และ Bhattacharyya (2003) ศึกษาผลของปริมาณผงไม้ (Wood flour) ต่อสมบัติทางกลของพอลิเมอร์คอมโพสิตระหว่างผงไม้และพอลิเอทิลีนความหนาแน่นสูงที่ผ่านการใช้งานแล้ว (Recycled high density polyethylene) โดยปริมาณผงไม้ที่ใช้คือ 0 20 30 และ 40 เปอร์เซ็นต์

โดยน้ำหนัก พบว่าปริมาณผงไม้ที่เพิ่มขึ้นส่งผลให้ความต้านทานต่อแรงดึง (Tensile strength) และความต้านทานต่อแรงคด (Flexural strength) เพิ่มขึ้น นอกจากนี้ยังพบว่ามอดูลัสแรงดึง (Tensile modulus) และมอดูลัสแรงคด (Flexural modulus) เพิ่มขึ้นตามปริมาณผงไม้ที่เพิ่มขึ้นเช่นกัน



รูปที่ 2.1 โครงสร้างทางเคมีของ (a) เซลลูโลส (b) เฮมิเซลลูโลส และ (c) ลิกนิน (Pandey, 1999).

Behzad และคณะ (2004) ศึกษาผลของปริมาณผงไม้ต่อสมบัติทางกลของพอลิเมอร์คอมโพสิทระหว่างผงไม้และพอลิเอทิลีนชนิดความหนาแน่นสูง (High density polyethylene) โดยปริมาณผงไม้ที่ใช้คือ 25 และ 50 เปอร์เซ็นต์โดยน้ำหนัก พบว่าปริมาณผงไม้ที่เพิ่มขึ้นส่งผลให้ความต้านทานต่อแรงดึงลดลง แต่ความต้านทานต่อแรงคดเพิ่มขึ้น นอกจากนี้ยังพบว่าเมื่อปริมาณผงไม้เพิ่มขึ้นส่งผลให้มอดูลัสแรงดึงและมอดูลัสแรงคดเพิ่มขึ้น

Najafi และคณะ (2006) ศึกษาสมบัติทางกลของพอลิเมอร์คอมโพสิตระหว่างผงขี้เลื่อย (Sawdust) และพอลิเอทิลีนชนิดความหนาแน่นสูงที่ผ่านการใช้งานแล้วและพอลิเมอร์คอมโพสิตระหว่างผงขี้เลื่อยและพอลิโพรพิลีนที่ผ่านการใช้งานแล้ว (Recycled polypropylene) โดยปริมาณผงขี้เลื่อยที่ใช้คือ 50 เปอร์เซ็นต์โดยน้ำหนัก จากการทดสอบสมบัติการต้านทานต่อแรงดึง สมบัติการต้านทานต่อแรงคด และสมบัติการต้านทานต่อแรงกระแทก (Impact strength) พบว่าพอลิเมอร์คอมโพสิตระหว่างผงขี้เลื่อยและพอลิโพรพิลีนที่ผ่านการใช้งานแล้วมีความต้านทานต่อแรงดึง ความต้านทานต่อแรงคด โมดูลัสแรงดึงและโมดูลัสแรงคดสูงกว่าพอลิเมอร์คอมโพสิตระหว่างผงขี้เลื่อยและพอลิเอทิลีนที่ผ่านการใช้งานแล้ว แต่มีความต้านทานต่อแรงกระแทกต่ำกว่า นอกจากนี้สมบัติทางกลของพอลิเมอร์คอมโพสิตระหว่างผงขี้เลื่อยและพอลิเมอร์ที่ผ่านการใช้งานแล้วมีค่าใกล้เคียงกับสมบัติทางกลของคอมโพสิตระหว่างผงขี้เลื่อยกับพอลิเมอร์ที่ไม่ผ่านการใช้งาน

Adhikary และคณะ (2008) ศึกษาผลของปริมาณผงไม้ต่อสมบัติทางกลของพอลิเมอร์คอมโพสิตระหว่างผงไม้และพอลิเอทิลีนชนิดความหนาแน่นสูงที่ผ่านการใช้งานแล้ว โดยปริมาณผงไม้ที่ใช้คือ 30 40 และ 50 เปอร์เซ็นต์โดยน้ำหนัก พบว่าการใส่ผงไม้ในพอลิเอทิลีนชนิดความหนาแน่นสูงที่ผ่านการใช้งานแล้ว ทำให้พอลิเมอร์มีความแข็ง (Stiffness) และความเปราะ (Brittleness) เพิ่มขึ้น แต่ทำให้ค่าการยืดสูงสุด ณ จุดขาด (Elongation at break) ลดลง เมื่อปริมาณผงไม้เพิ่มขึ้น ส่งผลให้ความต้านทานต่อแรงคดลดลง นอกจากนี้ยังมีการศึกษาสมบัติทางกลของคอมโพสิตระหว่างผงไม้และพอลิเอทิลีนชนิดความหนาแน่นสูงที่ผ่านการใช้งานแล้วเปรียบเทียบกับคอมโพสิตระหว่างผงไม้กับพอลิเอทิลีนชนิดความหนาแน่นสูงที่ไม่ผ่านการใช้งาน (Virgin high density polyethylene) ซึ่งพบว่าการนำพอลิเอทิลีนชนิดความหนาแน่นสูงที่ผ่านการใช้งานมาทำเป็นวัสดุคอมโพสิตนั้นไม่ส่งผลทางลบต่อสมบัติทางกลของพอลิเมอร์คอมโพสิต

2.3 การปรับปรุงความเข้ากันได้ระหว่างสารตัวเติมเซลลูโลสและพอลิเมอร์

ปัญหาที่สำคัญของพอลิเมอร์คอมโพสิตระหว่างสารตัวเติมเซลลูโลสและพอลิเมอร์คือความไม่เข้ากันระหว่างสารตัวเติมและพอลิเมอร์เมทริกซ์ ส่งผลให้สมบัติทางกลของพอลิเมอร์คอมโพสิตลดลง ความเข้ากันได้ระหว่างสารตัวเติมและพอลิเมอร์เมทริกซ์สามารถปรับปรุงได้ โดยการตัดแปรพื้นผิวของสารตัวเติม (Filler surface treatment) การตัดแปรเมทริกซ์ (Matrix modification) และการใส่สารช่วยให้เข้ากัน (Adding compatibilizer)

2.3.1 การตัดแปรพื้นผิวของสารตัวเติม

Thomasand และ Pavithran (1996) ศึกษาผลของการตัดแปรอัลคาไลน์ (Alkali treatment) ต่อสมบัติทางกลของพอลิเมอร์คอมโพสิตระหว่างเส้นใยป่านศรนารายณ์ (Sisal fiber) และพอลิเอทิลีนชนิดความหนาแน่นต่ำ (Low density polyethylene) โดยตัดแปรเส้นใยป่านศรนารายณ์ด้วยสารละลายโซเดียมไฮดรอกไซด์ (Sodium hydroxide) ที่มีความเข้มข้น 10 เปอร์เซ็นต์โดยน้ำหนัก พบว่าความต้านทานต่อแรงดึงและมอดูลัสแรงดึงของพอลิเมอร์คอมโพสิตที่ผ่านการตัดแปรอัลคาไลน์มีค่าสูงกว่าของพอลิเมอร์คอมโพสิตที่ไม่ผ่านการตัดแปร เนื่องจากการตัดแปรอัลคาไลน์ปรับปรุงการยึดติดบริเวณอินเทอร์เฟซ (Interfacial adhesion) ระหว่างเส้นใยและพอลิเมอร์เมทริกซ์

Ichazo และคณะ (2001) ศึกษาผลของการตัดแปรอัลคาไลน์ต่อสมบัติทางกลของพอลิเมอร์คอมโพสิตระหว่างผงไม้และพอลิโพรพิลีน (Polypropylene) โดยปริมาณผงไม้ที่ใช้คือ 40 เปอร์เซ็นต์โดยน้ำหนักและตัดแปรผงไม้ด้วยสารละลายโซเดียมไฮดรอกไซด์ที่มีความเข้มข้น 18 เปอร์เซ็นต์โดยน้ำหนัก เป็นเวลา 30 และ 60 นาที พบว่าการตัดแปรอัลคาไลน์เพิ่มมอดูลัสแรงดึงของพอลิเมอร์คอมโพสิตโดยไม่มีการเปลี่ยนแปลงอย่างมีนัยสำคัญของความต้านทานต่อแรงดึงและความต้านทานต่อแรงกระแทกของพอลิเมอร์คอมโพสิต นอกจากนี้เมื่อเพิ่มเวลาที่ใช้ในการตัดแปรอัลคาไลน์พบว่าไม่มีผลต่อสมบัติทางกลของพอลิเมอร์คอมโพสิตอย่างมีนัยสำคัญ

Pickering และคณะ (2003) ศึกษาผลของการตัดแปรซิลเลน (Silane treatment) ต่อสมบัติทางกลของพอลิเมอร์คอมโพสิตระหว่างเส้นใยไม้ (Wood fiber) และพอลิเอทิลีนชนิดความหนาแน่นสูง โดยตัดแปรเส้นใยไม้ด้วยไดคลอโรไดเอทิลซิลเลน (Dichlorodiethylsilane) ที่มีความเข้มข้น 3.2 เปอร์เซ็นต์โดยน้ำหนัก ที่ปริมาณเส้นใย 5 เปอร์เซ็นต์โดยน้ำหนัก การตัดแปรซิลเลนเพิ่มความต้านทานต่อแรงดึงของพอลิเมอร์คอมโพสิตอย่างมีนัยสำคัญ เนื่องจากการปรับปรุงการยึดติดบริเวณอินเทอร์เฟซระหว่างเส้นใยและพอลิเมอร์เมทริกซ์ แต่เมื่อปริมาณเส้นใยเพิ่มขึ้นเป็น 10 และ 20 เปอร์เซ็นต์โดยน้ำหนัก พบการลดลงของความต้านทานต่อแรงดึงของพอลิเมอร์คอมโพสิต เนื่องจากการเกิดการรวมกลุ่มกันของเส้นใยในพอลิเมอร์เมทริกซ์

Paul และคณะ (2008) ศึกษาผลของการตัดแปรอัลคาไลน์ต่อสมบัติทางความร้อนของพอลิเมอร์คอมโพสิตระหว่างเส้นใยกล้วย (Banana fiber) และพอลิโพรพิลีนที่ผ่านการใช้งานแล้ว โดยตัดแปรเส้นใยกล้วยด้วยสารละลายโซเดียมไฮดรอกไซด์ที่มีความเข้มข้น 2 และ 10 เปอร์เซ็นต์โดยน้ำหนัก พบว่าการตัดแปรอัลคาไลน์ส่งผลอย่างมีนัยสำคัญต่อความเสถียรต่อความร้อน (Thermal stability) ของพอลิเมอร์คอมโพสิต นอกจากนี้ความเสถียรต่อความร้อนของพอลิเมอร์คอมโพสิตเพิ่มขึ้นเมื่อความเข้มข้นสารละลายโซเดียมไฮดรอกไซด์เพิ่มขึ้น เนื่องจากการลดลงของเฮมิเซลลูโลส (Hemicellulose) ไขมัน (Wax) และสิ่งสกปรก (Impurities) ของเส้นใยกล้วยที่มีความเสถียรต่อความร้อนต่ำภายหลังการตัดแปรอัลคาไลน์

Kaewkuk และคณะ (2010) ศึกษาผลของการตัดแปรทางความร้อน (Heat treatment) ต่อสมบัติการต้านทานต่อแรงดึงและสัญญาณวิทยาของพอลิเมอร์คอมโพสิตระหว่างเส้นใยป่านศรนารายณ์ (Sisal fibers) และพอลิโพรพิลีน โดยอบเส้นใยป่านศรนารายณ์ที่อุณหภูมิ 150 170 และ 200 องศาเซลเซียส เป็นเวลา 30 นาที ภายใต้ความดันบรรยากาศและบรรยากาศออกซิเจน ปริมาณเส้นใยป่านศรนารายณ์ที่ใช้คือ 20 เปอร์เซ็นต์โดยน้ำหนัก ความต้านทานต่อแรงดึงและความต้านทานต่อแรงกระทำของพอลิเมอร์คอมโพสิตระหว่างเส้นใยที่ผ่านการตัดแปรทางความร้อนและพอลิโพรพิลีนมีค่าสูงกว่าของพอลิเมอร์คอมโพสิตระหว่างเส้นใยที่ไม่ผ่านการตัดแปรทางความร้อนและพอลิโพรพิลีน ในขณะที่อุณหภูมิการตัดแปรไม่ส่งผลอย่างมีนัยสำคัญต่อสมบัติทางกลของพอลิเมอร์คอมโพสิต ภาพถ่ายจากกล้องจุลทรรศน์อิเล็กตรอนแบบส่องกราดแสดงให้เห็นถึงการปรับปรุงการยึดติดบริเวณอินเตอร์เฟซระหว่างเส้นใยป่านศรนารายณ์และพอลิโพรพิลีนเมทริกซ์

2.3.2 การตัดแปรพอลิเมอร์เมทริกซ์

Balasuuriya และคณะ (2001) เตรียมพอลิเมอร์คอมโพสิตระหว่างผงไม้และ พอลิเอทิลีนชนิดความหนาแน่นสูง ที่ปริมาณ 50/50 โดยน้ำหนักต่อน้ำหนัก โดยตัดแปรพอลิเอทิลีนชนิดความหนาแน่นสูงด้วยมาเลอิกแอนไฮไดรด์ (Maleic anhydride) 0.5 1 2 3 และ 5 เปอร์เซ็นต์โดยน้ำหนัก การตัดแปรพอลิเอทิลีนชนิดความหนาแน่นสูงด้วยมาเลอิกแอนไฮไดรด์ส่งผลอย่างมีนัยสำคัญต่อการเพิ่มขึ้นของความต้านทานต่อแรงดึง การยึดสูงสุด ณ จุดขาด โมดูลัสแรงดึง ความต้านทานต่อแรงดัด และโมดูลัสแรงดัดของพอลิเมอร์คอมโพสิต นอกจากนี้ จากสมบัติทางกลแสดงให้เห็นว่าพอลิเมอร์คอมโพสิตที่มีการตัดแปรพอลิเมอร์เมทริกซ์ ที่ปริมาณมาเลอิกแอนไฮไดรด์ 2 เปอร์เซ็นต์แสดงสมบัติทางกลที่สูงที่สุด

Marcovich และ Villar (2003) ศึกษาผลของการตัดแปรเมทริกซ์ต่อสมบัติทางกลของพอลิเมอร์คอมโพสิตระหว่างผงไม้และพอลิเอทิลีนชนิดความหนาแน่นต่ำเชิงเส้น (Linear low density polyethylene) โดยปริมาณผงไม้ที่ใช้คือ 30 เปอร์เซ็นต์โดยน้ำหนัก โดยตัดแปรพอลิเอทิลีนชนิดความหนาแน่นต่ำเชิงเส้นด้วยมาเลอิกแอนไฮไดรด์ 1 เปอร์เซ็นต์โดยน้ำหนัก พบว่าพอลิเมอร์คอมโพสิตระหว่างผงไม้และพอลิเอทิลีนชนิดความหนาแน่นต่ำเชิงเส้นที่ผ่านการตัดแปรเมทริกซ์มีความต้านทานต่อแรงดึง และการยึดสูงสุด ณ จุดขาดที่ดีกว่าพอลิเมอร์คอมโพสิตระหว่างผงไม้และพอลิเอทิลีนชนิดความหนาแน่นต่ำเชิงเส้นที่ไม่ผ่านการตัดแปรเมทริกซ์ เนื่องจากการปรับปรุงของการยึดติดบริเวณอินเตอร์เฟซระหว่างผงไม้และพอลิเมอร์เมทริกซ์

Arbeliz และคณะ (2005) ศึกษาผลของการตัดแปรพอลิเมอร์เมทริกซ์ต่อสมบัติทางกลของพอลิเมอร์คอมโพสิตระหว่างเส้นใยป่านลินิน (Flax fiber) และพอลิโพรพิลีน ปริมาณเส้นใยที่ใช้คือ 30 เปอร์เซ็นต์โดยน้ำหนัก โดยตัดแปรพอลิโพรพิลีนด้วยไวนิลไตรเมทอกซีไซเลน (Vinyltrimethoxy silane) 4.5 เปอร์เซ็นต์โดยน้ำหนัก การตัดแปรพอลิเมอร์เมทริกซ์ด้วยไวนิลไตร

เมทอกซีไซเลนส่งผลให้ความต้านทานต่อแรงดึง มอดูลัสดึง ความต้านทานต่อแรงดัด และมอดูลัสดัดของพอลิเมอร์คอมโพสิตเพิ่มขึ้น เนื่องจากการปรับปรุงการยึดติดบริเวณอินเทอร์เฟซระหว่างเส้นใยป่านลินินและพอลิโพรพิลีน

2.3.3 การใส่สารช่วยให้เข้ากัน

Oksman และ Lindberg (1997) ศึกษาผลของสารช่วยให้เข้ากันต่อสมบัติทางกลของพอลิเมอร์คอมโพสิตระหว่างผงไม้และพอลิเอทิลีนชนิดความหนาแน่นต่ำที่ผ่านการใช้งานแล้ว (Recycled low density polyethylene) ปริมาณผงไม้ที่ใช้คือ 40 เปอร์เซ็นต์โดยน้ำหนัก และใช้มาเลอิกแอนไฮไดรด์กราฟท์ไตรบล็อกโคพอลิเมอร์ สไตรลีน-เอทิลีน/บิวทิลีน-สไตรลีน (Maleic anhydride grafted triblock copolymer styrene-ethylene/butylene-styrene) เป็นสารช่วยให้เข้ากัน และปริมาณมาเลอิกแอนไฮไดรด์กราฟท์ไตรบล็อกโคพอลิเมอร์ สไตรลีน-เอทิลีน/บิวทิลีน-สไตรลีนที่ใช้คือ 2-10 เปอร์เซ็นต์โดยน้ำหนัก ความต้านทานต่อแรงดึง การยืดสูงสุด ณ จุดขาด ความต้านทานต่อแรงกระทำของพอลิเมอร์คอมโพสิตเพิ่มขึ้นเมื่อมีการเพิ่มปริมาณของสารช่วยให้เข้ากันและมีค่าคงที่เมื่อสารช่วยให้เข้ากันมีปริมาณมากกว่า 4 เปอร์เซ็นต์โดยน้ำหนัก ในขณะที่มอดูลัสแรงดึงลดลงเมื่อปริมาณสารช่วยให้เข้ากันเพิ่มขึ้น

Lu และคณะ (2005) ศึกษาผลของปริมาณและชนิดของสารช่วยให้เข้ากันต่อสมบัติทางกลของพอลิเมอร์คอมโพสิตระหว่างผงไม้และพอลิเอทิลีนชนิดความหนาแน่นสูง ปริมาณผงไม้ที่ใช้คือ 30 เปอร์เซ็นต์โดยน้ำหนักและใช้มาเลอิกแอนไฮไดรด์กราฟท์พอลิเอทิลีนชนิดความหนาแน่นสูง (Maleic anhydride grafted high density polyethylene) และออกซิไดซ์พอลิเอทิลีน (Oxidized polyethylene) เป็นสารช่วยให้เข้ากัน โดยปริมาณสารช่วยให้เข้ากันที่ใช้คือ 1 3 5 และ 10 เปอร์เซ็นต์โดยน้ำหนัก สมบัติการต้านทานต่อแรงดึงและสมบัติการต้านทานต่อแรงดัดของพอลิเมอร์คอมโพสิตเพิ่มขึ้นเมื่อปริมาณสารช่วยให้เข้ากันเพิ่มขึ้นและคงที่เมื่อสารช่วยให้เข้ากันมีปริมาณมากกว่า 3 เปอร์เซ็นต์โดยน้ำหนัก นอกจากนี้ มาเลอิกแอนไฮไดรด์กราฟท์พอลิเอทิลีนชนิดความหนาแน่นสูงมีประสิทธิภาพมากกว่าออกซิไดซ์พอลิเอทิลีนในการปรับปรุงสมบัติทางกลของพอลิเมอร์คอมโพสิต เนื่องจากมาเลอิกแอนไฮไดรด์กราฟท์พอลิเอทิลีนชนิดความหนาแน่นสูงมีพันธะยึดเหนี่ยว (Interfacial Bonding) ที่แข็งแรงกว่าออกซิไดซ์พอลิเอทิลีน

Pracella และคณะ (2006) ศึกษาผลของไกลซิديلเมทาคริเลทกราฟท์พอลิโพรพิลีน (Glycidyl methacrylate grafted polypropylene) ต่อสมบัติทางกลของพอลิเมอร์คอมโพสิตระหว่างเส้นใยกัญชง (Hemp fiber) และพอลิโพรพิลีน ปริมาณเส้นใยที่ใช้คือ 10 และ 20 เปอร์เซ็นต์โดยน้ำหนัก และปริมาณไกลซิديلเมทาคริเลทกราฟท์พอลิโพรพิลีนคือ 5 เปอร์เซ็นต์โดยน้ำหนัก เมื่อปริมาณเส้นใยเพิ่มขึ้นมอดูลัสแรงดึงของพอลิเมอร์คอมโพสิตเพิ่มขึ้นในขณะที่ความต้านทานต่อแรงดึงและการยืดสูงสุด ณ จุดขาดลดลง การใส่สารช่วยให้เข้ากันในพอลิเมอร์คอมโพสิตส่งผลให้สมบัติการต้านทานต่อแรงดึงเพิ่มขึ้น เนื่องจากการปรับปรุงการยึดติดบริเวณอินเทอร์เฟซระหว่าง

เส้นใยกันขงและพอลิโพรพิลีนเมทริกซ์ นอกจากนี้พอลิเมอร์คอมโพสิตที่มีการใส่สารช่วยให้เข้ากันมีการกระจายตัวของเส้นใยกันขงในพอลิโพรพิลีนเมทริกซ์ที่ดีกว่าพอลิเมอร์คอมโพสิตที่ไม่มีการใส่สารช่วยให้เข้ากัน

Lei และคณะ (2007) ศึกษาผลของปริมาณมาเลอิกแอนไฮไดรด์กราฟท์พอลิเอทิลีน (Maleic anhydride grafted polyethylene) ต่อสมบัติทางกลของพอลิเมอร์คอมโพสิตระหว่างเส้นใยไม้และพอลิเอทิลีนชนิดความหนาแน่นสูงที่ผ่านการใช้งานแล้ว ปริมาณเส้นใยที่ใช้คือ 30 เปอร์เซ็นต์โดยน้ำหนัก และปริมาณมาเลอิกแอนไฮไดรด์กราฟท์พอลิเอทิลีนคือ 0 ถึง 2.4 เปอร์เซ็นต์โดยน้ำหนัก มอดูลัสแรงดึงของพอลิเอทิลีนชนิดความหนาแน่นสูงที่ผ่านการใช้งานแล้วเพิ่มขึ้นประมาณ 50 เปอร์เซ็นต์ เมื่อใส่เส้นใยไม้ลงไป ในพอลิเอทิลีนชนิดความหนาแน่นสูงที่ผ่านการใช้งานแล้ว แต่ความต้านทานต่อแรงดึงและความต้านทานต่อแรงกระแทกลดลงอย่างเห็นได้ชัด ความต้านทานต่อแรงดึงและความต้านทานต่อแรงกระแทกของพอลิเมอร์คอมโพสิตเพิ่มขึ้นเมื่อปริมาณมาเลอิกแอนไฮไดรด์กราฟท์พอลิเอทิลีนเพิ่มขึ้น และคงที่เมื่อปริมาณมาเลอิกแอนไฮไดรด์กราฟท์พอลิเอทิลีนสูงกว่า 1.8 เปอร์เซ็นต์

Adhikary และคณะ (2008) ศึกษาผลของปริมาณผงไม้และมาเลอิกแอนไฮไดรด์กราฟท์พอลิโพรพิลีน (Maleic anhydride grafted polypropylene) ต่อสมบัติทางกลของพอลิเมอร์คอมโพสิตระหว่างผงไม้และพอลิโพรพิลีนที่ผ่านการใช้งานแล้ว โดยปริมาณของผงไม้ที่ใช้คือ 30 40 และ 50 เปอร์เซ็นต์โดยน้ำหนัก พบว่าสมบัติทางกลของพอลิเมอร์คอมโพสิตที่ทำจากพอลิเมอร์ที่ผ่านการใช้งานแล้วมีค่าใกล้เคียงกับพอลิเมอร์คอมโพสิตที่ทำจากพอลิเมอร์ที่ไม่ผ่านการใช้งาน เมื่อปริมาณผงไม้เพิ่มขึ้น ความต้านทานต่อแรงดึงและแรงคดลดลง ในขณะที่มอดูลัสแรงดึงและมอดูลัสแรงคดเพิ่มขึ้น การใส่มาเลอิกแอนไฮไดรด์กราฟท์พอลิโพรพิลีน (5 เปอร์เซ็นต์โดยน้ำหนัก) ปรับปรุงสมบัติทางกลของพอลิเมอร์คอมโพสิตอย่างมีนัยสำคัญที่ทุกปริมาณของผงไม้

2.4 การปรับปรุงสมบัติการต้านทานต่อการติดไฟของพอลิเมอร์คอมโพสิตระหว่างสารตัวเติมเซลลูโลสและพอลิเมอร์

ในปัจจุบันพอลิเมอร์คอมโพสิตที่ใส่สารตัวเติมเซลลูโลสมีการใช้งานในหลายๆ ด้าน อย่างไรก็ตามพอลิเมอร์คอมโพสิตที่ติดไฟได้ง่าย โดยทั่วไปวิธีในการปรับปรุงความต้านทานการติดไฟของพอลิเมอร์คอมโพสิตคือการใส่สารหน่วงไฟ (Flame retardant) เนื่องจากมีราคาถูกและให้สมบัติที่ดี

Jang และ Lee (2004) ศึกษาผลของสารหน่วงไฟต่อสมบัติการต้านทานต่อการติดไฟของพอลิเมอร์คอมโพสิตระหว่างกากตะกอนเยื่อกระดาษ (Paper sludge) และพอลิโพรพิลีนโดยใช้ไตรฟีนิลฟอสเฟต (Triphenylphosphate) เอทิลีนบิสเพนตะโบรโมไดฟีนิลเอเทน (Ethylenebispenta

bromodiphenylethane) แมกนีเซียมไฮดรอกไซด์ (Magnesium hydroxide) และแอนติโมนีไตรออกไซด์ (Antimony trioxide) เป็นสารหน่วงไฟ พบว่าพอลิเมอร์คอมโพสิตระหว่างกากตะกอนเยื่อกระดาษและพอลิโพรพิลีนติดไฟได้ง่าย เมื่อมีการใส่สารหน่วงไฟ สมบัติการต้านทานต่อการติดไฟของพอลิเมอร์คอมโพสิตเพิ่มขึ้น นอกจากนี้มีการศึกษาผลของการทำงานเสริมกัน (Synergistic effect) ระหว่างเอทิลีนบิสเพนตะโบรโมไดฟีนิลเอเทน 20 ส่วนในหนึ่งร้อยส่วนของพอลิเมอร์และแอนติโมนีไตรออกไซด์ 10 ส่วนในหนึ่งร้อยส่วนของพอลิเมอร์ พบการทำงานเสริมกันของสารหน่วงไฟทั้งสองชนิดในการเพิ่มสมบัติการต้านทานต่อการติดไฟของพอลิเมอร์คอมโพสิตโดยไม่ส่งผลกระทบต่อสมบัติทางกลของพอลิเมอร์คอมโพสิต

Sain และคณะ (2004) ศึกษาผลของแมกนีเซียมไฮดรอกไซด์ บอริกแอซิด (Boric acid) และซิงค์บอเรต (Zinc borate) ต่อสมบัติการต้านทานต่อการติดไฟของพอลิเมอร์คอมโพสิตระหว่าง ผงไม้และพอลิโพรพิลีน โดยปริมาณแมกนีเซียมไฮดรอกไซด์ที่ใช้คือ 25 เปอร์เซ็นต์โดยน้ำหนัก พบว่าแมกนีเซียมไฮดรอกไซด์เพิ่มความต้านทานต่อการติดไฟของพอลิเมอร์คอมโพสิตอย่างมีนัยสำคัญ เมื่อแทนที่แมกนีเซียมไฮดรอกไซด์ 5 เปอร์เซ็นต์โดยน้ำหนักด้วยบอริกแอซิดและซิงค์บอเรต ไม่พบการทำงานแบบเสริมกันของสารหน่วงไฟ นอกจากนี้ ยังพบว่าสมบัติทางกลของพอลิเมอร์คอมโพสิตลดลงเมื่อมีการใส่สารหน่วงไฟ

Abu Bakar และคณะ (2009) ศึกษาผลของแอมโมเนียมพอลิฟอสเฟต (Ammonium polyphosphate) ต่อสมบัติทางความร้อนและสมบัติการต้านทานต่อการติดไฟของพอลิเมอร์คอมโพสิตระหว่างผงไม้และพอลิโพรพิลีน โดยปริมาณสารหน่วงไฟที่ใช้คือ 30 เปอร์เซ็นต์โดยน้ำหนัก พบว่าเมื่อใส่แอมโมเนียมพอลิฟอสเฟต ความเสถียรต่อความร้อน (Thermal stability) และปริมาณเถ้า (Char residue) ของพอลิเมอร์คอมโพสิตเพิ่มขึ้นอย่างมีนัยสำคัญ นอกจากนี้แอมโมเนียมพอลิฟอสเฟตมีประสิทธิภาพในการเพิ่มสมบัติการต้านทานต่อการติดไฟของพอลิเมอร์คอมโพสิต

Suppakarn และ Jarukumjorn (2009) ศึกษาผลของแมกนีเซียมไฮดรอกไซด์และซิงค์บอเรตต่อสมบัติการต้านทานการติดไฟและสมบัติทางกลของพอลิเมอร์คอมโพสิตระหว่างเส้นใยป่านศรนารายณ์และพอลิโพรพิลีน โดยใช้มาเลอิกแอนไฮไดรด์กราฟท์พอลิโพรพิลีนเป็นสารช่วยให้เข้ากัน เมื่อมีการใส่สารหน่วงไฟ อัตราการเผาไหม้ (Burning rate) ของพอลิเมอร์คอมโพสิตลดลงในขณะที่ความเสถียรต่อความร้อนเพิ่มขึ้น อย่างไรก็ตามการเพิ่มขึ้นของแมกนีเซียมไฮดรอกไซด์ลดอัตราการเผาไหม้ของพอลิโพรพิลีนคอมโพสิตได้อย่างมีประสิทธิภาพมากกว่าซิงค์บอเรต เมื่อมีการใช้แมกนีเซียมไฮดรอกไซด์รวมกันกับซิงค์บอเรตไม่พบผลของการทำงานเสริมกันระหว่างสารหน่วงไฟทั้งสองชนิด จากสัณฐานวิทยาของพอลิโพรพิลีนคอมโพสิตพบการกระจายตัวที่ดีของสารหน่วงไฟและเส้นใยป่านศรนารายณ์ในพอลิโพรพิลีน พอลิโพรพิลีนคอมโพสิตทั้งหมดมีค่าความต้านทานต่อแรงกระแทกต่ำกว่าพอลิโพรพิลีน นอกจากนี้การใส่แมกนีเซียมไฮดร

ออกไซด์รวมกันกับซิงค์บอเรทไม่ส่งผลในทางลบต่อสมบัติทางกลของพอลิเมอร์คอมโพสิตระหว่างเส้นใยป่านขนารายณ์และพอลิโพรพิลีน

Jeencham และคณะ (2010) ศึกษาผลของการรวมกันของสารหน่วงไฟต่อสมบัติการต้านทานต่อการติดไฟและสมบัติการต้านทานต่อแรงดึงของพอลิเมอร์คอมโพสิตระหว่างเส้นใยป่านขนารายณ์และพอลิโพรพิลีน โดยใช้แอมโมเนียมพอลิฟอสเฟตและซิงค์บอเรทเป็นสารหน่วงไฟ โดยปรับเปลี่ยนอัตราส่วนของแอมโมเนียมพอลิฟอสเฟตและซิงค์บอเรท การรวมกันของแอมโมเนียมพอลิฟอสเฟตและซิงค์บอเรทเพิ่มสมบัติการต้านทานต่อการติดไฟของพอลิเมอร์คอมโพสิตโดยไม่มีการเปลี่ยนแปลงอย่างมีนัยสำคัญของสมบัติทางกลของพอลิเมอร์คอมโพสิต พอลิเมอร์คอมโพสิตที่มี 30 ส่วนของแอมโมเนียมพอลิฟอสเฟตในหนึ่งร้อยส่วนของพอลิเมอร์คอมโพสิต และ 10 ส่วนของซิงค์บอเรทในหนึ่งร้อยของพอลิเมอร์คอมโพสิตส่วนแสดงสมบัติการต้านทานต่อการติดไฟที่ดีที่สุด

Kurt และ Mengeloglu (2011) ศึกษาการทำงานเสริมกันระหว่างแอมโมเนียมพอลิฟอสเฟตและซิงค์บอเรทต่อสมบัติทางกลของพอลิเมอร์คอมโพสิตระหว่างผงไม้และพอลิโพรพิลีน โดยปริมาณสารหน่วงไฟที่ใช้คือ 25 เปอร์เซ็นต์โดยน้ำหนัก แอมโมเนียมพอลิฟอสเฟตเพิ่มสมบัติการต้านทานต่อการติดไฟของพอลิเมอร์คอมโพสิตอย่างมีนัยสำคัญ นอกจากนี้เมื่อมีการแทนที่แอมโมเนียมพอลิฟอสเฟต 3 เปอร์เซ็นต์โดยน้ำหนักด้วยซิงค์บอเรท พบว่าสมบัติทางกลของพอลิเมอร์คอมโพสิตเพิ่มขึ้นโดยไม่ส่งผลกระทบต่อสมบัติการต้านทานต่อการติดไฟ ดังนั้นแอมโมเนียมพอลิฟอสเฟตและซิงค์บอเรทมีการทำงานแบบเสริมกันในพอลิเมอร์คอมโพสิตระหว่างผงไม้และพอลิโพรพิลีน

บทที่ 3

วัสดุและการทดลอง

3.1 วัสดุ

พอลิเอทิลีนชนิดความหนาแน่นสูงที่ผ่านการใช้งานแล้วจากโรงงานรีไซเคิลท้องถิ่น ผงขี้เลื่อยอินเดียนวอลนัท (*Albizia lebbek Benth*) ได้รับจากโรงเลื่อยหัวทะเล จังหวัดนครราชสีมา โซเดียมไฮดรอกไซด์ (*Carlo Erba*) จากบริษัทอิตัลมาร์ ประเทศไทย จำกัด มาเลอิกแอนไฮไดรด์ กราฟท์พอลิเอทิลีน (*Fusabond[®] E MB100D, DuPont*) ได้รับจากบริษัทเคมีคอล อินโนเวชั่น จำกัด อะลูมิเนียมไตรไฮดรท (*APYRAL[®] 40CD, Nabaltec*, เส้นผ่านศูนย์กลางเฉลี่ย 1.3 ไมโครเมตร) ได้รับจากบริษัท เบ็นไมเยอร์ เคมีคอล (ที) จำกัด และซิงค์บอเรท (*Firebrake[®] ZB, Rio Tinto Mineral*) เส้นผ่านศูนย์กลางเฉลี่ย 9 ไมโครเมตร) จากบริษัท โกลบอล คอนเน็คชั่นส์ จำกัด (มหาชน)

3.2 การทดลอง

3.2.1 การเตรียมพอลิเอทิลีนชนิดความหนาแน่นสูงที่ผ่านการใช้งานแล้ว

ขบวนการพาสเจอร์ไรซ์ที่ผ่านการใช้งานแล้ว ทำความสะอาดและบดด้วยเครื่องบด (Retsch)

3.2.2 การเตรียมผงขี้เลื่อย

ผงขี้เลื่อยร่อนด้วยตะแกรงขนาด 40 เมช (Mesh) และอบที่อุณหภูมิ 60 องศาเซลเซียส เป็นเวลา 24 ชั่วโมง เรียกผงขี้เลื่อยนี้ว่า ผงขี้เลื่อยที่ไม่ผ่านการตัดแปร (Untreated sawdust, UT) ผงขี้เลื่อยที่ไม่ผ่านการตัดแปรบางส่วนถูกนำไปตัดแปรด้วยโซเดียมไฮดรอกไซด์ ที่ความเข้มข้นของสารละลายโซเดียมไฮดรอกไซด์ 2 เปอร์เซ็นต์โดยน้ำหนักต่อปริมาตร เป็นเวลา 30 นาที ที่อุณหภูมิห้อง เรียกผงขี้เลื่อยนี้ว่า ผงขี้เลื่อยที่ผ่านการตัดแปรอัลคาไลน์ (Alkali treated sawdust, AT)

3.2.3 การเตรียมพอลิเมอร์คอมโพสิต

พอลิเมอร์คอมโพสิตระหว่างผงขี้เลื่อยที่ไม่ผ่านการตัดแปรหรือผงขี้เลื่อยที่ผ่านการตัดแปรอัลคาไลน์และพอลิเอทิลีนชนิดความหนาแน่นสูงที่ผ่านการใช้งานแล้ว เตรียมที่ปริมาณผงขี้เลื่อย 30 40 และ 50 เปอร์เซ็นต์โดยน้ำหนัก พอลิเมอร์คอมโพสิตถูกผสมด้วยเครื่องอัดรีดชนิดสกรูคู่ (Barbender, DSE 35/17D) โดยใช้อุณหภูมิ 175 180 185 และ 190 องศาเซลเซียส ความเร็วรอบสกรู 20 รอบต่อนาที ชิ้นงานทดสอบขึ้นรูปด้วยเครื่องอัดขึ้นรูป (Labtech, LP20-B) จากสมบัติทางกล สมบัติการต้านทานต่อการติดไฟ และสมบัติทางความร้อน พอลิเมอร์คอมโพสิตที่มีสมบัติที่ดีที่สุด เลือกไปศึกษาผลของสารหน่วงไฟต่อสมบัติของพอลิเมอร์คอมโพสิต

อะลูมิเนียมไตรไฮดรอกไซด์ใช้เป็นสารหน่วงไฟสำหรับพอลิเมอร์คอมโพสิตระหว่างผงขี้เถ้าและพอลิเอทิลีนชนิดความหนาแน่นสูงที่ผ่านการใช้งานแล้ว ปริมาณอะลูมิเนียมไตรไฮดรอกไซด์ที่ใช้คือ 10 20 และ 30 ส่วนในหนึ่งร้อยส่วนของพอลิเมอร์คอมโพสิต พอลิเมอร์คอมโพสิตที่มีสมบัติทางกล สมบัติการต้านทานต่อการติดไฟ และสมบัติทางความร้อนที่ดีที่สุดจะนำไปศึกษาผลของการรวมกันของสารหน่วงไฟต่อสมบัติของพอลิเมอร์คอมโพสิต

ผลของการรวมกันของอะลูมิเนียมไตรไฮดรอกไซด์และซิงค์บอเรตต่อสมบัติของพอลิเมอร์คอมโพสิตศึกษา โดยอัตราส่วนของอะลูมิเนียมไตรไฮดรอกไซด์ต่อซิงค์บอเรตคือ 2 ต่อ 1 1 ต่อ 1 และ 1 ต่อ 2 พอลิเมอร์คอมโพสิตที่มีสมบัติทางกล สมบัติการต้านทานต่อการติดไฟ และสมบัติทางความร้อนที่ดีที่สุดถูกเลือกไปศึกษาผลของสารช่วยให้เข้ากันต่อสมบัติของพอลิเมอร์คอมโพสิต นอกจากนี้มาเลอิกแอนไฮไดรด์กราฟท์พอลิเอทิลีนใช้เป็นสารช่วยให้เข้ากัน ปริมาณมาเลอิกแอนไฮไดรด์กราฟท์พอลิเอทิลีนคือ 1 3 และ 5 ส่วนในหนึ่งร้อยส่วนของพอลิเมอร์คอมโพสิต

3.2.4 การทดสอบสมบัติของพอลิเมอร์คอมโพสิต

3.2.4.1 สมบัติทางกล

สมบัติการต้านทานต่อแรงดึงของพอลิเอทิลีนชนิดความหนาแน่นสูงที่ผ่านการใช้งานแล้วและพอลิเมอร์คอมโพสิตระหว่างผงขี้เถ้าและพอลิเอทิลีนที่ผ่านการใช้งานแล้ว ถูกทดสอบตาม ASTM D638 โดยใช้เครื่อง Universal testing machine (Instron, 5565) โดยใช้เซลล์วัดแรง 5 กิโลนิวตัน ความเร็วในการดึง 50 มิลลิเมตรต่อนาที และความยาวของเกท 115 มิลลิเมตร

สมบัติการต้านทานต่อแรงกระแทกของพอลิเอทิลีนชนิดความหนาแน่นสูงที่ผ่านการใช้งานแล้วและพอลิเมอร์คอมโพสิตระหว่างผงขี้เถ้าและพอลิเอทิลีนที่ผ่านการใช้งานแล้วถูกทดสอบตาม ASTM D256 โดยใช้เครื่อง Impact tester (Atlas, BPI) โดยใช้น้ำหนัก 2.7 จูล

3.2.4.2 สมบัติการต้านทานต่อการติดไฟ

อัตราการเผาไหม้ของพอลิเอทิลีนชนิดความหนาแน่นสูงที่ผ่านการใช้งานแล้วและพอลิเมอร์คอมโพสิตระหว่างผงขี้เถ้าและพอลิเอทิลีนที่ผ่านการใช้งานแล้ว ศึกษาโดยวิธีการทดสอบการเผาไหม้ในแนวนอนตาม ASTM D635 ซึ่งงานทดสอบจับทางแนวนอน จุดที่ไฟปลายด้านหนึ่งของชิ้นทดสอบ บันทึกเวลาที่ไฟลามจากจุดอ้างอิงแรก (25 มิลลิเมตร จากปลายชิ้นทดสอบ) ถึงจุดอ้างอิงที่สอง (100 มิลลิเมตร จากปลายชิ้นทดสอบ) จากนั้นคำนวณอัตราการเผาไหม้โดยใช้สมการที่ 3.1

$$V = 60L/t \quad (3.1)$$

โดยที่ V คือ อัตราการเผาไหม้ (มิลลิเมตรต่อนาที) L คือระยะการเผาไหม้ (มิลลิเมตร) t คือ เวลาการเผาไหม้ (วินาที)

3.2.4.3 สมบัติทางความร้อน

อุณหภูมิการเสื่อมสภาพของพอลิเอทิลีนชนิดความหนาแน่นสูงที่ผ่านการใช้งานแล้วและพอลิเมอร์คอมโพสิตระหว่างผงขี้เถ้าและพอลิเอทิลีนชนิดความหนาแน่นสูงที่ผ่านการใช้งานแล้วศึกษาโดยใช้เครื่อง Thermo gravimetric analyzer (Perkin Elmer, STD 2960) ที่อุณหภูมิระหว่าง 30 ถึง 800 องศาเซลเซียส อัตราการใช้ความร้อนคือ 10 องศาเซลเซียสต่อนาที การเสื่อมสภาพทางความร้อนของตัวอย่างทดสอบภายใต้บรรยากาศไนโตรเจน น้ำหนักของตัวอย่างอยู่ระหว่าง 10 ถึง 15 มิลลิกรัม

3.2.4.4 สัณฐานวิทยา

ลักษณะทางสัณฐานวิทยาของพื้นผิวที่แตกหักด้วยแรงดึง (Tensile fracture surface) ของพอลิเมอร์คอมโพสิตระหว่างผงขี้เถ้าและพอลิเอทิลีนชนิดความหนาแน่นสูงที่ผ่านการใช้งานแล้วถูกศึกษาโดยใช้กล้องจุลทรรศน์อิเล็กตรอนแบบส่องกราด (JEOL JCM-6010) ที่ 10 กิโลโวลต์ ซึ่งทดสอบถูกเคลือบด้วยทองคำก่อนศึกษา



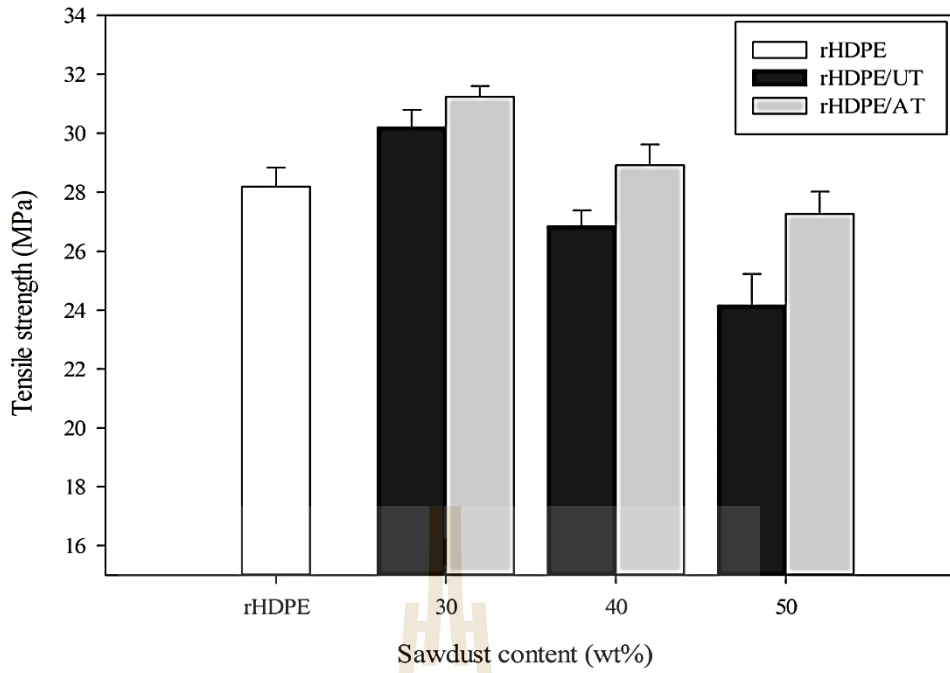
บทที่ 4

ผลและวิเคราะห์ผลการทดลอง

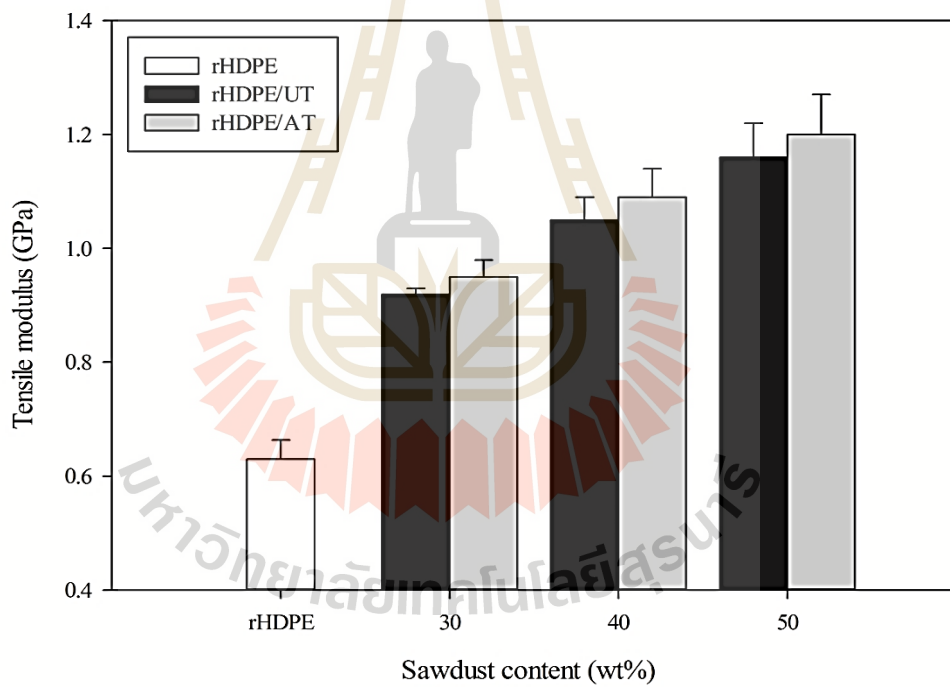
4.1 ผลของปริมาณผงขี้เลื่อยและการตัดแปรอัลคาไลน์ต่อสมบัติทางกายภาพของพอลิเมอร์คอมโพสิตระหว่างผงขี้เลื่อยและพอลิเอทิลีนชนิดความหนาแน่นสูงที่ผ่านการใช้งานแล้ว

4.1.1 สมบัติทางกล

สมบัติการต้านทานต่อแรงดึง (Tensile properties) ของพอลิเอทิลีนชนิดความหนาแน่นสูงที่ผ่านการใช้งานแล้วและพอลิเมอร์คอมโพสิตระหว่างผงขี้เลื่อยและพอลิเอทิลีนที่ผ่านการใช้งานแล้ว แสดงในตาราง 4.1 เมื่อมีการใส่ผงขี้เลื่อยที่ไม่ผ่านการตัดแปร ความต้านทานต่อแรงดึง (Tensile strength) และมอดูลัสแรงดึง (Tensile modulus) เพิ่มขึ้น แต่ความยืดสูงสุด ณ จุดขาด (Elongation at break) ลดลง แสดงให้เห็นว่าผงขี้เลื่อยเป็นสารตัวเติมเสริมแรงในระบบนี้ (Danyadi และคณะ, 2007) นอกจากนี้ ความต้านทานต่อแรงดึงของพอลิเมอร์คอมโพสิตลดลงเมื่อปริมาณผงขี้เลื่อยเพิ่มขึ้นดังแสดงในรูป 4.1 เนื่องจากความไม่เข้ากันระหว่างผงขี้เลื่อยและพอลิเอทิลีนเมทริกซ์ (Atuanya และคณะ, 2011) จากรูปที่ 4.2 มอดูลัสแรงดึงของพอลิเมอร์คอมโพสิตเพิ่มขึ้นเมื่อปริมาณผงขี้เลื่อยเพิ่มขึ้น แสดงถึงความสามารถของผงขี้เลื่อยในการเพิ่มความแข็ง (Stiffness) ของพอลิเมอร์คอมโพสิต (Atuanya และคณะ, 2011) การลดลงของความยืดสูงสุด ณ จุดขาดของพอลิเมอร์คอมโพสิตเมื่อปริมาณผงขี้เลื่อยเพิ่มขึ้นดังแสดงในรูปที่ 4.3 เพราะการมีผงขี้เลื่อยส่งผลให้เมทริกซ์สูญเสียความสามารถในการเสียสภาพแบบยืดหยุ่น (Elastic deformation) (Li และคณะ, 2004) ความต้านทานต่อแรงดึง มอดูลัสแรงดึง และความยืดสูงสุด ณ จุดขาดของพอลิเมอร์คอมโพสิตระหว่างผงขี้เลื่อยที่มีการปรับปรุงพื้นผิวชนิดอัลคาไลน์และพอลิเอทิลีนชนิดความหนาแน่นสูงที่ผ่านการใช้งานแล้วเพิ่มขึ้นเล็กน้อยเนื่องจากการปรับปรุงการยึดติดที่อินเตอร์เฟซระหว่างผงขี้เลื่อยและพอลิเอทิลีนชนิดความหนาแน่นสูงที่ผ่านการใช้งานแล้ว (Joseph และคณะ, 1996; Ikhlef และคณะ, 2012)

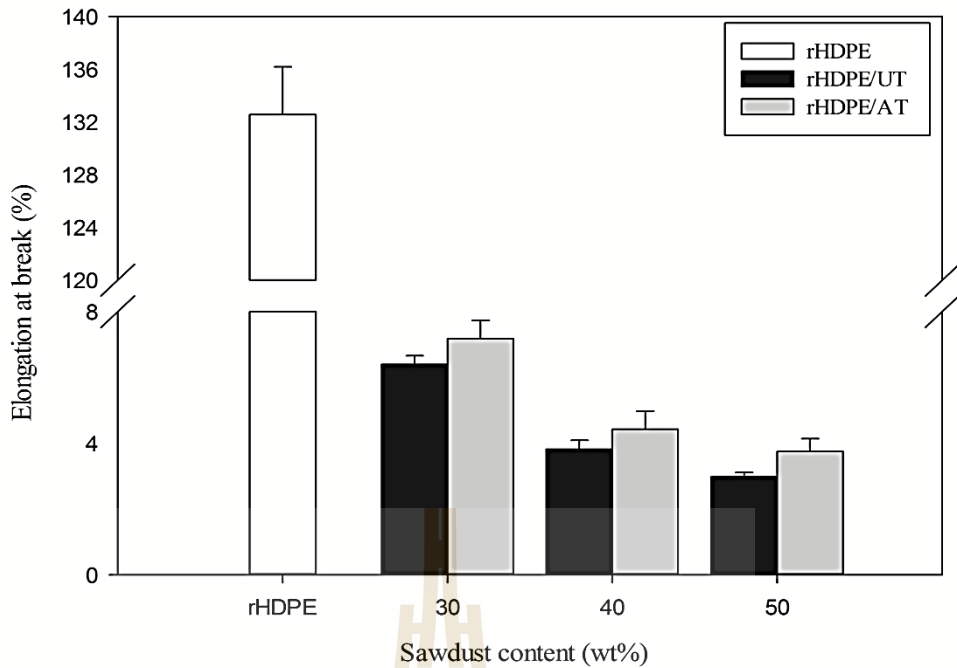


(a)



(b)

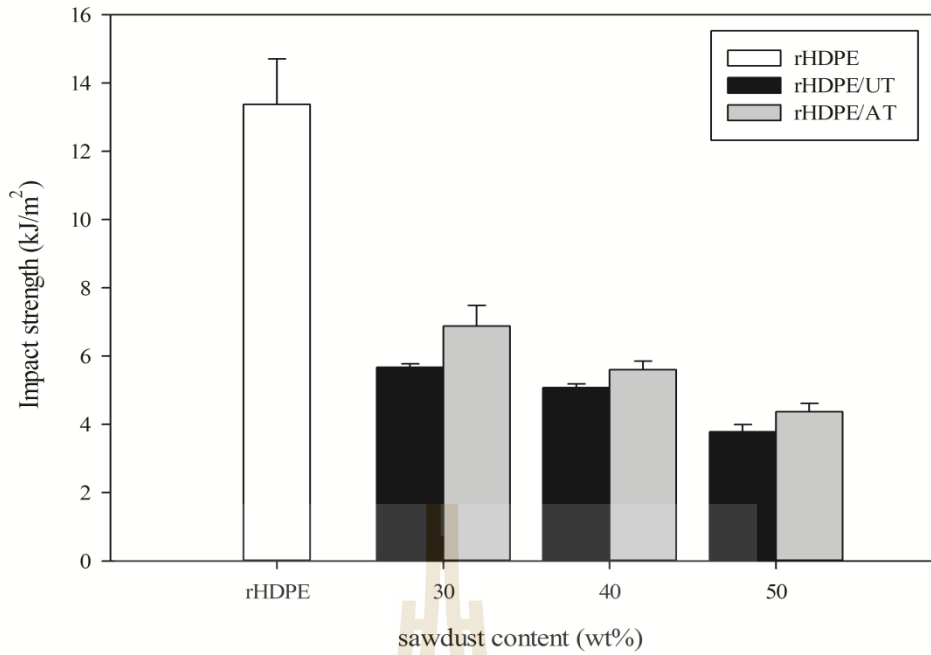
รูปที่ 4.1 สมบัติการต้านทานต่อแรงดึงของพอลิเอทิลีนชนิดความหนาแน่นสูงที่ผ่านการใช้งานแล้ว และพอลิเมอร์คอมโพสิทระหว่างผงขี้เลื่อยและพอลิเอทิลีนชนิดความหนาแน่นสูงที่ผ่านการใช้งานแล้วที่ปริมาณผงขี้เลื่อยต่างๆ (a) ความต้านทานต่อแรงดึง (b) มอดุลัสแรงดึง และ (c) ความยืดสูงสุด ณ จุดขาด



(c)

รูปที่ 4.1 (ต่อ) สมบัติการต้านทานต่อแรงดึงของพอลิเอทิลีนชนิดความหนาแน่นสูงที่ผ่านการใช้งานแล้วและพอลิเมอร์คอมโพสิตระหว่างผงขี้เลื่อยและพอลิเอทิลีนชนิดความหนาแน่นสูงที่ผ่านการใช้งานแล้วที่ปริมาณผงขี้เลื่อยต่างๆ (a) ความต้านทานต่อแรงดึง (b) โมดูลัสแรงดึง และ (c) ความยืดสูงสุด ณ จุดขาด

ความต้านทานต่อแรงกระแทก (Impact strength) ของพอลิเอทิลีนชนิดความหนาแน่นสูงที่ผ่านการใช้งานแล้วและพอลิเมอร์คอมโพสิตระหว่างผงขี้เลื่อยและพอลิเอทิลีนชนิดความหนาแน่นสูงที่ผ่านการใช้งานแล้ว แสดงในตาราง 4.1 พบว่าพอลิเมอร์คอมโพสิตทั้งหมดแสดงความต้านทานต่อแรงกระแทกต่ำกว่าพอลิเอทิลีนชนิดความหนาแน่นสูงที่ผ่านการใช้งานแล้ว เพราะการใส่ผงขี้เลื่อยก่อให้เกิดความเข้มของความเค้น (Stress concentration) ซึ่งต้องการพลังงานน้อยกว่าในการแตกหัก จากรูปที่ 4.2 เมื่อปริมาณผงขี้เลื่อยเพิ่มขึ้น ความต้านทานต่อแรงกระแทกของพอลิเมอร์คอมโพสิตลดลงเนื่องจากการเพิ่มขึ้นของการรวมตัวของสารตัวเติม (Filler agglomeration) (Yao และคณะ, 2008) ความต้านทานต่อแรงกระแทกในพอลิเมอร์คอมโพสิตที่เตรียมโดยผงขี้เลื่อยที่มีการปรับปรุงพื้นผิวชนิดอัลคาไลน์มีค่าสูงกว่าพอลิเมอร์คอมโพสิตที่เตรียมโดยผงขี้เลื่อยที่ไม่ผ่านการตัดแปรเนื่องจากการปรับปรุงการยึดติดที่อินเตอร์เฟซระหว่างผงขี้เลื่อยและพอลิเอทิลีนชนิดความหนาแน่นสูงที่ผ่านการใช้งานแล้ว



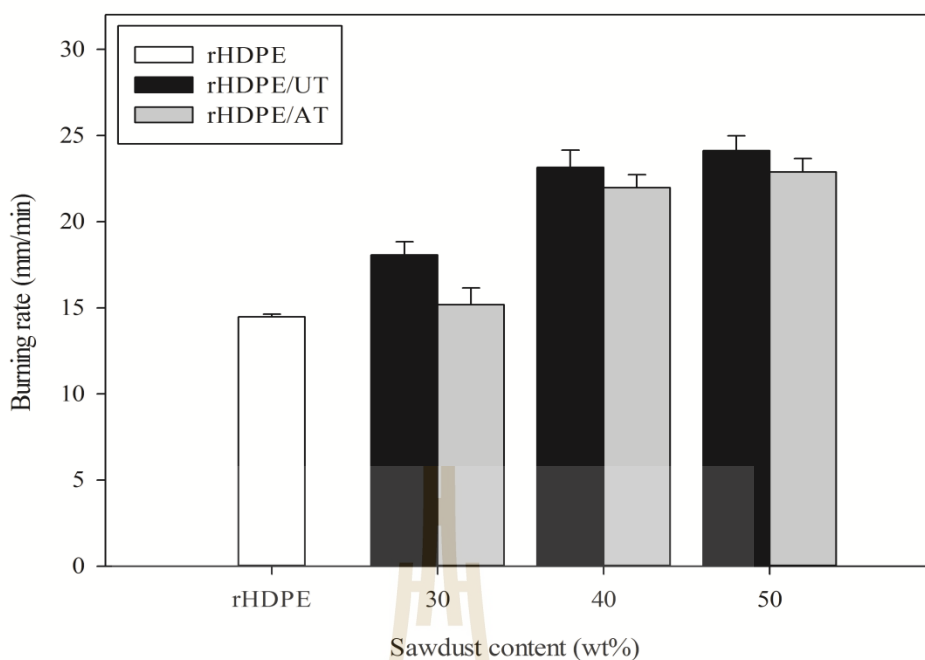
รูปที่ 4.2 ความต้านทานต่อแรงกระแทกของพอลิเอทิลีนชนิดความหนาแน่นสูงที่ผ่านการใช้งานแล้วและพอลิเมอร์คอมโพสิตระหว่างผงขี้เลื่อยและพอลิเอทิลีนชนิดความหนาแน่นสูงที่ผ่านการใช้งานแล้วที่ปริมาณผงขี้เลื่อยต่างๆ

4.1.2 สมบัติการต้านทานต่อการติดไฟ

อัตราการเผาไหม้ (Burning rate) ของพอลิเอทิลีนชนิดความหนาแน่นสูงที่ผ่านการใช้งานแล้วและพอลิเมอร์คอมโพสิตระหว่างผงขี้เลื่อยและพอลิเอทิลีนชนิดความหนาแน่นสูงที่ผ่านการใช้งานแล้ว แสดงในตารางที่ 4.2 พอลิเมอร์คอมโพสิตระหว่างผงขี้เลื่อยและพอลิเอทิลีนชนิดความหนาแน่นสูงที่ผ่านการใช้งานแล้วมีอัตราการเผาไหม้สูงกว่าพอลิเอทิลีนชนิดความหนาแน่นสูงที่ผ่านการใช้งานแล้ว และอัตราการเผาไหม้เพิ่มขึ้นเมื่อปริมาณผงขี้เลื่อยเพิ่มขึ้น ดังแสดงในรูปที่ 4.3 แสดงให้เห็นว่าพอลิเมอร์คอมโพสิตระหว่างผงขี้เลื่อยและพอลิเอทิลีนชนิดความหนาแน่นสูงที่ผ่านการใช้งานแล้วมีความไวต่อไฟ (Li และคณะ, 2004) พอลิเมอร์คอมโพสิตระหว่างผงขี้เลื่อยมีการปรับปรุงพื้นผิวชนิดอัลคาไลน์และพอลิเอทิลีนชนิดความหนาแน่นสูงที่ผ่านการใช้งานแล้ว แสดงอัตราการเผาไหม้ต่ำกว่าพอลิเมอร์คอมโพสิตระหว่างผงขี้เลื่อยไม่ผ่านการปรับปรุงพื้นผิวและพอลิเอทิลีนชนิดความหนาแน่นสูงที่ผ่านการใช้งานแล้วเล็กน้อย เป็นผลมาจากการเพิ่มขึ้นของเถ้า (Char residue) ของพอลิเมอร์คอมโพสิต (Chapple and Anadjiwala, 2012)

ตารางที่ 4.1 สมบัติทางกลของพอลิเอทิลีนชนิดความหนาแน่นสูงที่ผ่านการใช้งานแล้วและพอลิเมอร์คอมโพสิทระหว่างผงซีลี้อยและพอลิเอทิลีนชนิดความหนาแน่นสูงที่ผ่านการใช้งานแล้วที่ปริมาณผงซีลี้อยต่างๆ

Sample name	Tensile strength (MPa)	Tensile modulus (GPa)	Elongation at break (%)	Impact strength (kJ/m ²)
rHDPE	28.19±0.65	0.63±0.03	132.57±3.63	13.68±0.88
rHDPE/30UT	30.21±0.59	0.91±0.01	6.40±0.26	5.67±0.10
rHDPE/40UT	26.86±0.53	1.05±0.04	3.82±0.27	5.08±0.10
rHDPE/50UT	24.16±1.07	1.17±0.07	2.98±0.13	3.78±0.21
rHDPE/30AT	31.24±0.36	0.95±0.03	7.18±0.55	6.88±0.61
rHDPE/40AT	28.92±0.70	1.09±0.04	4.42±0.55	5.60±0.25
rHDPE/50AT	27.27±0.76	1.20±0.07	3.75±0.39	4.37±0.24



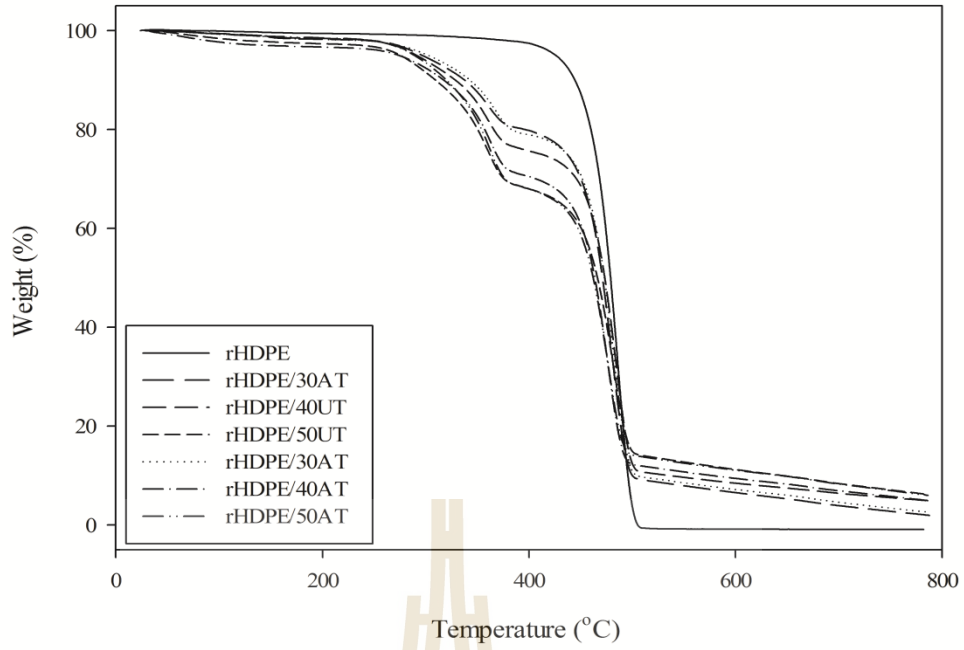
รูปที่ 4.3 อัตราการเผาไหม้ของพอลิเอทิลีนชนิดความหนาแน่นสูงที่ผ่านการใช้งานแล้วและพอลิเมอร์คอมโพสิตระหว่างผงขี้เลื่อยและพอลิเอทิลีนชนิดความหนาแน่นสูงที่ผ่านการใช้งานแล้วที่ปริมาณผงขี้เลื่อยต่างๆ

ตารางที่ 4.2 อัตราการเผาไหม้ของพอลิเอทิลีนชนิดความหนาแน่นสูงที่ผ่านการใช้งานแล้วและพอลิเมอร์คอมโพสิตระหว่างผงขี้เลื่อยและพอลิเอทิลีนชนิดความหนาแน่นสูงที่ผ่านการใช้งานแล้วที่ปริมาณผงขี้เลื่อยต่างๆ

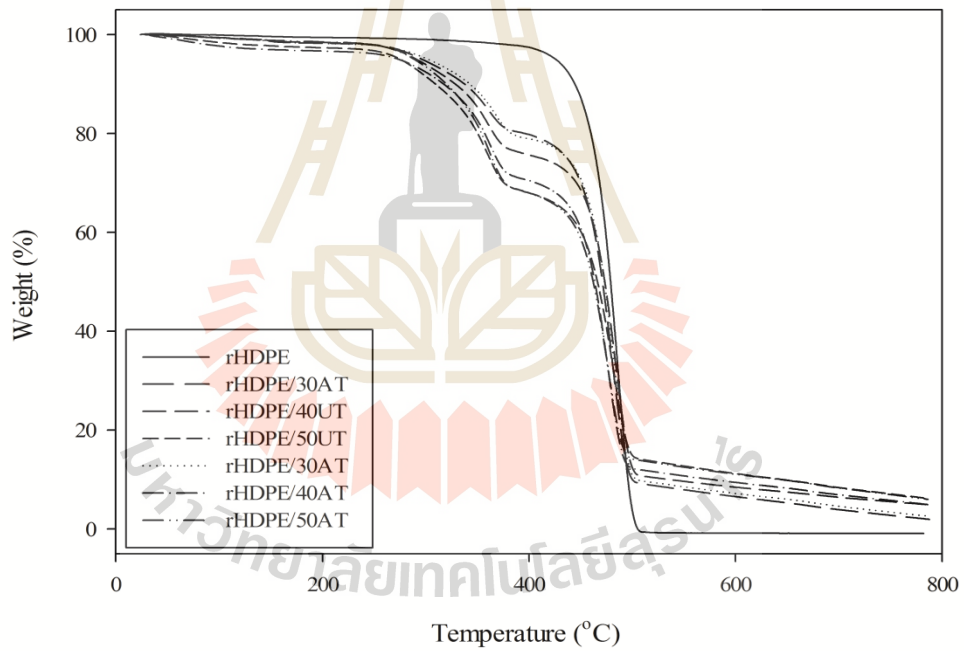
Sample name	Burning rate (mm/min)
rHDPE	15.27±1.38
rHDPE/30UT	21.58±0.61
rHDPE/40UT	24.38±0.30
rHDPE/50UT	26.00±0.86
rHDPE/30AT	18.07±0.77
rHDPE/40AT	22.59±0.29
rHDPE/50AT	23.67±0.42

4.1.3 สมบัติทางความร้อน

กราฟ TGA และ DTGA ของพอลิเอทิลีนชนิดความหนาแน่นสูงที่ผ่านการใช้งานแล้วและพอลิเมอร์คอมโพสิตระหว่างผงซีลีอียและพอลิเอทิลีนชนิดความหนาแน่นสูงที่ผ่านการใช้งานแล้ว แสดงในรูปที่ 4.4 อุณหภูมิการเสื่อมสภาพทางความร้อนและปริมาณเถ้าของพอลิเอทิลีนชนิดความหนาแน่นสูงที่ผ่านการใช้งานแล้วและพอลิเมอร์คอมโพสิตระหว่างผงซีลีอียและพอลิเอทิลีนชนิดความหนาแน่นสูงที่ผ่านการใช้งานแล้วที่ปริมาณผงซีลีอียต่างๆ แสดงในตารางที่ 4.3 อุณหภูมิการเสื่อมสภาพทางความร้อน (Thermal decomposition temperature) ของพอลิเอทิลีนชนิดความหนาแน่นสูงและผงซีลีอียคือ 477.67 และ 344.68 องศาเซลเซียสตามลำดับ พอลิเมอร์คอมโพสิตระหว่างผงซีลีอียและพอลิเอทิลีนชนิดความหนาแน่นสูงที่ผ่านการใช้งานแล้วแสดงการเปลี่ยนแปลงน้ำหนัก (Weight loss step) สองลำดับ เนื่องจากการเสื่อมสภาพของผงซีลีอียและพอลิเอทิลีนชนิดความหนาแน่นสูงที่ผ่านการใช้งานแล้วตามลำดับ อุณหภูมิการเปลี่ยนแปลงน้ำหนักของพอลิเอทิลีนชนิดความหนาแน่นสูง (Weight loss temperature) ของพอลิเมอร์คอมโพสิตลดลงเมื่อปริมาณผงซีลีอียเพิ่มขึ้น เนื่องจากการผลิตอนุภาคอิสระ เมื่อมีการเสื่อมสภาพของผงซีลีอียและเร่งปฏิกิริยาการเสื่อมสภาพทางความร้อน (Thermal decomposition) ของพอลิเมอร์เมทริกซ์ (Li และคณะ, 2004) การดัดแปรอัลคาไลน์เพิ่มอุณหภูมิการเสื่อมสภาพของผงซีลีอียของพอลิเมอร์คอมโพสิต เนื่องจากการกำจัดส่วนประกอบที่เสื่อมสภาพที่อุณหภูมิต่ำของผงซีลีอียระหว่างการดัดแปรอัลคาไลน์ (Kaewkuk และคณะ, 2010) นอกจากนี้ ปริมาณเถ้าของพอลิเมอร์คอมโพสิตระหว่างผงซีลีอียที่ผ่านการดัดแปรอัลคาไลน์และพอลิเอทิลีนยังมีค่าสูงกว่าปริมาณเถ้าของพอลิเมอร์คอมโพสิตระหว่างผงซีลีอียที่ไม่ผ่านการดัดแปรและพอลิเอทิลีนชนิดความหนาแน่นสูงที่ทุกปริมาณของผงซีลีอีย เนื่องจากปริมาณเซลล์โลสของผงซีลีอียเพิ่มขึ้นเมื่อมีการดัดแปรด้วยอัลคาไลน์ (Ndazi et al., 2001)



(a)



รูปที่ 4.4 ลักษณะการเสื่อมสภาพทางความร้อนของพอลิเอทิลีนชนิดความหนาแน่นสูงที่ผ่านการใช้งานแล้วและพอลิเมอร์คอมโพสิตระหว่างผงซีดีเอชและพอลิเอทิลีนชนิดความหนาแน่นสูงที่ผ่านการใช้งานแล้วที่ปริมาณผงซีดีเอชต่างๆ (a) TGA และ (b) DTGA

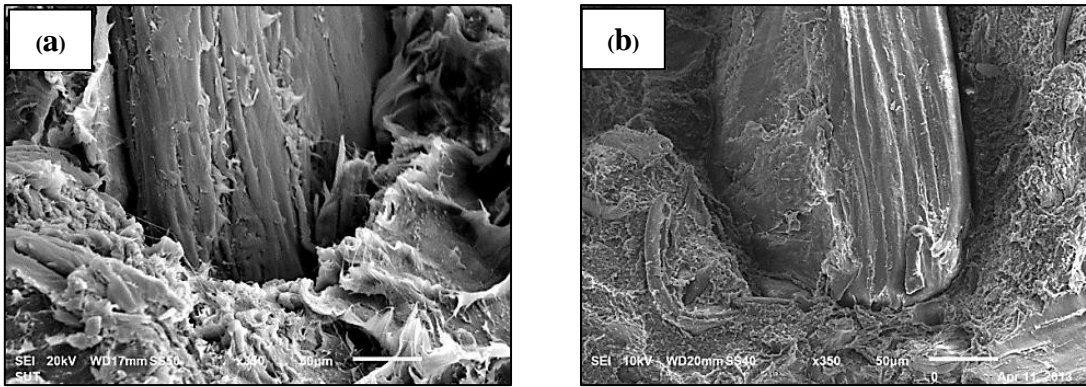
ตารางที่ 4.3 ลักษณะการเสื่อมสภาพทางความร้อนของพอลิเอทิลีนชนิดความหนาแน่นสูงที่ผ่านการใช้งานแล้วและพอลิเมอร์คอมโพสิทระหว่างผงซีลี้อยและพอลิเอทิลีนชนิดความหนาแน่นสูงที่ผ่านการใช้งานแล้วที่ปริมาณผงซีลี้อยต่างๆ

Sample name	1 st weight loss temperature (°C)	2 nd weight loss temperature (°C)	Residue (%)
rHDPE	-	477.67	0
rHDPE/30UT	345.17	475.50	5.11
rHDPE/40UT	344.50	474.50	7.57
rHDPE/50UT	343.83	473.83	8.60
rHDPE/30AT	353.83	476.33	6.71
rHDPE/40AT	352.67	475.85	8.32
rHDPE/50AT	351.50	474.67	8.85

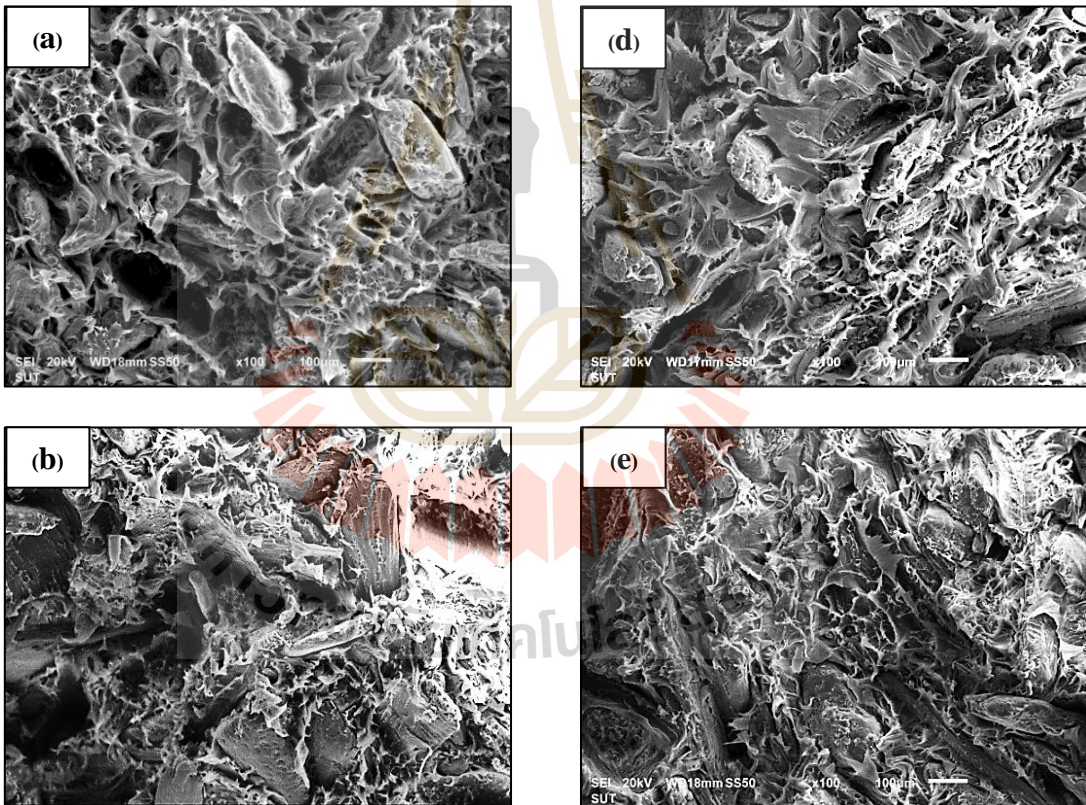
4.1.4 ลักษณะวิทยา

ภาพถ่ายจากกล้องจุลทรรศน์อิเล็กตรอนแบบส่องกราดของพื้นผิวที่แตกหักจากแรงดึง (Tensile fracture surface) ของพอลิเมอร์คอมโพสิทระหว่างผงซีลี้อยที่และพอลิเอทิลีนชนิดความหนาแน่นสูงที่ผ่านการใช้งานแล้วที่มีปริมาณผงซีลี้อย 30 เปอร์เซ็นต์โดยน้ำหนัก แสดงในรูปที่ 4.5 พบช่องว่างระหว่างพอลิเอทิลีนชนิดความหนาแน่นสูงที่ผ่านการใช้งานแล้วและผงซีลี้อยที่ไม่ผ่านการตัดแปรแสดงถึงความไม่เข้ากันระหว่างผงซีลี้อยและพอลิเอทิลีนชนิดความหนาแน่นสูงที่ผ่านการใช้งานแล้ว ดังแสดงในรูปที่ 4.5 (a) การตัดแปรอัลคาไลน์เพิ่มการยึดติดบริเวณอินเตอร์เฟซระหว่างผงซีลี้อยและพอลิเอทิลีนชนิดความหนาแน่นสูงที่ผ่านการใช้งานแล้ว ดังแสดงในรูปที่ 4.6 (b) ส่งผลให้สมบัติทางกลของพอลิเมอร์คอมโพสิทเพิ่มขึ้นจากการตัดแปรอัลคาไลน์

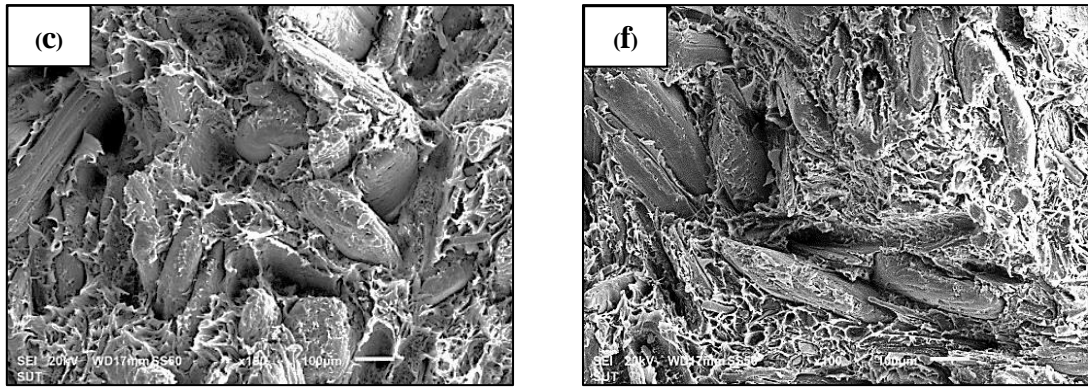
ภาพถ่ายจากกล้องจุลทรรศน์อิเล็กตรอนแบบส่องกราดของพื้นผิวที่แตกหักจากแรงดึงของพอลิเมอร์คอมโพสิทระหว่างผงซีลี้อยและพอลิเอทิลีนชนิดความหนาแน่นสูงที่ผ่านการใช้งานแล้วที่ปริมาณผงซีลี้อยต่างๆ แสดงในรูปที่ 4.6 จากรูปที่ 4.6 (a)-(c) พบรูซึ่งเกิดขึ้นภายหลังการหลุดออกของผงซีลี้อยจากพอลิเอทิลีนชนิดความหนาแน่นสูงที่ผ่านการใช้งานแล้ว และเมื่อปริมาณผงซีลี้อยเพิ่มขึ้นพบการรวมตัวกันของผงซีลี้อย ในทางกลับกัน พบการยึดติดที่บริเวณอินเตอร์เฟซระหว่างผงซีลี้อยที่ผ่านการตัดแปรอัลคาไลน์และพอลิเอทิลีนชนิดความหนาแน่นสูงที่ผ่านการใช้งานแล้ว ดังแสดงในรูปที่ 4.6 (d)-(f) นอกจากนี้ ไม่พบการรวมตัวกันของผงซีลี้อยในพอลิเมอร์คอมโพสิทระหว่างผงซีลี้อยที่ผ่านการตัดแปรอัลคาไลน์และพอลิเอทิลีนชนิดความหนาแน่นสูงที่ผ่านการใช้งานแล้ว



รูปที่ 4.5 ภาพถ่ายจากกล้องจุลทรรศน์อิเล็กตรอนแบบส่องกราดของพอลิเมอร์คอมโพสิตระหว่างผงขี้เลื่อยและพอลิเอทิลีนชนิดความหนาแน่นสูงที่ผ่านการใช้งานแล้วที่ปริมาณผงขี้เลื่อยต่างๆ ที่กำลังขยาย 350 เท่า (a) rHDPE/30UT และ (b) rHDPE/30AT



รูปที่ 4.6 ภาพถ่ายจากกล้องจุลทรรศน์อิเล็กตรอนแบบส่องกราดของพอลิเมอร์คอมโพสิตระหว่างผงขี้เลื่อยและพอลิเอทิลีนชนิดความหนาแน่นสูงที่ผ่านการใช้งานแล้วที่ปริมาณผงขี้เลื่อยต่างๆ ที่กำลังขยาย 100 เท่า (a) rHDPE/30UT (b) rHDPE/40UT (c) rHDPE/50UT (d) rHDPE/30AT (e) rHDPE/40AT และ (f) rHDPE/50AT



รูปที่ 4.6 (ต่อ) ภาพถ่ายจากกล้องจุลทรรศน์อิเล็กตรอนแบบส่องกราดของพอลิเมอร์คอมโพสิตระหว่างผงขี้เลื่อยและพอลิเอทิลีนชนิดความหนาแน่นสูงที่ผ่านการใช้งานแล้วที่ปริมาณผงขี้เลื่อยต่างๆ ที่กำลังขยาย 100 เท่า (a) rHDPE/30UT (b) rHDPE/40UT (c) rHDPE/50UT (d) rHDPE/30AT (e) rHDPE/40AT และ (f) rHDPE/50AT

จากสมบัติทางกล สมบัติการต้านทานต่อการตีไฟและสมบัติทางความร้อนเลือก พอลิเมอร์คอมโพสิตที่มีปริมาณผงขี้เลื่อยที่ผ่านการตัดแปรอัลคาไลน์ 30 เปอร์เซ็นต์โดยน้ำหนักไปศึกษาผลของอะลูมิเนียมไตรไฮดรอกไซด์ต่อสมบัติของพอลิเมอร์คอมโพสิตระหว่างผงขี้เลื่อยที่ผ่านการตัดแปรอัลคาไลน์และพอลิเอทิลีนชนิดความหนาแน่นสูงที่ผ่านการใช้งานแล้ว

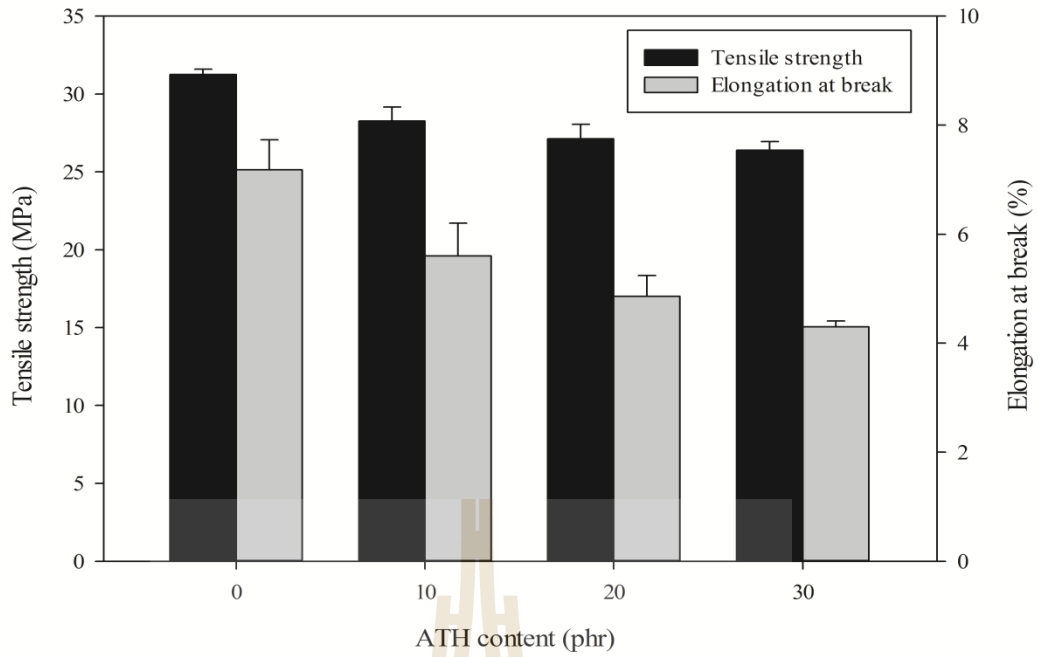


4.2 ผลของอะลูมิเนียมไตรไฮดรตต่อสมบัติทางกายภาพของพอลิเมอร์คอมโพสิทระหว่างผงซีลีอ์ที่ผ่านการตัดแปรอัลคาไลน์และพอลิเอทิลีนชนิดความหนาแน่นสูงที่ผ่านการใช้งานแล้ว

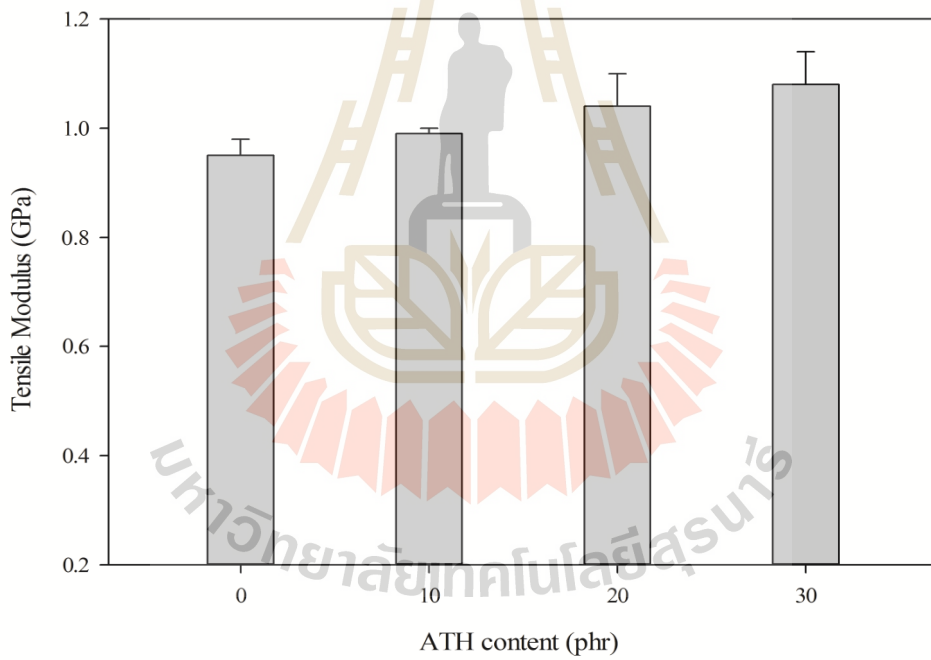
4.2.1 สมบัติทางกล

สมบัติการต้านทานต่อแรงดึงของพอลิเมอร์คอมโพสิทระหว่างผงซีลีอ์ที่ผ่านการตัดแปรอัลคาไลน์และพอลิเอทิลีนชนิดความหนาแน่นสูงที่ผ่านการใช้งานแล้วที่ปริมาณอะลูมิเนียมไตรไฮดรตต่างๆ แสดงในตารางที่ 4.4 ความต้านทานต่อแรงดึงและความยืดสูงสุด ณ จุดขาดของพอลิเมอร์คอมโพสิทลดลงเมื่อปริมาณอะลูมิเนียมไตรไฮดรตเพิ่มขึ้น ดังแสดงในรูปที่ 4.7 (a) เนื่องจากการรวมกันของอะลูมิเนียมไตรไฮดรตในพอลิเมอร์เมทริกซ์และการยึดติดบริเวณอินเตอร์เฟซที่ไม่ดีระหว่างอะลูมิเนียมไตรไฮดรตและพอลิเอทิลีนชนิดความหนาแน่นสูงที่ผ่านการใช้งานแล้ว มอดูลัสแรงดึงของพอลิเมอร์คอมโพสิทเพิ่มขึ้น เมื่อปริมาณอะลูมิเนียมไตรไฮดรตเพิ่มขึ้น ดังแสดงในรูปที่ 4.7 (b) Ramazani และคณะ (2008) พบว่าเมื่อปริมาณอะลูมิเนียมไตรไฮดรตเพิ่มขึ้นความต้านทานต่อแรงดึงและความยืดสูงสุด ณ จุดขาดของพอลิโพรพิลีนคอมโพสิทลดลง ในขณะที่มอดูลัสแรงดึงเพิ่มขึ้น

ความต้านทานต่อแรงกระแทกของพอลิเมอร์คอมโพสิทระหว่างผงซีลีอ์ที่ผ่านการตัดแปรอัลคาไลน์และพอลิเอทิลีนชนิดความหนาแน่นสูงที่ผ่านการใช้งานแล้ว แสดงในรูปที่ 4.8 ความต้านทานต่อแรงกระแทกของพอลิเมอร์คอมโพสิทลดลงอย่างต่อเนื่องเมื่อปริมาณอะลูมิเนียมไตรไฮดรตเพิ่มขึ้น เนื่องจากการรวมกันของอะลูมิเนียมไตรไฮดรตในพอลิเมอร์เมทริกซ์และการยึดติดบริเวณอินเตอร์เฟซที่ไม่ดีระหว่างอะลูมิเนียมไตรไฮดรตและพอลิเอทิลีนชนิดความหนาแน่นสูงที่ผ่านการใช้งานแล้ว ก่อให้เกิดความเข้มของความเค้น ซึ่งต้องการพลังงานน้อยกว่าในการแตกหัก

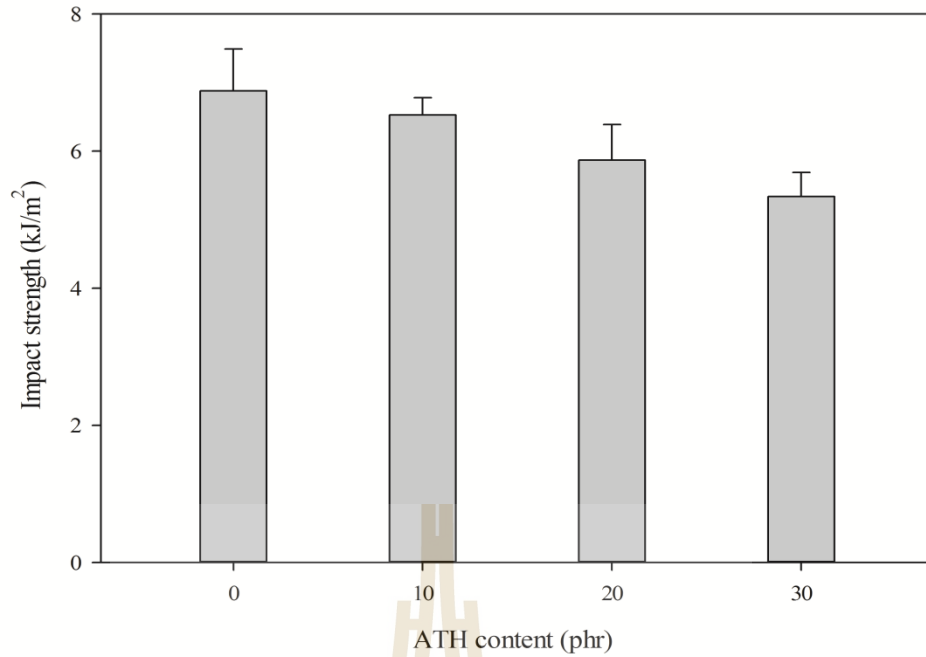


(a)



(b)

รูปที่ 4.7 สมบัติการต้านทานต่อแรงดึงของพอลิเมอร์คอมโพสิตระหว่างผงซีลี้อยู่ที่ผ่านการตัดแปรรัดคาไลน์และพอลิเอทิลีนชนิดความหนาแน่นสูงที่ผ่านการใช้งานแล้วที่ปริมาณอะลูมิเนียมไตรไฮดรอกไซด์ต่างๆ (a) ความต้านทานต่อแรงดึงและความยืดสูงสุด ณ จุดขาด และ (b) มอดูลัสแรงดึง



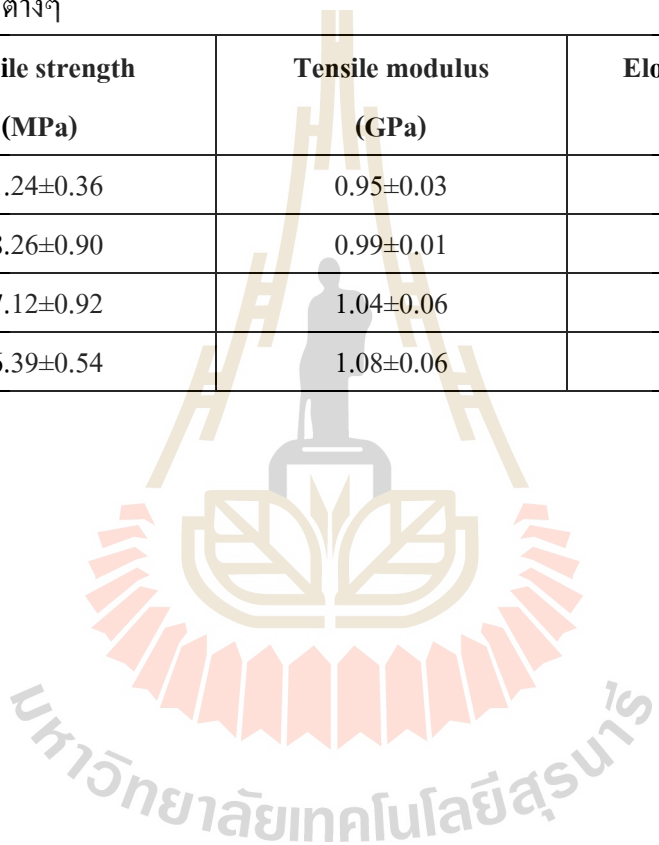
รูปที่ 4.8 ความต้านทานต่อแรงกระแทกของพอลิเมอร์คอมโพสิตระหว่างผงซีลี้อยู่ที่ผ่านการตัดแปรรออัลคาไลน์และพอลิเอทิลีนชนิดความหนาแน่นสูงที่ผ่านการใช้งานแล้วที่ปริมาณอะลูมิเนียมไตรไฮดรอกไซด์ต่างๆ

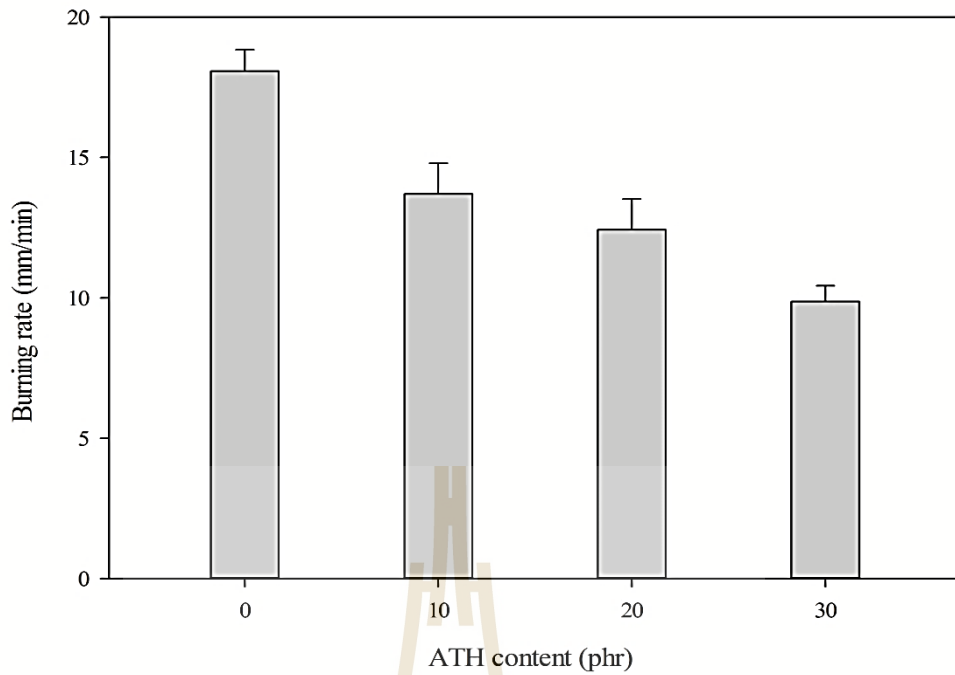
4.2.2 สมบัติการต้านทานต่อการติดไฟ

อัตราการเผาไหม้ของพอลิเมอร์คอมโพสิตระหว่างผงซีลี้อยู่ที่ผ่านการตัดแปรรออัลคาไลน์และพอลิเอทิลีนชนิดความหนาแน่นสูงที่ผ่านการใช้งานแล้ว แสดงในรูปที่ 4.9 และตารางที่ 4.5 อัตราการเผาไหม้ของพอลิเมอร์คอมโพสิตลดลงอย่างต่อเนื่องเมื่อปริมาณอะลูมิเนียมไตรไฮดรอกไซด์เพิ่มขึ้น แสดงให้เห็นว่าอะลูมิเนียมไตรไฮดรอกไซด์เพิ่มสมบัติการต้านทานต่อการติดไฟของพอลิเมอร์คอมโพสิต เนื่องจากอะลูมิเนียมไตรไฮดรอกไซด์ปลดปล่อยน้ำและสร้างชั้นป้องกันพอลิเมอร์คอมโพสิตจากไฟและออกซิเจน (Norzali และคณะ 2011)

ตารางที่ 4.4 สมบัติทางกลของพอลิเมอร์คอมโพสิตระหว่างผงซีลื้อยที่ผ่านการคัดแปรอัลคาไลน์และพอลิเอทีลีนชนิดความหนาแน่นสูงที่ผ่านการใช้งานแล้ว
ที่ปริมาณอะลูมิเนียมไตรไฮดรอกไซด์ต่างๆ

Sample name	Tensile strength (MPa)	Tensile modulus (GPa)	Elongation at break (%)	Impact strength (kJ/m ²)
rHDPE/30AT	31.24±0.36	0.95±0.03	7.18±0.55	6.88±0.61
10ATH	28.26±0.90	0.99±0.01	5.60±0.60	6.53±0.25
20ATH	27.12±0.92	1.04±0.06	4.86±0.38	5.87±0.52
30ATH	26.39±0.54	1.08±0.06	4.30±0.10	5.34±0.11





รูปที่ 4.9 อัตราการเผาไหม้ของพอลิเมอร์คอมพอสิตระหว่างผงซีลี้อยู่ที่ผ่านการตัดแปรอัลคาไลน์ และพอลิเอทิลีนชนิดความหนาแน่นสูงที่ผ่านการใช้งานแล้วที่ปริมาณอะลูมิเนียมไตรไฮดรอกไซด์ต่างๆ

ตารางที่ 4.5 อัตราการเผาไหม้ของพอลิเมอร์คอมพอสิตระหว่างผงซีลี้อยู่ที่ผ่านการตัดแปรอัลคาไลน์และพอลิเอทิลีนชนิดความหนาแน่นสูงที่ผ่านการใช้งานแล้วที่ปริมาณอะลูมิเนียมไตรไฮดรอกไซด์ต่างๆ

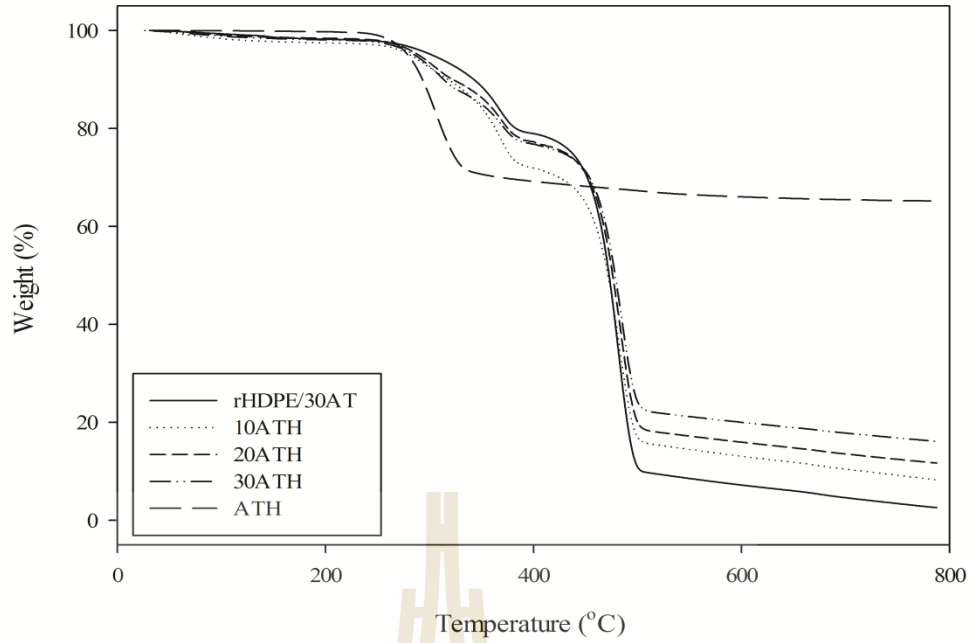
Sample name	Burning rate (mm/min)
rHDPE/30AT	18.07±0.77
10ATH	17.88±0.90
20ATH	13.36±1.83
30ATH	11.09±0.84

4.2.3 สมบัติทางความร้อน

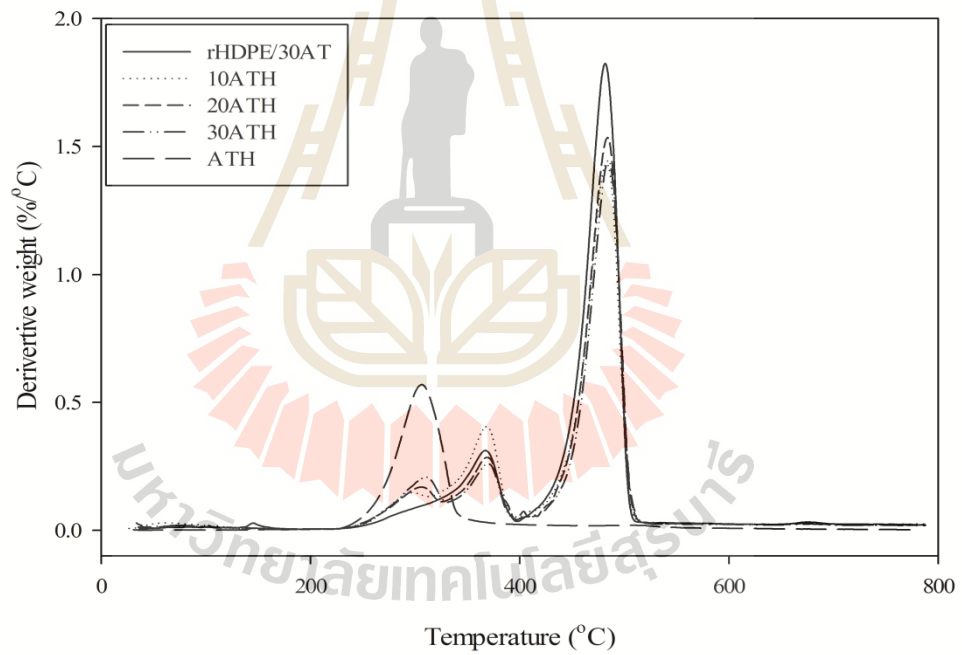
กราฟ TGA และ DTGA ของอะลูมิเนียมไตรไฮดรอกไซด์และพอลิเมอร์คอมโพสิตระหว่างผงซีลีออยและพอลิเอทิลีนชนิดความหนาแน่นสูงที่ผ่านการใช้งานแล้วที่ปริมาณอะลูมิเนียมไตรไฮดรอกไซด์ต่างๆ แสดงในรูปที่ 4.10 อุณหภูมิการเสื่อมสภาพทางความร้อนและปริมาณเถ้าของพอลิเมอร์คอมโพสิตระหว่างผงซีลีออยที่ผ่านการคัดแปรอัลคาไลน์และพอลิเอทิลีนชนิดความหนาแน่นสูงที่ผ่านการใช้งานแล้วที่ปริมาณอะลูมิเนียมไตรไฮดรอกไซด์ต่างๆ แสดงในตารางที่ 4.6 อะลูมิเนียมไตรไฮดรอกไซด์มีการเปลี่ยนแปลงน้ำหนักหนึ่งลำดับที่อุณหภูมิ 291.67 องศาเซลเซียส ในระหว่างกระบวนการเสื่อมสภาพทางความร้อนอะลูมิเนียมไตรไฮดรอกไซด์ปลดปล่อยน้ำและมีปริมาณเถ้าสูง (Chen และคณะ, 1989) เมื่อใส่อะลูมิเนียมไตรไฮดรอกไซด์ปริมาณ 10 ส่วนในหนึ่งร้อยส่วนของพอลิเมอร์คอมโพสิตในพอลิเมอร์คอมโพสิตระหว่าง ผงซีลีออยและพอลิเอทิลีนชนิดความหนาแน่นสูงที่ผ่านการใช้งานแล้วพบการเปลี่ยนแปลงน้ำหนักสามลำดับที่อุณหภูมิ 292.24 358.40 และ 477.01 องศาเซลเซียส เนื่องจากการเสื่อมสภาพทางความร้อนของอะลูมิเนียมไตรไฮดรอกไซด์ ผงซีลีออยและพอลิเอทิลีนชนิดความหนาแน่นสูงที่ผ่านการใช้งานแล้วตามลำดับ อุณหภูมิการเสื่อมสภาพทางความร้อนลำดับที่ 2 และ 3 ของพอลิเมอร์คอมโพสิตเพิ่มขึ้นเล็กน้อยเมื่อปริมาณอะลูมิเนียมไตรไฮดรอกไซด์เพิ่มขึ้น เนื่องจากอะลูมิเนียมไตรไฮดรอกไซด์ปลดปล่อยน้ำและสร้างชั้นป้องกันชะลอกระบวนการเสื่อมสภาพทางความร้อนของพอลิเมอร์คอมโพสิต (Ramazani และคณะ, 2008)

ตารางที่ 4.6 ลักษณะการเสื่อมสภาพทางความร้อนของพอลิเมอร์คอมโพสิตระหว่างผงซีลีออยที่ผ่านการคัดแปรอัลคาไลน์และพอลิเอทิลีนชนิดความหนาแน่นสูงที่ผ่านการใช้งานแล้วที่ปริมาณอะลูมิเนียมไตรไฮดรอกไซด์ต่างๆ

Sample name	1 st weight loss temperature (°C)	2 nd weight loss temperature (°C)	3 rd weight loss temperature (°C)	Residue (%)
rHDPE/30AT	-	353.83	476.33	6.71
10ATH	292.24	358.40	477.01	8.31
20ATH	292.32	359.57	477.90	11.70
30ATH	292.03	360.40	478.66	15.07
ATH	291.67	-	-	65.21



(a)

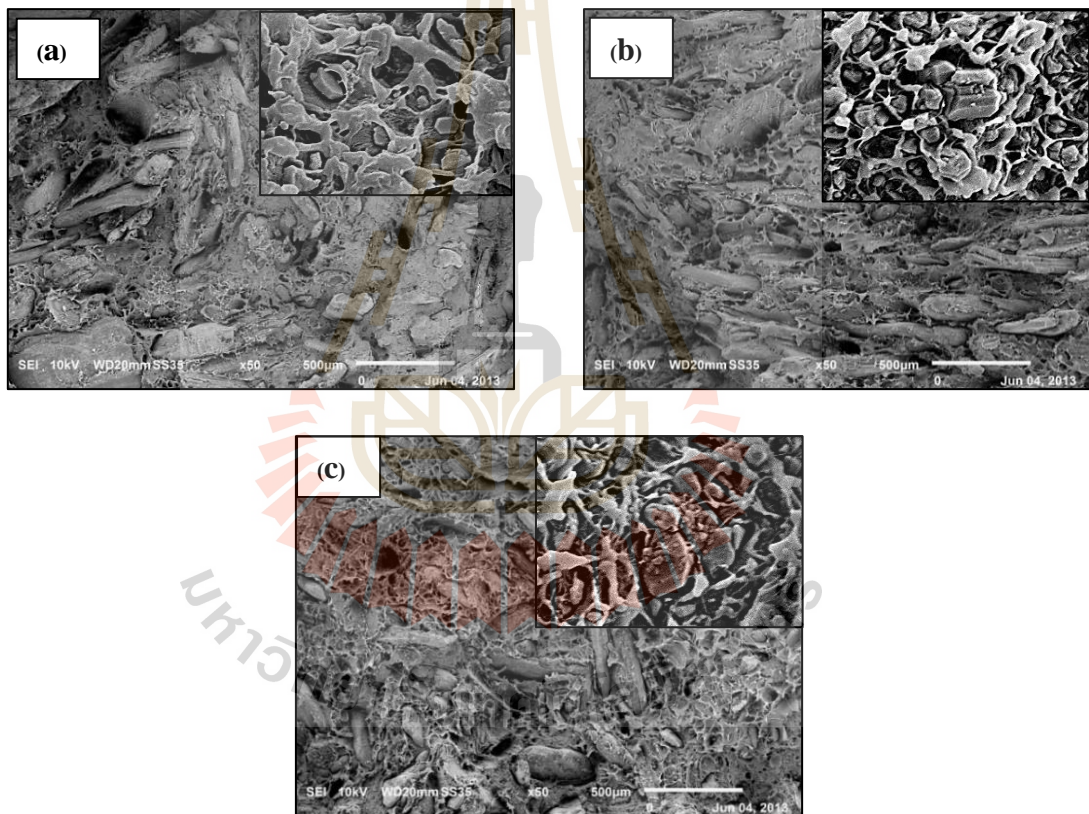


(b)

รูปที่ 4.10 ลักษณะการเสื่อมสภาพทางความร้อนของพอลิเมอร์คอมพอสิตระหว่างพวงขี้เถ้าที่ผ่านการตัดแปรอัลคาไลน์และพอลิเอทิลีนชนิดความหนาแน่นสูงที่ผ่านการใช้งานแล้วที่ปริมาณอะลูมิเนียมไตรไฮดรอกไซด์ต่างๆ (a) TGA และ (b) DTGA

4.2.4 สัณฐานวิทยา

ภาพถ่ายจากกล้องจุลทรรศน์อิเล็กตรอนแบบส่องกราดของพื้นผิวที่แตกหักจากแรงดึงของพอลิเมอร์คอมโพสิตระหว่างผงซีลื้อยที่ผ่านการตัดแปรอัลคาไลน์และพอลิเอทิลีนชนิดความหนาแน่นสูงที่ผ่านการใช้งานแล้วที่ปริมาณอะลูมิเนียมไตรไฮดรอกไซด์ต่างๆ แสดงในรูปที่ 4.11 พบช่องว่างระหว่างอะลูมิเนียมไตรไฮดรอกไซด์และพอลิเอทิลีนชนิดความหนาแน่นสูงที่ผ่านการใช้งานแล้ว ดังแสดงรูปที่ 4.11 (a) เนื่องจากความไม่เข้ากันระหว่างอะลูมิเนียมไตรไฮดรอกไซด์และพอลิเอทิลีนชนิดความหนาแน่นสูง นอกจากนี้ พบการรวมกลุ่มของอะลูมิเนียมไตรไฮดรอกไซด์เมื่อปริมาณอะลูมิเนียมไตรไฮดรอกไซด์เพิ่มขึ้น ดังแสดงในรูปที่ 4.11 (b)-(c) ผลทางสัณฐานวิทยาสัมพันธ์กับสมบัติทางกลของพอลิเมอร์คอมโพสิต



รูปที่ 4.11 ภาพถ่ายจากกล้องจุลทรรศน์อิเล็กตรอนแบบส่องกราดลักษณะการเสื่อมสภาพทางความร้อนของพอลิเมอร์คอมโพสิตระหว่างผงซีลื้อยที่ผ่านการตัดแปรอัลคาไลน์และพอลิเอทิลีนชนิดความหนาแน่นสูงที่ผ่านการใช้งานแล้วที่ปริมาณอะลูมิเนียมไตรไฮดรอกไซด์ต่างๆ ที่กำลังขยาย 50 และ 2000 เท่า (a) 10ATH (b) 20ATH และ (c) 30ATH

จากสมบัติทางกล สมบัติการต้านทานต่อไฟและสมบัติทางความร้อนของพอลิเมอร์ เลือกพอลิเมอร์คอมโพสิตที่มีปริมาณอะลูมิเนียมไตรไฮดรอกไซด์ 30 ส่วนในหนึ่งร้อยส่วนของพอลิเมอร์คอมโพสิตไปศึกษาผลของการรวมกันของสารหน่วงไฟต่อสมบัติของพอลิเมอร์คอมโพสิตระหว่างผงขึ้นที่ผ่านการตัดแปรรัดคาไลน์และพอลิเอทิลีนชนิดความหนาแน่นสูงที่ผ่านการใช้งานแล้ว

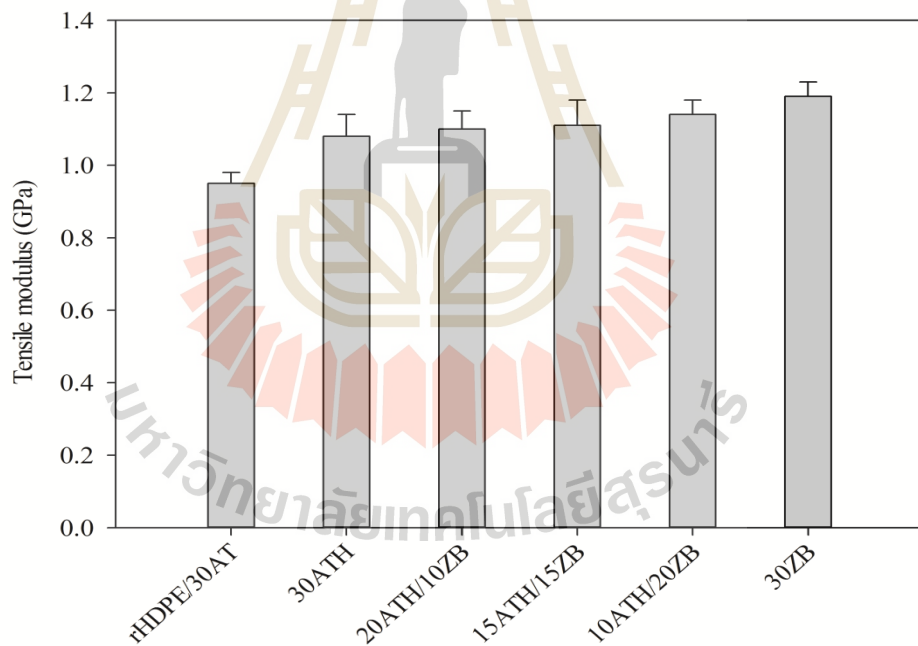
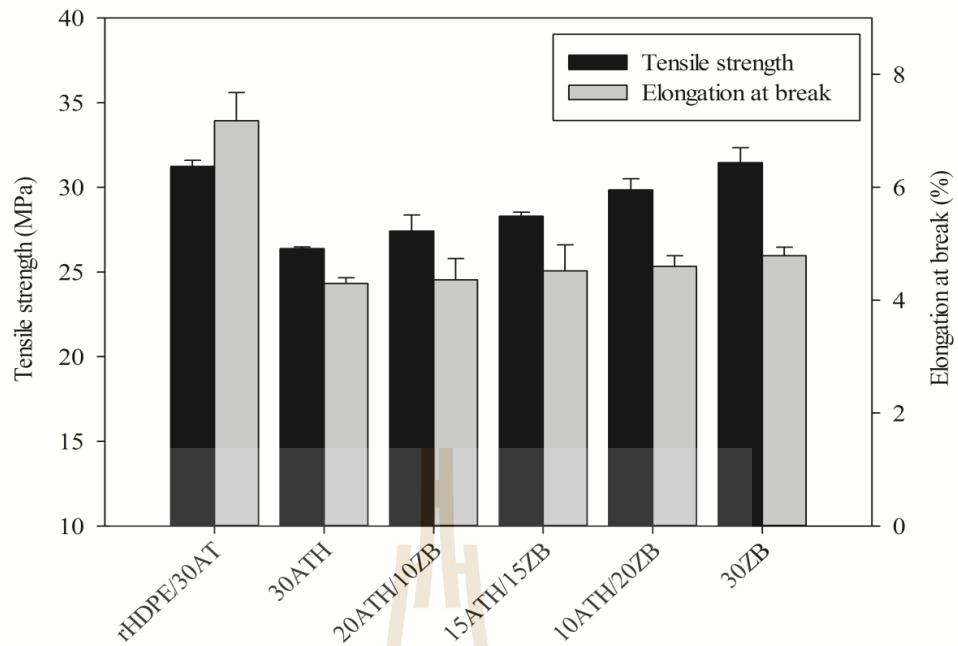
4.3 ผลของการรวมกันของสารหน่วงไฟต่อสมบัติทางกายภาพของพอลิเมอร์คอมโพสิตระหว่างผงขึ้นที่ผ่านการตัดแปรรัดคาไลน์และพอลิเอทิลีนชนิดความหนาแน่นสูงที่ผ่านการใช้งานแล้ว

สารหน่วงไฟนิยมใช้เพื่อเพิ่มสมบัติการต้านทานต่อการติดไฟของพอลิเมอร์คอมโพสิตระหว่างสารตัวเติมชนิดเซลลูโลสและพอลิเมอร์ อย่างไรก็ตามการเติมสารหน่วงไฟเพื่อเพิ่มสมบัติการต้านทานต่อการติดไฟของพอลิเมอร์คอมโพสิตส่งผลให้สมบัติทางกลลดลง ประสิทธิภาพของสารหน่วงไฟสามารถปรับปรุงโดยการทำงานเสริมกัน การรวมกันของสารหน่วงไฟส่งผลต่อการเพิ่มขึ้นของสมบัติการต้านทานต่อการติดไฟของพอลิเมอร์คอมโพสิตระหว่างสารตัวเติมไม้และพอลิเมอร์โดยไม่ส่งผลให้สมบัติทางกลลดลง (Garcia และคณะ, 2009; Kurt และ Mengelglu, 2009; Bai และคณะ, 2014)

4.3.1 สมบัติทางกล

สมบัติการต้านทานต่อแรงดึงของพอลิเมอร์คอมโพสิตระหว่างผงขึ้นที่ผ่านการตัดแปรรัดคาไลน์และพอลิเอทิลีนชนิดความหนาแน่นสูงที่ผ่านการใช้งานแล้วที่มีการรวมกันของสารหน่วงไฟ แสดงในตารางที่ 4.7 เมื่อเติมอะลูมิเนียมไตรไฮดรอกไซด์ในพอลิเมอร์คอมโพสิต ความต้านทานต่อแรงดึงและความยืดสูงสุด ณ จุดขาดของพอลิเมอร์คอมโพสิตลดลง แสดงในรูปที่ 4.12 (a) เนื่องจากการยึดติดบริเวณอินเตอร์เฟซที่ไม่ดีระหว่างอะลูมิเนียมไตรไฮดรอกไซด์กับพอลิเมอร์คอมโพสิตเพิ่มขึ้นเมื่อมีการเติมอะลูมิเนียมไตรไฮดรอกไซด์ ดังแสดงในรูป 4.12 (b)

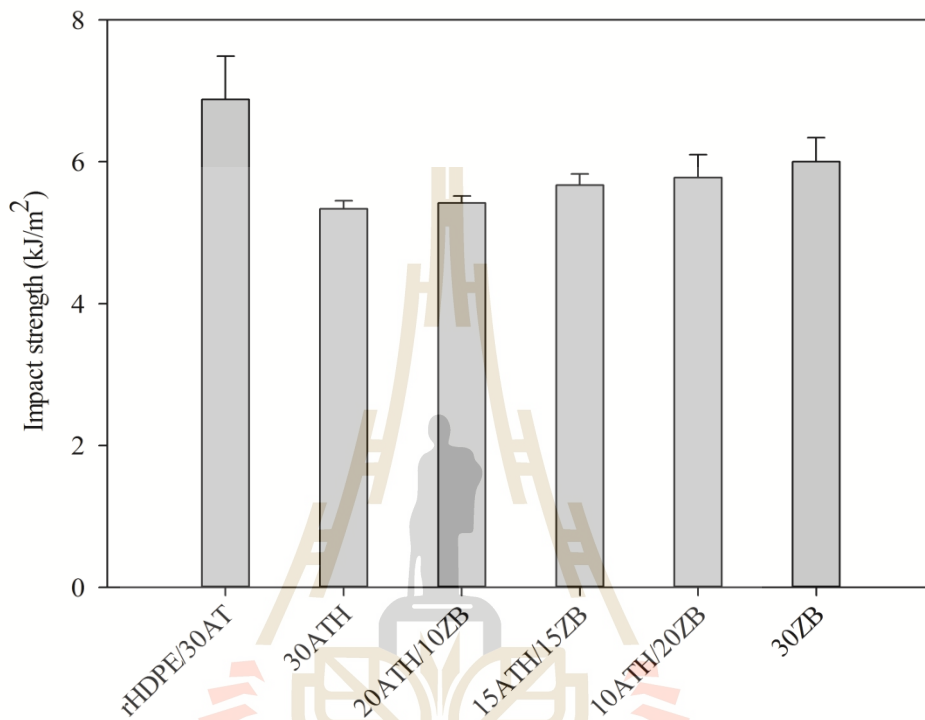
การใช้การอะลูมิเนียมไตรไฮดรอกไซด์และซิงค์บอเรท (Zinc borate) ร่วมกัน ที่อัตราส่วนของอะลูมิเนียมไตรไฮดรอกไซด์และซิงค์บอเรทที่ 2 ต่อ 1 (20ATH/10ZB) 1 ต่อ 1 (15ATH/15ZB) และ 1 ต่อ 2 (10ATH/20ZB) ในพอลิเมอร์คอมโพสิตระหว่างผงขึ้นที่ผ่านการตัดแปรรัดคาไลน์และ พอลิเอทิลีนชนิดความหนาแน่นสูงที่ผ่านการใช้งานแล้วเพิ่มสมบัติการต้านทานต่อแรงดึงของ พอลิเมอร์คอมโพสิตเล็กน้อยเมื่อเปรียบเทียบกับพอลิเมอร์คอมโพสิตที่ใส่อะลูมิเนียมไตรไฮดรอกไซด์ นอกจากนี้สมบัติการต้านทานต่อแรงดึงของพอลิเมอร์คอมโพสิตเพิ่มขึ้นเมื่อปริมาณซิงค์บอเรทในส่วนผสมของอะลูมิเนียมไตรไฮดรอกไซด์และซิงค์บอเรทเพิ่มขึ้น พอลิเมอร์คอมโพสิตที่ใส่ซิงค์บอเรทแสดงสมบัติการต้านทานต่อแรงดึงสูงสุด เพราะซิงค์บอเรทมีผิวหยาบกว่าอะลูมิเนียมไตรไฮดรอกไซด์ส่งผลให้เกิดการยึดติดทางกล (Mechanical interlocking) ระหว่างซิงค์บอเรทและพอลิเมอร์เมทริกซ์ (Jeecham และคณะ, 2010)



(b)

รูปที่ 4.12 สมบัติการต้านทานต่อแรงดึงของพอลิเมอร์คอมโพสิตระหว่างผงซีลี้อยที่มีการตัดแปรอัตราเส้นและพอลิเอทิลีนชนิดความหนาแน่นสูงที่ผ่านการใช้งานแล้วที่มีการรวมกันของสารหน่วงไฟ (a) ความต้านทานต่อแรงดึงและความยืดสูงสุด ณ จุดขาด และ (b) โมดูลัสแรงดึง

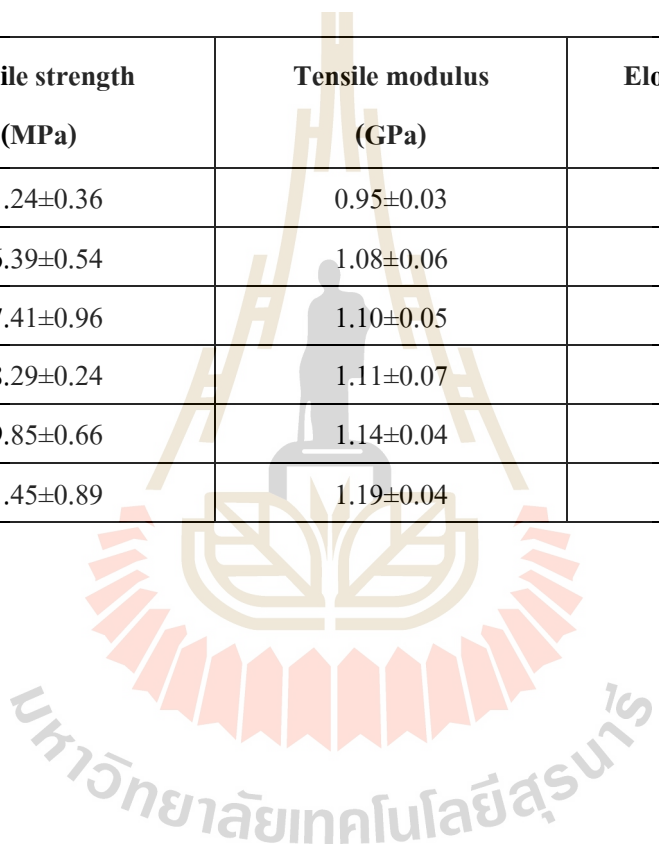
ความต้านทานต่อแรงกระแทกของพอลิเมอร์คอมโพสิทระหว่างผงซีลี้อยู่ที่ผ่านการตัดแปรรัดคาไลน์และพอลิเอทีลีนชนิดความหนาแน่นสูงที่ผ่านการใช้งานแล้วที่มีการรวมกันของสารหน่วงไฟ แสดงในรูปที่ 4.13 พบการลดลงของความต้านทานต่อแรงกระแทกของพอลิเมอร์คอมโพสิทระหว่างผงซีลี้อยู่ที่ผ่านการตัดแปรรัดคาไลน์และพอลิเอทีลีนชนิดความหนาแน่นสูงที่ผ่านการใช้งานแล้วเมื่อมีการเติมสารหน่วงไฟ



รูปที่ 4.13 ความต้านทานต่อแรงกระแทกของพอลิเมอร์คอมโพสิทระหว่างผงซีลี้อยู่ที่ผ่านการตัดแปรรัดคาไลน์และพอลิเอทีลีนชนิดความหนาแน่นสูงที่ผ่านการใช้งานแล้วที่มีการรวมกันของสารหน่วงไฟ

ตารางที่ 4.7 สมบัติทางกลของพอลิเมอร์คอมโพสิตระหว่างผงซีลื้อยที่ผ่านการตัดแปรอัลคาไลน์และพอลิเอทิลีนชนิดความหนาแน่นสูงที่ผ่านการใช้งานแล้วที่มี การรวมกันของสารหน่วงไฟ

Sample name	Tensile strength (MPa)	Tensile modulus (GPa)	Elongation at break (%)	Impact strength (kJ/m ²)
rHDPE/30AT	31.24±0.36	0.95±0.03	7.18±0.55	6.88±0.61
30ATH	26.39±0.54	1.08±0.06	4.30±0.10	5.34±0.11
20ATH/10ZB	27.41±0.96	1.10±0.05	4.36±0.38	5.42±0.10
15ATH/15ZB	28.29±0.24	1.11±0.07	4.49±0.46	5.67±0.16
10ATH/20ZB	29.85±0.66	1.14±0.04	4.56±0.19	5.78±0.32
30ZB	31.45±0.89	1.19±0.04	4.79±0.15	6.00±0.34

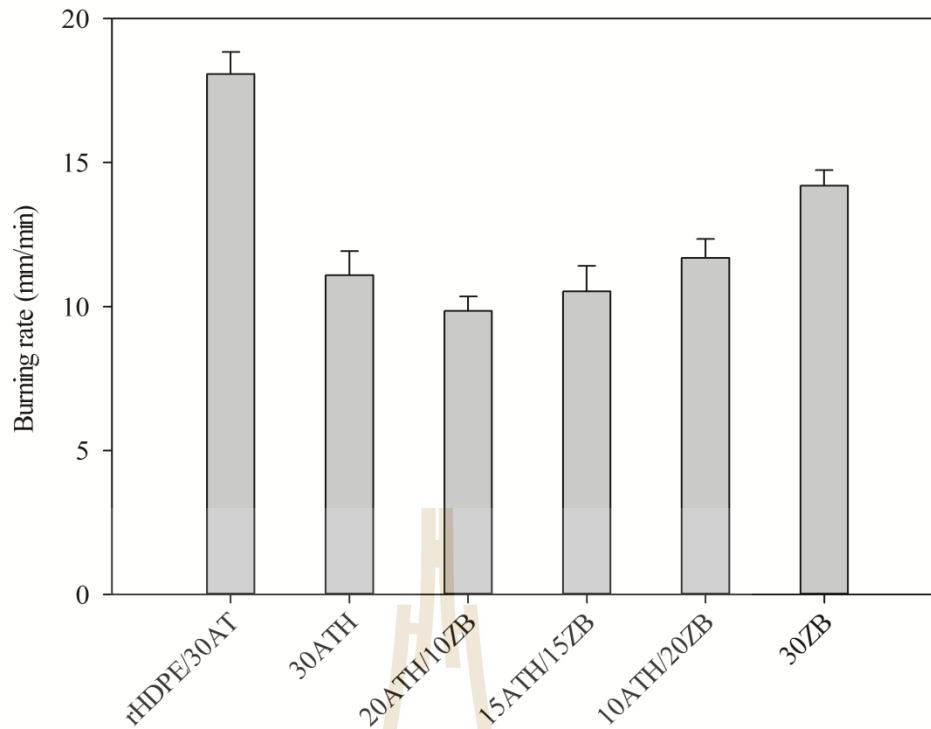


4.3.2 สมบัติการต้านทานต่อการติดไฟ

การเติมอะลูมิเนียมไตรไฮดรอกไซด์และซิงค์บอแรกซ์รวมกันในพอลิเมอร์คอมโพสิต ส่งผลให้อัตราการเผาไหม้ลดลงเมื่อเปรียบเทียบกับพอลิเมอร์คอมโพสิตที่ใส่อะลูมิเนียมไตรไฮดรอกไซด์ ดังแสดงในรูปที่ 4.14 และตารางที่ 4.8 อะลูมิเนียมไตรไฮดรอกไซด์เสื่อมสภาพในช่วงอุณหภูมิ 220-240 องศาเซลเซียส ในระหว่างกระบวนการเสื่อมสภาพของอะลูมิเนียมไตรไฮดรอกไซด์ปลดปล่อยน้ำและสร้างชั้นป้องกันขึ้นเพื่อป้องกันพอลิเมอร์คอมโพสิตจากไฟและออกซิเจน ในช่วงอุณหภูมิ 290-450 องศาเซลเซียส ซิงค์บอแรกซ์เสื่อมสภาพ ปลดปล่อยน้ำและสร้างชั้นป้องกันแยกพอลิเมอร์คอมโพสิตจากไฟและออกซิเจนด้วยเช่นกัน (Formicola และคณะ, 2009) Ibibiko (2013) รายงานว่าการรวมกันของอะลูมิเนียมไตรไฮดรอกไซด์และซิงค์บอแรกซ์แสดงการทำงานเสริมกันในการเพิ่มสมบัติการต้านทานต่อการติดไฟของพอลิเอทิลีนชนิดความหนาแน่นต่ำ

อย่างไรก็ตาม พอลิเมอร์คอมโพสิตที่ใส่ 10ATH/20ZB มีอัตราการเผาไหม้สูงกว่าพอลิเมอร์คอมโพสิตที่ใส่ 20ATH/10ZB และ 15ATH/15ZB เนื่องจากความเปราะของชั้นป้องกันจากเถ้าของสารหน่วงไฟ จึงส่งผลให้ชั้นป้องกันเกิดการแตกหักในระหว่างการเผาไหม้ (Ibibiko, 2013) Ning และ Guo (2000) รายงานว่าอัตราการเผาไหม้ของพอลิไวนิลคลอไรด์ลดลงเมื่อใส่อะลูมิเนียมไตรไฮดรอกไซด์รวมกันกับซิงค์บอแรกซ์ นอกจากนี้พอลิเมอร์คอมโพสิตที่ใส่ซิงค์บอแรกซ์มีอัตราการเผาไหม้สูงที่สุด แสดงว่าซิงค์บอแรกซ์เป็นสารหน่วงไฟที่ไม่ดีสำหรับพอลิเมอร์คอมโพสิตระหว่างผงขี้เถ้าที่ผ่านการดัดแปรอัลคาไลน์และพอลิเอทิลีนชนิดความหนาแน่นสูงที่ผ่านการใช้งานแล้ว

จากผลการทดลอง เห็นได้ว่าการรวมกันของอะลูมิเนียมไตรไฮดรอกไซด์และซิงค์บอแรกซ์แสดงการทำงานเสริมกันต่อสมบัติการต้านทานต่อการติดไฟของพอลิเมอร์คอมโพสิตระหว่าง ผงขี้เถ้าที่ผ่านการดัดแปรอัลคาไลน์และพอลิเอทิลีนชนิดความหนาแน่นสูงที่ผ่านการใช้งานแล้วที่อัตราส่วนอะลูมิเนียมไตรไฮดรอกไซด์ต่อซิงค์บอแรกซ์ 2 ต่อ 1 และ 1 ต่อ 1 นอกจากนี้พอลิเมอร์คอมโพสิตที่ใส่ 20ATH/10ZB แสดงอัตราการเผาไหม้ต่ำที่สุด



รูปที่ 4.14 อัตราการเผาไหม้ของพอลิเมอร์คอมพอสิตระหว่างผงซีลี้อยู่ที่ผ่านการคัดแปรอัลคาไลน์ และพอลิเอทิลีนชนิดความหนาแน่นสูงที่ผ่านการใช้งานแล้วที่มีการรวมกันของสารหน่วงไฟ

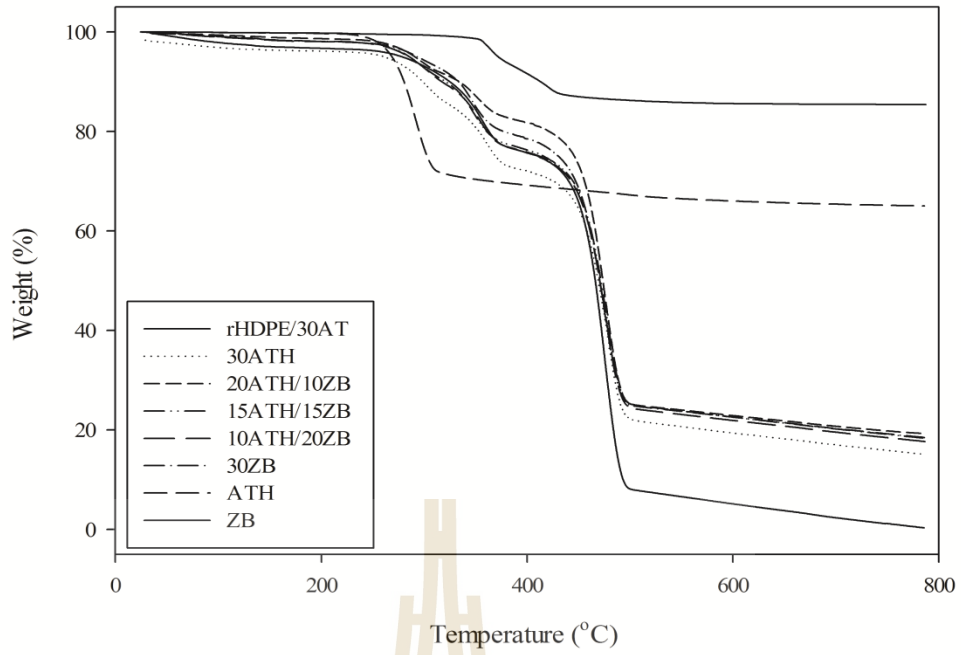
ตารางที่ 4.8 อัตราการเผาไหม้ของพอลิเมอร์คอมพอสิตระหว่างผงซีลี้อยู่ที่ผ่านการคัดแปรอัลคาไลน์และพอลิเอทิลีนชนิดความหนาแน่นสูงที่ผ่านการใช้งานแล้วที่มีการรวมกันของสารหน่วงไฟ

Sample name	Burning rate (mm/min)
rHDPE/30AT	18.07±0.77
30ATH	11.09±0.84
20ATH/10ZB	9.85±0.50
15ATH/15ZB	10.53±0.88
10ATH/20ZB	11.69±0.66
30ZB	14.20±0.54

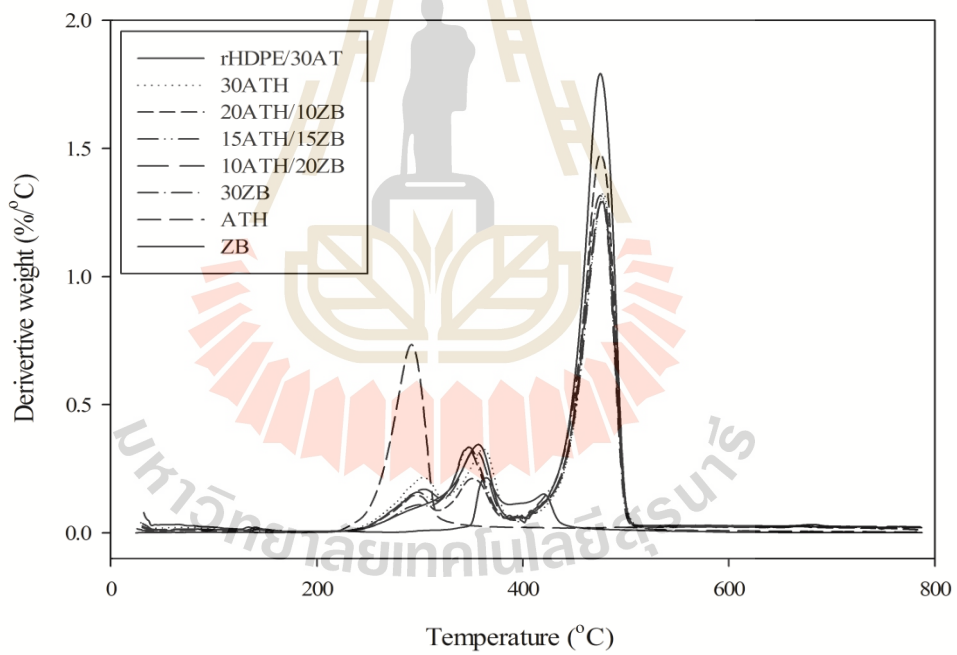
4.3.3 สมบัติทางความร้อน

กราฟ TGA และ DTGA ของอะลูมิเนียมไตรไฮดรอกไซด์ ซิงค์บอเรทและพอลิเมอร์คอมโพสิตระหว่างผงซีลีออยและพอลิเอทิลีนชนิดความหนาแน่นสูงที่ผ่านการใช้งานแล้วที่ได้สารหน่วงไฟรวมกัน แสดงในรูปที่ 4.15 อุณหภูมิการเสื่อมสภาพทางความร้อนและปริมาณถ้ำของพอลิเมอร์คอมโพสิตระหว่างผงซีลีออยที่ผ่านการคัดแปรอัลคาไลน์และพอลิเอทิลีนชนิดความหนาแน่นสูงที่ผ่านการใช้งานแล้วที่มีการรวมกันของสารหน่วงไฟแสดงในตารางที่ 4.9 พอลิเมอร์คอมโพสิตระหว่างผงซีลีออยและพอลิเอทิลีนชนิดความหนาแน่นสูงที่ผ่านการใช้งานแล้วแสดงการเปลี่ยนแปลงน้ำหนักสองลำดับ เนื่องจากการเสื่อมสภาพของผงซีลีออยและพอลิเอทิลีนชนิดความหนาแน่นสูงที่ผ่านการใช้งานแล้ว เมื่อมีการเติมอะลูมิเนียมไตรไฮดรอกไซด์ พอลิเมอร์คอมโพสิตแสดงการเปลี่ยนแปลงน้ำหนักสามลำดับ เนื่องจากการเสื่อมสภาพของอะลูมิเนียมไตรไฮดรอกไซด์ ผงซีลีออยและพอลิเอทิลีนชนิดความหนาแน่นสูงที่ผ่านการใช้งานแล้ว พอลิเมอร์คอมโพสิตที่ใส่ซิงค์บอเรทมีการเปลี่ยนแปลงน้ำหนักสองลำดับ เพราะอุณหภูมิการเสื่อมสภาพทางความร้อนของซิงค์บอเรทซ้อนกับผงซีลีออยที่ผ่านการคัดแปรอัลคาไลน์ ซิงค์บอเรทเสื่อมสภาพที่อุณหภูมิ 366.64-421.00 องศาเซลเซียส

เมื่ออะลูมิเนียมไตรไฮดรอกไซด์ถูกแทนที่ด้วยซิงค์บอเรท ที่ปริมาณ 10 ส่วนในหนึ่งร้อยส่วนของพอลิเมอร์คอมโพสิต อุณหภูมิการเสื่อมสภาพทางความร้อนของพอลิเมอร์คอมโพสิตเพิ่มขึ้นเล็กน้อยเมื่อเปรียบเทียบกับพอลิเมอร์คอมโพสิตที่ใส่อะลูมิเนียมไตรไฮดรอกไซด์ ดังแสดงในตารางที่ 4.11 นอกจากนี้ อุณหภูมิการเสื่อมสภาพของพอลิเมอร์คอมโพสิตเพิ่มขึ้นเมื่อปริมาณซิงค์บอเรทในส่วนผสมของอะลูมิเนียมไตรไฮดรอกไซด์และซิงค์บอเรทเพิ่มขึ้น เมื่ออะลูมิเนียมไตรไฮดรอกไซด์เสื่อมสภาพทางความร้อนจะปลดปล่อยน้ำและสร้างชั้นป้องกันพอลิเมอร์คอมโพสิตจากไฟและออกซิเจน ส่งผลให้เกิดการชะลอกระบวนการเสื่อมสภาพทางความร้อน เมื่อซิงค์บอเรทเสื่อมสภาพจะปลดปล่อยน้ำและสร้างชั้นป้องกันขึ้นเพื่อแยกพอลิเมอร์คอมโพสิตออกจากไฟและออกซิเจน เป็นผลให้ชั้นป้องกันมีประสิทธิภาพเพิ่มขึ้น (Formicola และคณะ, 2009)



(a)



(b)

รูปที่ 4.15 ลักษณะการเสื่อมสภาพทางความร้อนของพอลิเมอร์คอมโพสิตระหว่างพวงจี้เดี่ยวที่ผ่านการตัดแปรอัลคาไลน์และพอลิเอทิลีนชนิดความหนาแน่นสูงที่ผ่านการใช้งานแล้วที่มีการรวมกันของสารหน่วงไฟ (a) TGA และ (b) DTGA

ตารางที่ 4.9 ลักษณะการเสื่อมสภาพทางความร้อนของพอลิเมอร์คอมโพสิตระหว่างผึ่งขี้เถ้าที่ผ่านการตัดแปรอัลคาไลน์และพอลิเอทิลีนชนิดความหนาแน่นสูงที่ผ่านการใช้งานแล้วที่มีการรวมกันของสารหน่วงไฟ

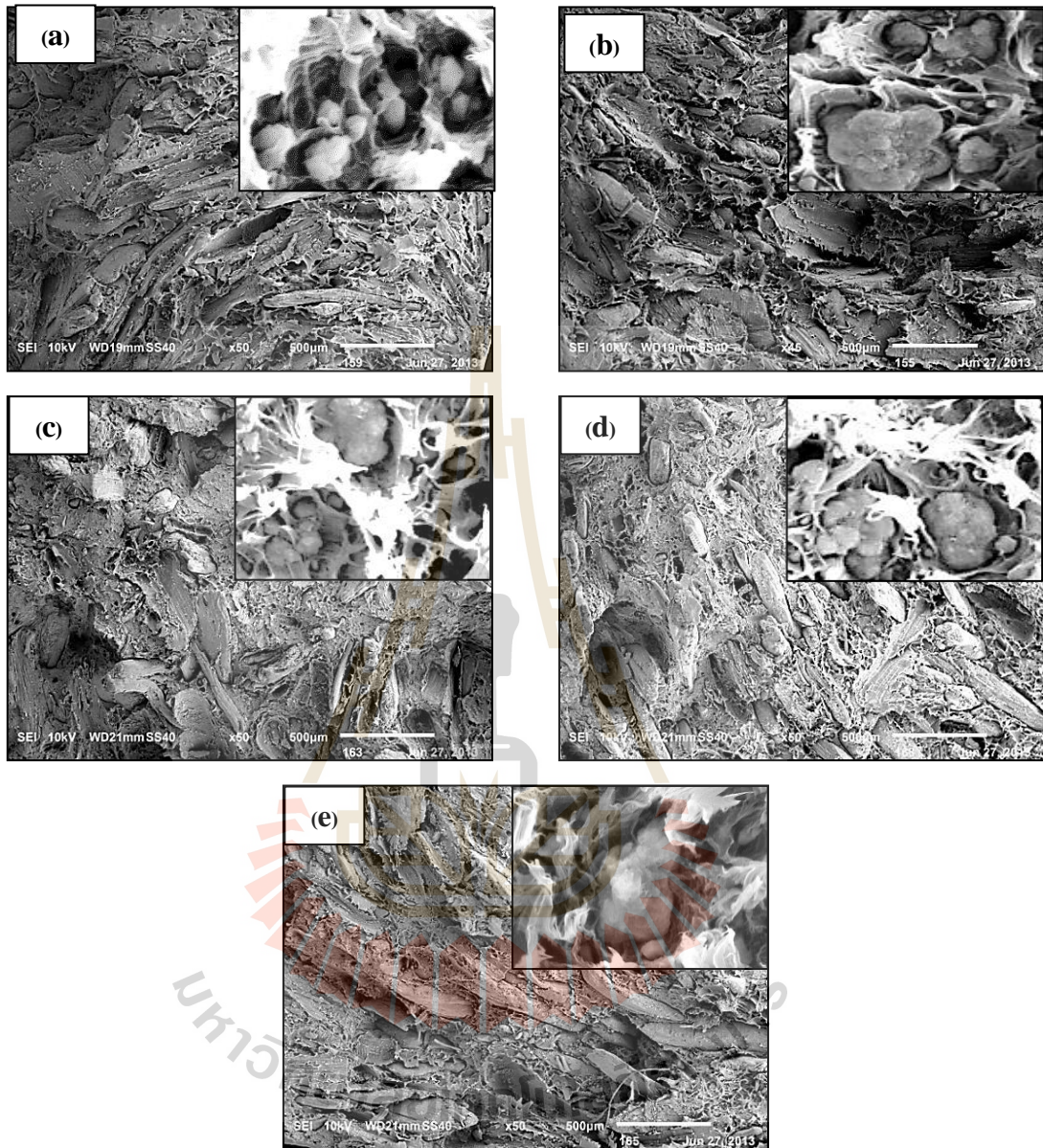
Sample name	1 st weight loss temperature (°C)	2 nd weight loss temperature (°C)	3 rd weight loss temperature (°C)	Residue (%)
rHDPE/30AT	-	353.83	476.33	6.71
30ATH	292.03	360.40	478.66	15.07
20ATH/10ZB	293.62	360.95	479.23	17.25
15ATH/15ZB	294.16	363.95	479.80	17.63
10ATH/20ZB	297.58	364.16	480.07	18.28
30ZB	-	365.14	480.52	18.46
ATH	291.67	-	-	65.21
ZB	-	366.64	421.00	85.40

4.3.4 สันฐานวิทยา

ภาพถ่ายจากกล้องจุลทรรศน์อิเล็กตรอนแบบส่องกราดของพื้นผิวที่แตกหักจากแรงดึงของพอลิเมอร์คอมโพสิตระหว่างผึ่งขี้เถ้าที่ผ่านการตัดแปรอัลคาไลน์พอลิเอทิลีนชนิดความหนาแน่นสูงที่ผ่านการใช้งานแล้วที่มีการรวมกันของสารหน่วงไฟ แสดงในรูปที่ 4.16 (a)-(e) จากรูปที่ 4.16 (a) พบช่องว่างระหว่างอะลูมิเนียมไตรไฮดรอกไซด์และพอลิเอทิลีนชนิดความหนาแน่นสูงที่ผ่านการใช้งานแล้ว เนื่องจากการยึดติดบริเวณอินเตอร์เฟซที่ไม่ดีระหว่างอะลูมิเนียมไตรไฮดรอกไซด์และพอลิเอทิลีนชนิดความหนาแน่นสูงที่ผ่านการใช้งานแล้ว อย่างไรก็ตามจากรูป 4.16 (b)-(e) แสดงให้เห็นว่าซิงค์บอเรทมีการยึดติดกับพอลิเอทิลีนชนิดความหนาแน่นสูงที่ผ่านการใช้งานแล้วที่ดีกว่าอะลูมิเนียมไตรไฮดรอกไซด์ จากผลทางสันฐานวิทยาสัมพันธ์กับสมบัติทางกลของพอลิเมอร์คอมโพสิต

ในส่วนนี้ การรวมกันของสารหน่วงไฟแสดงการปรับปรุงสมบัติทางกลและสมบัติทางความร้อนของพอลิเมอร์คอมโพสิต พบการทำงานเสริมกันในการเพิ่มสมบัติการต้านทานต่อการติดไฟของพอลิเมอร์คอมโพสิตเมื่อเติม 20ATH/10ZB และ 15ATH/15ZB ลงในพอลิเมอร์คอมโพสิต พอลิเมอร์คอมโพสิตที่ใส่ 20ATH/10ZB แสดงสมบัติการต้านทานต่อการติดไฟที่ดีที่สุด ดังนั้นจึงเลือกพอลิเมอร์คอมโพสิตนี้ไปศึกษาผลของสารช่วยใช้เข้ากันต่อสมบัติของ

พอลิเมอร์คอมโพสิตระหว่างผงซีลี้อยู่ที่ผ่านการตัดแปรอัลคาไลน์และพอลิเอทิลีนชนิดความหนาแน่นสูงที่ผ่านการใช้งานแล้ว



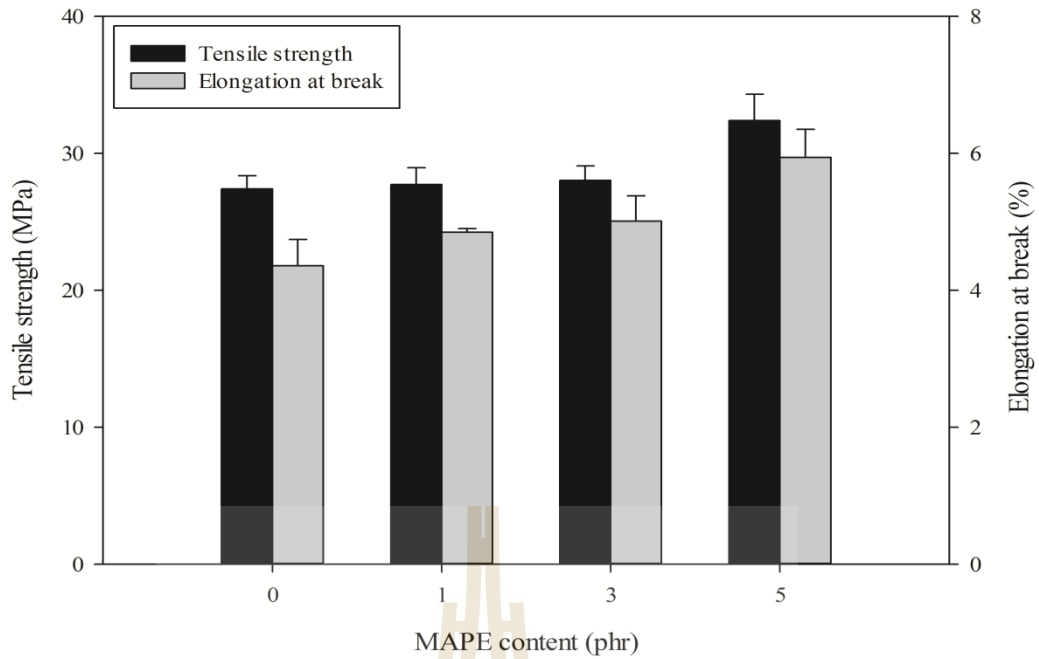
รูปที่ 4.16 ภาพถ่ายจากกล้องจุลทรรศน์อิเล็กตรอนแบบส่องกราดของพอลิเมอร์คอมโพสิตระหว่างผงซีลี้อยู่ที่ผ่านการตัดแปรอัลคาไลน์และพอลิเอทิลีนชนิดความหนาแน่นสูงที่ผ่านการใช้งานแล้วที่มีการรวมกันของสารหน่วงไฟ ที่กำลังขยาย 50 และ 2000 เท่า (a) 30ATH (b) 20ATH/10ZB (c) 15ATH/15ZB (d) 10ATH/20ZB และ (e) 30ZB

4.4 ผลของสารช่วยให้เข้ากันต่อสมบัติทางกายภาพของพอลิเมอร์คอมโพสิตระหว่างผงจีลื้อยที่ผ่านการตัดแปรอัลคาไลน์และพอลิเอทิลีนชนิดความหนาแน่นสูงที่ผ่านการใช้งานแล้วที่มีการรวมกันของสารหน่วงไฟ

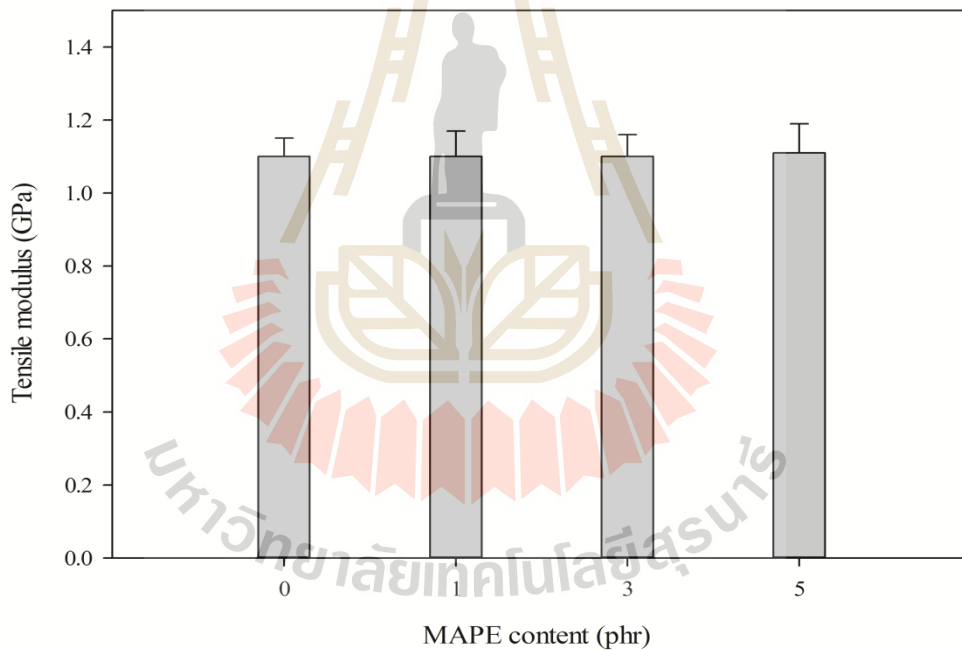
4.4.1 สมบัติทางกล

สมบัติการต้านทานต่อแรงดึงของพอลิเมอร์คอมโพสิตที่ใส่ 20ATH/10ZB ที่ปริมาณมาเลอิกแอนไฮไดรด์กราฟท์พอลิเอทิลีนต่างๆ แสดงในรูปที่ 4.17 และตารางที่ 4.10 จากรูปที่ 4.17 (a) ความต้านทานต่อแรงดึงและความยืดสูงสุด ณ จุดขาดของพอลิเมอร์คอมโพสิตเพิ่มขึ้นเมื่อปริมาณ มาเลอิกแอนไฮไดรด์กราฟท์พอลิเอทิลีนเพิ่มขึ้น ในขณะที่มอดูลัสแรงดึงไม่เปลี่ยนแปลง เนื่องจากการปรับปรุงการยึดติดบริเวณอินเตอร์เฟสระหว่างสารหน่วงไฟและพอลิเอทิลีนชนิดความหนาแน่นสูงที่ผ่านการใช้งานแล้ว โดยการสร้างพันธะเคมีจากหมู่ไฮดรอกซิลของสารหน่วงไฟและหมู่แอนไฮไดรด์ของมาเลอิกแอนไฮไดรด์กราฟท์พอลิเอทิลีน ในขณะที่สายโซ่พอลิเอทิลีนเข้ากับ พอลิเอทิลีนเมทริกซ์ ดังนั้นการยึดติดบริเวณอินเตอร์เฟสระหว่างสารหน่วงไฟและพอลิเอทิลีนชนิดความหนาแน่นสูงที่ผ่านการใช้งานแล้วจึงเพิ่มขึ้น โดยการใช้มาเลอิกแอนไฮไดรด์กราฟท์พอลิเอทิลีน (Ayrilmis, 2013; Ridzuan และคณะ, 2013) นอกจากนี้การใส่มาเลอิกแอนไฮไดรด์กราฟท์พอลิเอทิลีนสามารถปรับปรุงความเข้ากันได้ระหว่างผงจีลื้อยและพอลิเอทิลีนชนิดความหนาแน่นสูงที่ผ่านการใช้งานแล้วได้เช่นกัน (Tai และ Li, 2001)

ความต้านทานต่อแรงกระแทกของพอลิเมอร์คอมโพสิตที่ใส่ 20ATH/10ZB ที่ปริมาณมาเลอิกแอนไฮไดรด์กราฟท์พอลิเอทิลีนต่างๆ แสดงในรูปที่ 4.18 ความต้านทานต่อแรงกระแทกของพอลิเมอร์คอมโพสิตเพิ่มขึ้นอย่างต่อเนื่องเมื่อปริมาณมาเลอิกแอนไฮไดรด์กราฟท์พอลิเอทิลีนเพิ่มขึ้น เพราะการปรับปรุงการยึดติดบริเวณอินเตอร์เฟสระหว่างสารตัวเติมและพอลิเอทิลีนชนิดความหนาแน่นสูงที่ผ่านการใช้งานแล้ว ส่งผลให้ประสิทธิภาพการส่งผ่านแรงจากพอลิเมอร์เมทริกซ์สู่สารตัวเติมดีขึ้น (Yang และคณะ, 2007; Ayrilmis, 2013; Ridzuan และคณะ, 2013)

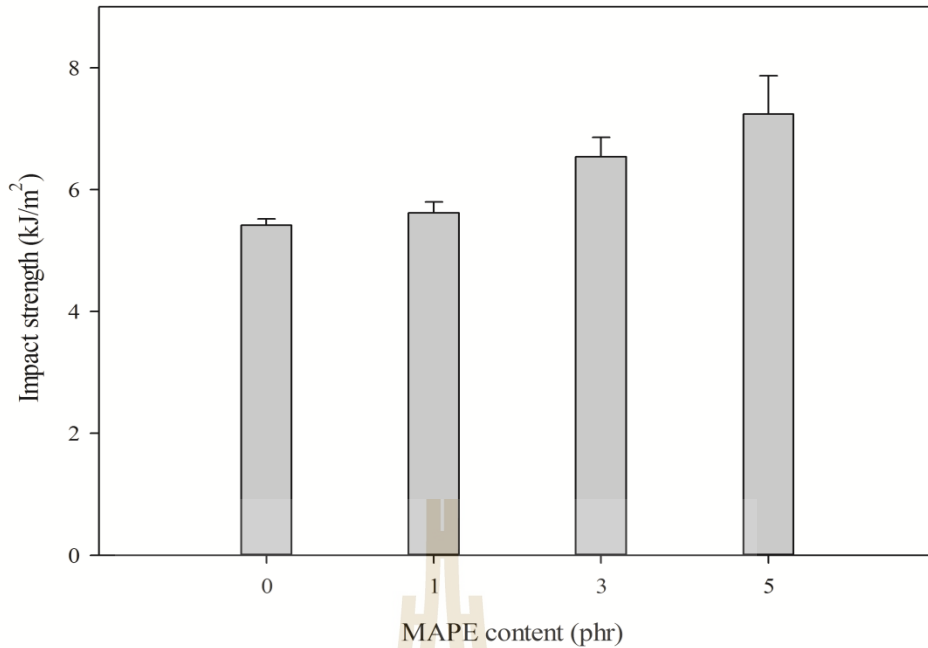


(a)



(b)

รูปที่ 4.17 สมบัติการต้านทานต่อแรงดึงของพอลิเมอร์คอมโพสิตระหว่างผงซีลีออยที่ผ่านการตัดแปรอัลคาไลน์และพอลิเอทิลีนชนิดความหนาแน่นสูงที่ผ่านการใช้งานแล้วที่มีการรวมกันของสารหน่วงไฟที่ปริมาณมาเลกแอนไฮไดรด์กราฟท์พอลิเอทิลีนต่างๆ (a) ความต้านทานต่อแรงดึงและความยืดสูงสุด ณ จุดขาด และ (b) มอดูลัสแรงดึง



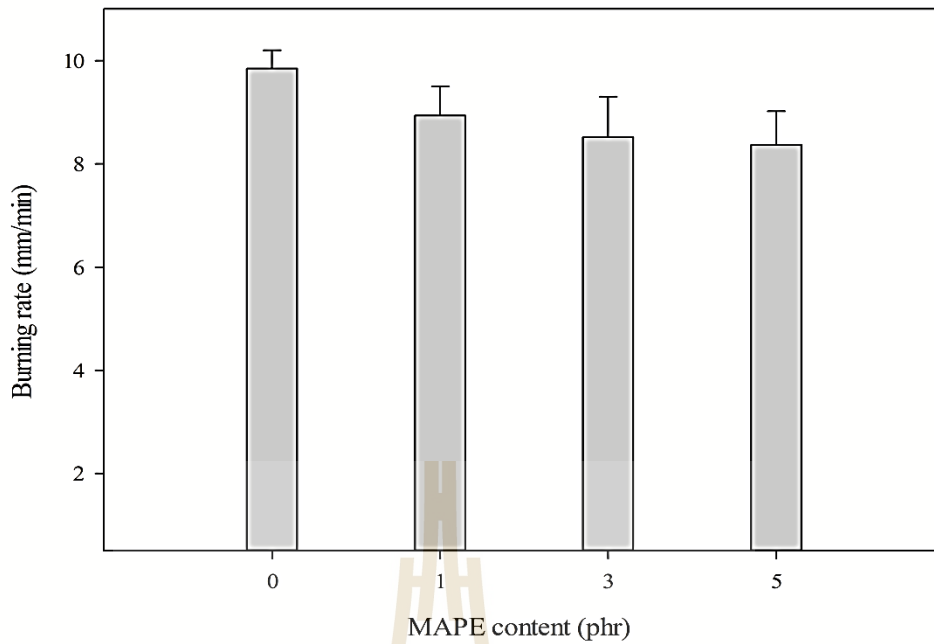
รูปที่ 4.18 สมบัติการต้านทานต่อแรงกระแทกของพอลิเมอร์คอมโพสิตระหว่างผงซีลี้อยู่ที่ผ่านการตัดแปรอัลคาไลน์และพอลิเอทิลีนชนิดความหนาแน่นสูงที่ผ่านการใช้งานแล้วที่มีการรวมกันของสารหน่วงไฟที่ปริมาณมาเลอิกแอนไฮไดรด์กราฟท์พอลิเอทิลีนต่างๆ

4.4.2 สมบัติการต้านทานต่อการติดไฟ

อัตราการเผาไหม้ของพอลิเมอร์คอมโพสิตที่ใส่ 20ATH/10ZB ที่ปริมาณมาเลอิกแอนไฮไดรด์กราฟท์พอลิเอทิลีนต่างๆ แสดงในรูปที่ 4.19 และตารางที่ 4.11 อัตราการเผาไหม้ของพอลิเมอร์คอมโพสิตลดลงเล็กน้อยเมื่อปริมาณมาเลอิกแอนไฮไดรด์กราฟท์พอลิเอทิลีนเพิ่มขึ้น เนื่องจากการกระจายตัวที่ดีของสารหน่วงไฟในพอลิเอทิลีนชนิดความหนาแน่นสูงที่ผ่านการใช้งานแล้ว (Zhang และคณะ, 2005) Li และ He (2003) รายงานว่าสมบัติการต้านทานต่อการติดไฟของพอลิเมอร์คอมโพสิตระหว่างเส้นใยไม้และพอลิเอทิลีนชนิดความหนาแน่นต่ำเชิงเส้น (Linear low density polyethylene) ที่ใส่สารหน่วงไฟชนิดแอมโมเนียมพอลิฟอสเฟส (Ammonium polyphosphate) เพิ่มขึ้นเมื่อปริมาณมาเลอิกแอนไฮไดรด์กราฟท์พอลิเอทิลีนเพิ่มขึ้น

ตารางที่ 4.10 สมบัติทางกลของพอลิเมอร์คอม โปสิทระหว่างผงซีลีย์ที่ผ่านการตัดแปรอัลคาไลน์และพอลิเอทิลีนชนิดความหนาแน่นสูงที่ผ่านการใช้งานแล้วที่มีการรวมกันของสารหน่วงไฟที่ปริมาณมาเล็กแอนไฮโดรคาร์บอเนตพอลิเอทิลีนต่างๆ

Sample name	Tensile strength (MPa)	Tensile modulus (GPa)	Elongation at break (%)	Impact strength (kJ/m ²)
20ATH/10ZB	27.41±0.96	1.10±0.05	4.36±0.38	5.42±0.10
1MAPE	27.72±1.23	1.10±0.07	4.85±0.05	5.62±0.18
3MAPE	28.02±1.06	1.10±0.06	5.01±0.37	6.54±0.32
5MAPE	32.39±1.93	1.11±0.08	5.94±0.41	7.24±0.63



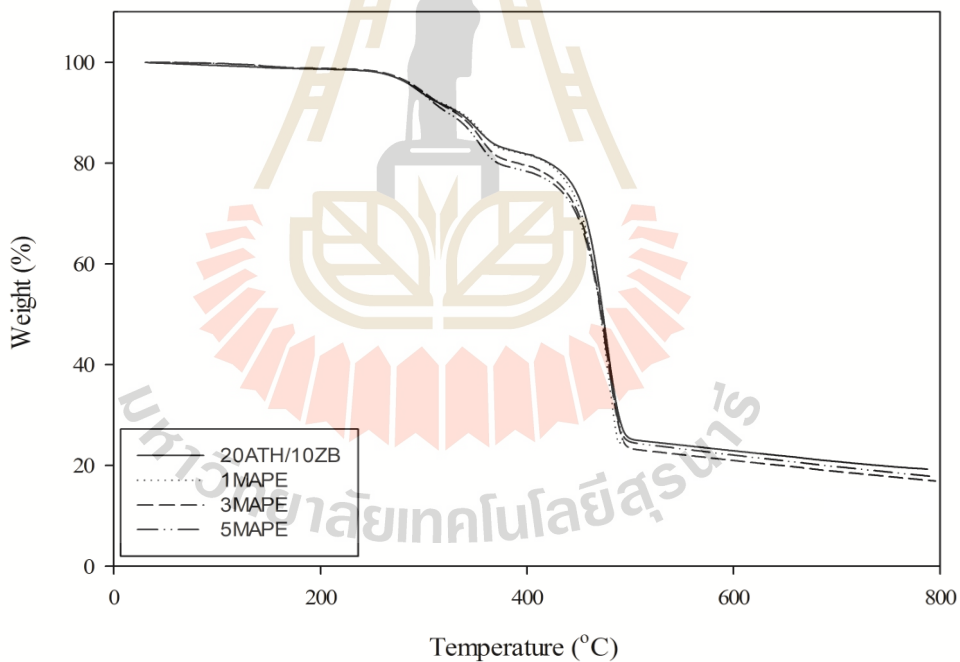
รูปที่ 4.19 อัตราการเผาไหม้ของพอลิเมอร์คอมโพสิตระหว่างผงซีลีออยที่ผ่านการคัดแปรอัลคาไลน์และพอลิเอทิลีนชนิดความหนาแน่นสูงที่ผ่านการใช้งานแล้วที่มีการรวมกันของสารหน่วงไฟที่ปริมาณมาเลอิกแอนไฮไดรด์กราฟท์พอลิเอทิลีนต่างๆ

ตารางที่ 4.11 อัตราการเผาไหม้ของพอลิเมอร์คอมโพสิตระหว่างผงซีลีออยที่ผ่านการคัดแปรอัลคาไลน์และพอลิเอทิลีนชนิดความหนาแน่นสูงที่ผ่านการใช้งานแล้วที่มีการรวมกันของสารหน่วงไฟที่ปริมาณมาเลอิกแอนไฮไดรด์กราฟท์พอลิเอทิลีนต่างๆ

Sample name	Burning rate (mm/min)
20ATH/10ZB	9.85±0.50
1MAPE	8.94±0.56
3MAPE	8.52±0.78
5MAPE	8.37±0.65

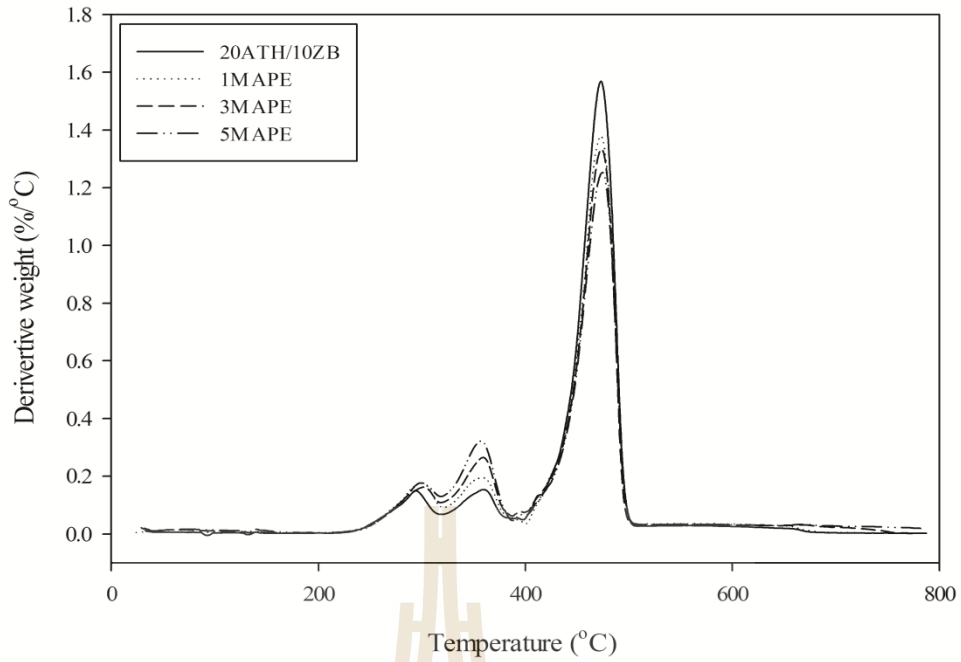
4.4.3 สมบัติทางความร้อน

กราฟ TGA และ DTGA ของพอลิเมอร์คอมโพสิตที่ใส่ 20ATH/10ZB ที่ปริมาณมาเลอิกแอนไฮไดรด์กราฟท์พอลิเอทิลีนต่างๆ แสดงในรูปที่ 4.20 (a)-(b) พอลิเมอร์คอมโพสิตที่ใส่ 20ATH/10ZB แสดงการเปลี่ยนแปลงน้ำหนักสามลำดับ เปลี่ยนแปลงน้ำหนักลำดับที่หนึ่งเกิดจากการเสื่อมสภาพของอะลูมิเนียมไตรไฮเดรต การเปลี่ยนแปลงน้ำหนักลำดับที่สองเกิดจากการเสื่อมสภาพของผงซีลีออยและซิงค์บอเรท การเปลี่ยนแปลงน้ำหนักลำดับที่สามเกิดจากการเสื่อมสภาพของพอลิเอทิลีนชนิดความหนาแน่นสูงที่ผ่านการใช้งานแล้ว อุณหภูมิการเสื่อมสภาพทางความร้อนของพอลิเมอร์คอมโพสิตเพิ่มขึ้นเล็กน้อยเมื่อมีการใส่มาเลอิกแอนไฮไดรด์กราฟท์พอลิเอทิลีน เนื่องจากการปรับปรุงการยึดติดบริเวณอินเตอร์เฟสระหว่างสารหน่วงไฟและพอลิเอทิลีนชนิดความหนาแน่นสูงที่ผ่านการใช้งานแล้ว Li และ He (2003) รายงานว่าความเสถียรต่อความร้อนของพอลิเมอร์คอมโพสิตระหว่างเส้นใยไม้และพอลิเอทิลีนชนิดความหนาแน่นต่ำเชิงเส้นที่ใส่สารหน่วงไฟชนิดแอมโมเนียมพอลิฟอสเฟสเพิ่มขึ้นเมื่อมีการใส่มาเลอิกแอนไฮไดรด์กราฟท์พอลิเอทิลีน



(a)

รูปที่ 4.20 ลักษณะการเสื่อมสภาพทางความร้อนของพอลิเมอร์คอมโพสิตระหว่างผงซีลีออยที่ผ่านการตัดแปรอัลคาไลน์และพอลิเอทิลีนชนิดความหนาแน่นสูงที่ผ่านการใช้งานแล้วที่มีการรวมกันของสารหน่วงไฟที่ปริมาณมาเลอิกแอนไฮไดรด์กราฟท์พอลิเอทิลีนต่างๆ (a) TGA และ (b) DTGA



(b)

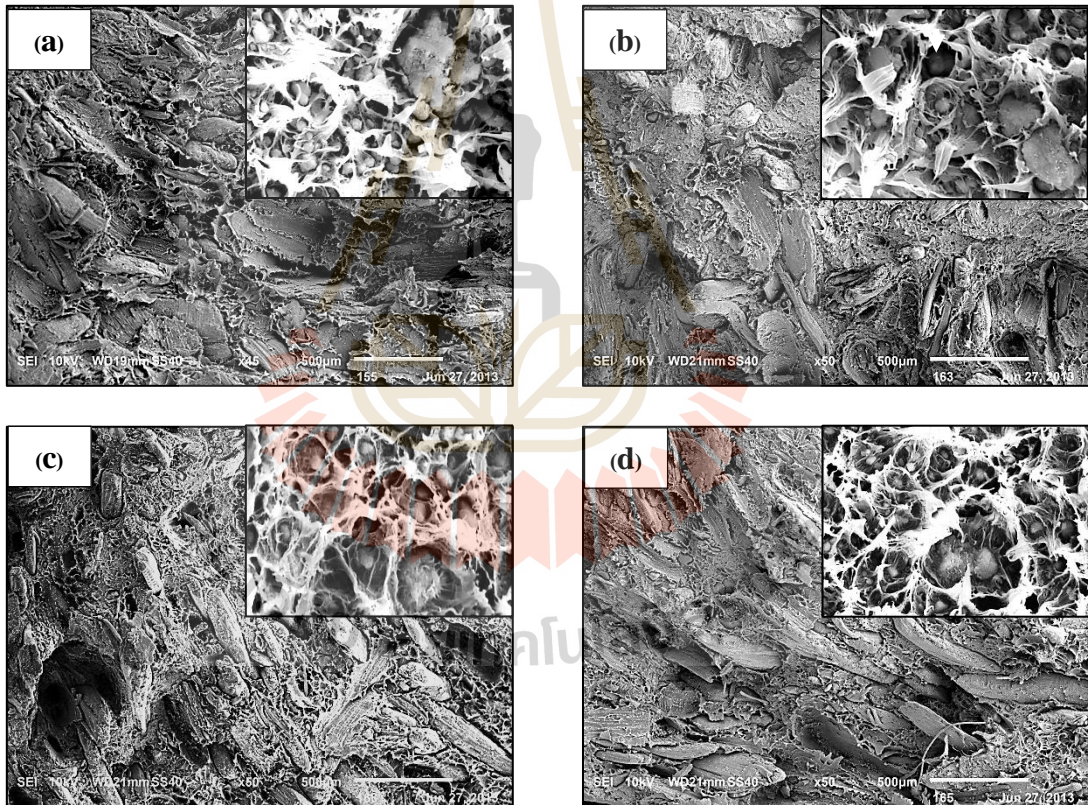
รูปที่ 4.20 (ต่อ) ลักษณะการเสื่อมสภาพทางความร้อนของพอลิเมอร์คอมโพสิตระหว่างผงซีลี้อยู่ที่ผ่านการตัดแปรรัดคาไลน์และพอลิเอทิลีนชนิดความหนาแน่นสูงที่ผ่านการใช้งานแล้วที่มีการรวมกันของสารหน่วงไฟที่ปริมาณมาเล็กแอนไฮโดรคาร์บอเนตพอลิเอทิลีนต่างๆ (a) TGA และ (b) DTGA

ตารางที่ 4.12 ลักษณะการเสื่อมสภาพทางความร้อนของพอลิเมอร์คอมโพสิตระหว่างผงซีลี้อยู่ที่ผ่านการตัดแปรรัดคาไลน์และพอลิเอทิลีนชนิดความหนาแน่นสูงที่ผ่านการใช้งานแล้วที่มีการรวมกันของสารหน่วงไฟที่ปริมาณมาเล็กแอนไฮโดรคาร์บอเนตพอลิเอทิลีนต่างๆ

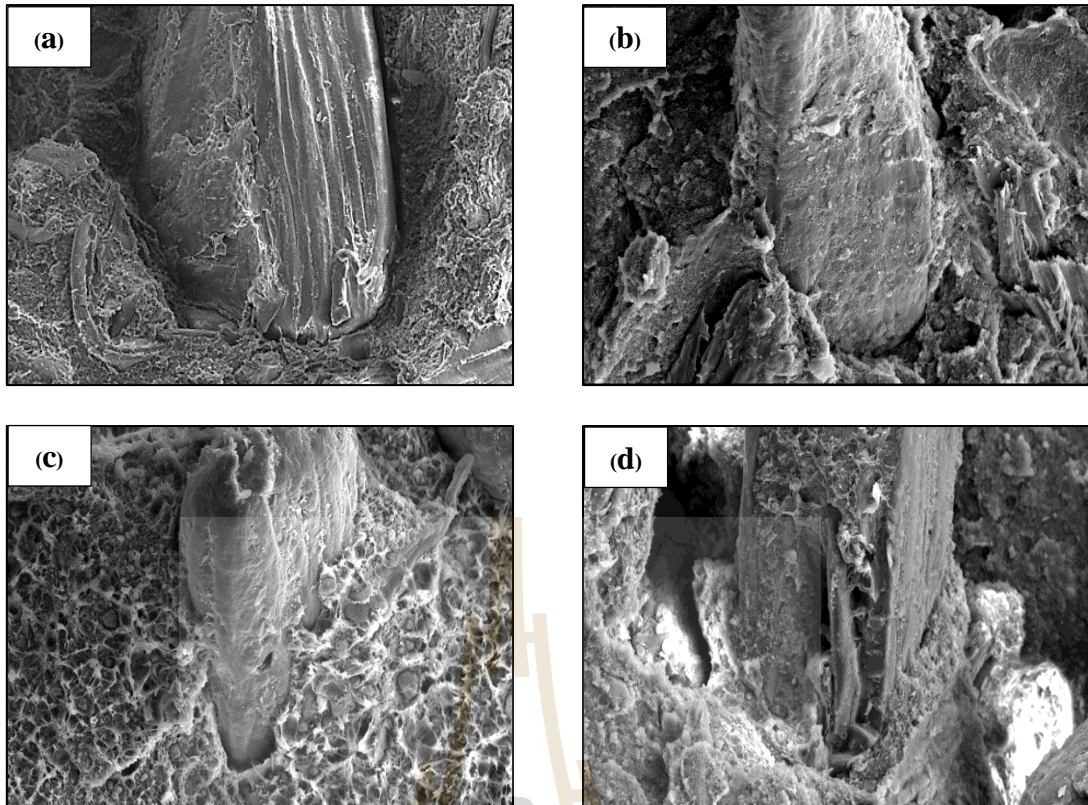
Sample name	1 st weight loss temperature (°C)	2 nd weight loss temperature (°C)	3 rd weight loss temperature (°C)	Residue (%)
20ATH/10ZB	293.62	360.95	479.23	17.25
1MAPE	295.52	361.12	480.08	16.54
3MAPE	296.03	361.79	480.78	15.64
5MAPE	296.73	362.86	481.33	15.53

4.4.4 สัณฐานวิทยา

ภาพถ่ายจากกล้องจุลทรรศน์อิเล็กตรอนแบบส่องกราดของพื้นผิวที่แตกหักจากแรงดึงของพอลิเมอร์คอมโพสิตที่ใส่ 20ATH/10ZB ที่ปริมาณมาเลอิกแอนไฮโดรด์กราฟท์พอลิเอทีลีนต่างๆ แสดงในรูปที่ 4.21 (a)-(d) พบการยึดติดบริเวณอินเตอร์เฟสที่ไม่ดีระหว่างสารหน่วงไฟและพอลิเอทีลีนชนิดความหนาแน่นสูงที่ผ่านการใช้งานแล้ว ดังแสดงในรูปที่ 4.21 (a) แต่อย่างไรก็ตามการใส่มาเลอิกแอนไฮโดรด์กราฟท์พอลิเอทีลีนปรับปรุงการยึดติดบริเวณอินเตอร์เฟสระหว่างสารหน่วงไฟและพอลิเอทีลีนชนิดความหนาแน่นสูงที่ผ่านการใช้งานแล้ว ดังแสดงในรูปที่ 4.21 (b)-(d) และพบว่าสารหน่วงไฟมีการกระจายตัวที่ดีในพอลิเอทีลีนชนิดความหนาแน่นสูงที่ผ่านการใช้งานแล้วอีกด้วย ผลทางสัณฐานวิทยาสัมพันธ์กับสมบัติทางกล นอกจากนี้ พบการปรับปรุงการยึดติดบริเวณอินเตอร์เฟสระหว่างผงซีลีเนียมและพอลิเอทีลีนชนิดความหนาแน่นสูงที่ผ่านการใช้งานแล้ว ดังแสดงในรูปที่ 4.22



รูปที่ 4.21 ภาพถ่ายจากกล้องจุลทรรศน์อิเล็กตรอนแบบส่องกราดของพอลิเมอร์คอมโพสิตระหว่างผงซีลีเนียมที่ผ่านการดัดแปรอัลคาไลน์และพอลิเอทีลีนชนิดความหนาแน่นสูงที่ผ่านการใช้งานแล้วที่มีการรวมกันของสารหน่วงไฟ ที่ปริมาณมาเลอิกแอนไฮโดรด์กราฟท์พอลิเอทีลีนต่างๆ ที่กำลังขยาย 50 และ 2000 เท่า (a) 20ATH/10ZB (b) 1MAPE (c) 3MAPE และ (d) 5MAPE



รูปที่ 4.22 ภาพถ่ายจากกล้องจุลทรรศน์อิเล็กตรอนแบบส่องกราดของพอลิเมอร์คอมโพสิตระหว่างผงซีลีเนียมที่ผ่านการตัดแปรอัลคาไลน์และพอลิเอทีลีนชนิดความหนาแน่นสูงที่ผ่านการใช้งานแล้วที่มีการรวมกันของสารหน่วงไฟ ที่ปริมาณมาเลอิกแอนไฮไดรด์กราฟท์พอลิเอทีลีนต่างๆ ที่กำลังขยาย 350 เท่า (a) 20ATH/10ZB (b) 1MAPE (c) 3MAPE และ (d) 5MAPE

บทที่ 5

สรุปผลการทดลอง

ความต้านทานต่อแรงดึง ความยืดสูงสุด ณ จุดขาด และความต้านทานต่อแรงกระแทกของพอลิเมอร์คอมโพสิตระหว่างผงซีลี้อยและพอลิเอทิลีนชนิดความหนาแน่นสูงที่ผ่านการใช้งานแล้วลดลงเมื่อปริมาณผงซีลี้อยเพิ่มขึ้น ในขณะที่มอดูลัสแรงดึงเพิ่มขึ้น ความเสถียรต่อความร้อนและสมบัติการต้านทานต่อการติดไฟลดลงด้วยเช่นกันเมื่อปริมาณผงซีลี้อยเพิ่มขึ้น ภาพถ่ายจากกล้องจุลทรรศน์อิเล็กตรอนแบบส่องกราดแสดงการรวมกันของผงซีลี้อยในพอลิเอทิลีนชนิดความหนาแน่นสูงที่ผ่านการใช้งานแล้ว และการยึดติดบริเวณอินเตอร์เฟซที่ไม่ดีระหว่างผงซีลี้อยและพอลิเอทิลีนชนิดความหนาแน่นสูงที่ผ่านการใช้งานแล้ว การตัดแปรอัลคาไลน์เพิ่มความเข้ากันได้ระหว่างผงซีลี้อยและพอลิเอทิลีนชนิดความหนาแน่นสูงที่ผ่านการใช้งานแล้ว ส่งผลให้สมบัติทางกลของพอลิเมอร์คอมโพสิตเพิ่มขึ้นที่ทุกปริมาณผงซีลี้อย ความเสถียรต่อความร้อนของพอลิเมอร์คอมโพสิตระหว่างผงซีลี้อยที่ผ่านการตัดแปรอัลคาไลน์และพอลิเอทิลีนชนิดความหนาแน่นสูงที่ผ่านการใช้งานแล้วสูงกว่าของพอลิเมอร์คอมโพสิตระหว่างผงซีลี้อยที่ไม่ผ่านการตัดแปรและพอลิเอทิลีนชนิดความหนาแน่นสูงที่ผ่านการใช้งานแล้ว ภาพถ่ายจากกล้องจุลทรรศน์อิเล็กตรอนแบบส่องกราดแสดงการปรับปรุงการยึดติดบริเวณอินเตอร์เฟซที่ดีระหว่างผงซีลี้อยที่ผ่านการตัดแปรอัลคาไลน์และพอลิเอทิลีนชนิดความหนาแน่นสูงที่ผ่านการใช้งานแล้ว จากพอลิเมอร์คอมโพสิตทั้งหมด พอลิเมอร์คอมโพสิตระหว่างผงซีลี้อยที่ผ่านการตัดแปรอัลคาไลน์และพอลิเอทิลีนชนิดความหนาแน่นสูงที่ผ่านการใช้งานแล้วที่มีปริมาณผงซีลี้อย 30 เปอร์เซ็นต์โดยน้ำหนักมีสมบัติทางกล สมบัติการต้านทานต่อการติดไฟ ความเสถียรต่อความร้อนสูงที่สุด

อะลูมิเนียมไตรไฮดรอกไซด์ปรับปรุงสมบัติการต้านทานต่อการติดไฟและความเสถียรต่อความร้อนของพอลิเมอร์คอมโพสิตระหว่างผงซีลี้อยที่ผ่านการตัดแปรอัลคาไลน์และพอลิเอทิลีนชนิดความหนาแน่นสูงที่ผ่านการใช้งานแล้ว เพราะ น้ำและชั้นป้องกันที่สร้างขึ้นระหว่างกระบวนการเสื่อมสภาพทางความร้อนของอะลูมิเนียมไตรไฮดรอกไซด์จะลดกระบวนการเสื่อมสภาพทางความร้อนของพอลิเมอร์คอมโพสิต เมื่อปริมาณอะลูมิเนียมไตรไฮดรอกไซด์เพิ่มขึ้น สมบัติการต้านทานต่อการติดไฟและความเสถียรต่อความร้อนเพิ่มขึ้น ในขณะที่ไม่ส่งผลกระทบมากนักต่อสมบัติทางกล พอลิเมอร์คอมโพสิตระหว่างผงซีลี้อยที่ผ่านการตัดแปรอัลคาไลน์และพอลิเอทิลีนชนิดความหนาแน่นสูงที่ผ่านการใช้งานแล้วที่มีปริมาณผงซีลี้อย 30 เปอร์เซ็นต์โดยน้ำหนัก และมีอะลูมิเนียมไตรไฮดรอกไซด์ 30 ส่วนในหนึ่งร้อยส่วนของพอลิเมอร์คอมโพสิตที่มีสมบัติการต้านทานต่อการติดไฟ ความเสถียรต่อความร้อนสูงที่สุด ภาพถ่ายจากกล้องจุลทรรศน์อิเล็กตรอนแบบส่องกราดแสดงการยึดติดบริเวณอินเตอร์เฟซที่ไม่ดีระหว่างอะลูมิเนียมไตรไฮดรอกไซด์และพอลิเอทิลีนชนิดความหนาแน่นสูงที่ผ่านการใช้งานแล้ว

การใส่รวมกันของอะลูมิเนียมไตรไฮดรอกไซด์และซิงค์บอเรทในพอลิเมอร์คอมโพสิตระหว่างผงซีลีอ์ที่ผ่านการตัดแปรอัลคาไลน์และพอลิเอทิลีนชนิดความหนาแน่นสูง เพิ่มสมบัติทางกลของพอลิเมอร์คอมโพสิตเล็กน้อย เมื่อเปรียบเทียบกับพอลิเมอร์คอมโพสิตที่มีการใส่อะลูมิเนียมไตรไฮดรอกไซด์ เพราะซิงค์บอเรทมีผิวที่หยาบกว่าอะลูมิเนียมไตรไฮดรอกไซด์ ความเสถียรต่อความร้อนของพอลิเมอร์คอมโพสิตเพิ่มขึ้นเมื่อปริมาณซิงค์บอเรทในส่วนผสมของอะลูมิเนียมไตรไฮดรอกไซด์และซิงค์บอเรทเพิ่มขึ้น พอลิเมอร์คอมโพสิตระหว่างผงซีลีอ์ที่ผ่านการตัดแปรอัลคาไลน์และพอลิเอทิลีนชนิดความหนาแน่นสูงที่ผ่านการใช้งานแล้วที่มีปริมาณผงซีลีอ์ที่ผ่านการตัดแปรอัลคาไลน์ 30 เปอร์เซ็นต์โดยน้ำหนัก และมีปริมาณซิงค์บอเรท 30 ส่วนในหนึ่งร้อยส่วนของพอลิเมอร์คอมโพสิต มีสมบัติทางกลและความเสถียรต่อความร้อนที่สูงที่สุด แต่มีสมบัติการต้านทานต่อการติดไฟที่ต่ำที่สุด การรวมกันของอะลูมิเนียมไตรไฮดรอกไซด์และซิงค์บอเรท ที่อัตราส่วน 1 ต่อ 1 และ 2 ต่อ 1 แสดงผลการเสริมกันในการปรับปรุงสมบัติการต้านทานต่อการติดไฟพอลิเมอร์คอมโพสิต นอกจากนี้ พอลิเมอร์คอมโพสิตระหว่างผงซีลีอ์ที่ผ่านการตัดแปรอัลคาไลน์และพอลิเอทิลีนชนิดความหนาแน่นสูงที่ผ่านการใช้งานแล้วที่มีปริมาณผงซีลีอ์ที่ผ่านการตัดแปรอัลคาไลน์ 30 เปอร์เซ็นต์โดยน้ำหนัก มีปริมาณอะลูมิเนียมไตรไฮดรอกไซด์ 20 ส่วนในหนึ่งร้อยส่วนของพอลิเมอร์คอมโพสิต และมีปริมาณซิงค์บอเรท 10 ส่วนในหนึ่งร้อยส่วนของพอลิเมอร์คอมโพสิต มีสมบัติการต้านทานต่อการติดไฟที่ดีที่สุด ภาพถ่ายจากกล้องจุลทรรศน์อิเล็กตรอนแบบส่องกราดแสดงให้เห็นว่าซิงค์บอเรทมีการยึดติดบริเวณอินเตอร์เฟซกับพอลิเอทิลีนชนิดความหนาแน่นสูงที่ผ่านการใช้งานแล้วที่ดีกว่าอะลูมิเนียมไตรไฮดรอกไซด์

เมื่อปริมาณมาเลอิกแอนไฮไดรด์กราฟท์พอลิเอทิลีนเพิ่มขึ้น สมบัติทางกลของพอลิเมอร์คอมโพสิตเพิ่มขึ้นอย่างมีนัยสำคัญ ในขณะที่สมบัติการต้านทานต่อการติดไฟ และความเสถียรต่อความร้อนเพิ่มขึ้นเล็กน้อย ภาพถ่ายจากกล้องจุลทรรศน์อิเล็กตรอนแบบส่องกราดแสดงให้เห็นว่าการปรับปรุงการยึดติดบริเวณอินเตอร์เฟซระหว่างสารตัวเติมและพอลิเอทิลีนชนิดความหนาแน่นสูงที่ผ่านการใช้งานแล้ว เมื่อมีการใส่มาเลอิกแอนไฮไดรด์กราฟท์พอลิเอทิลีน นอกจากนี้ ยังพบการกระจายตัวที่ดีของสารหน่วงไฟและผงซีลีอ์ในพอลิเอทิลีนชนิดความหนาแน่นสูงที่ผ่านการใช้งานแล้ว

บรรณานุกรม

- Adhikary, K. B., Pang, S. and Staiger, M. P. (2008). Dimensional stability and mechanical behaviour of wood- plastic composites based on recycled and virgin high- density polyethylene (HDPE). **Comp. Part B.** 39: 807-815.
- Arbelaiz, A., Fernandez, B., Cantero, G., Llano-Ponte, R., Valea, A., Mondragon, I. (2005). Mechanical properties of flax fibre/polypropylene composites. Influence of fibre/matrix modification and glass fibre hybridization. **Comp. Part A.** 36: 1637-1644.
- Atuanya, C. U. and Solomon, N. (2011). Evaluation of the mechanical properties of recycled polyethylene/iroko wood saw dust particulate composite. **J. Basic. Appl. Sci. Res.** 1: 2806-2810.
- Ayramidis, G., Militz, H., Avar, I., Viöl, W. and Wolkenhauer, A. (2012). Improved absorption characteristics of thermally modified beech veneer produced by plasma treatment. **EurJ. Wood Prod.** 70: 545-549.
- Balasuriya, P. W., Ye, L., Mai, Y. W. and Wu, J. (2002). Mechanical properties of wood flake-polyethylene composites. II. interface modification. **J. Appl. Polym. Sci.** 83: 2505-2521.
- Behzad, M., Tajvidi, M., Ebrahim, G. and Falk, R. H. (2004). Dynamic mechanical analysis of compatibilizer: effect on mechanical properties of wood flour-high density polyethylene composites. **IJE Transactions B: Applications** 17: 95-104.
- Bourbigot S. and Fortaine, G. (2010). Flame retardancy of polylactide: an overview. **Polym. Chem.** 1: 1413-1422.
- Carpentier, F., Bourbigot, S., Bras, M. L. and Delobel, R. (2000). Rheological investigations in fire retardancy: application to ethylene- vinyl- acetate copolymer/magnesium hydroxide/zinc borate formulations. **Polym. Int.** 49: 1216-1221.
- Chen, I., Hwang, S. K. and Chen, S. (1989). Chemical kinetics and reaction mechanism of thermal decomposition of aluminum hydroxide and magnesium hydroxide at high temperatures (973-1123 K). **Ind. Eng. Chem. Res.** 28: 738-742.
- Chen, T. and Shen, K. (2005). Synergistic benefits of metal hydroxides and zinc borate in flame retardant wire and cable performance compounds. 54th IWCS/ FOCUS Conference: **Proceedings of the International Wire & Cable Symposium (IWCS)**, November 13-16, Rhode Island, USA.

- Danyadi, L., Janecska, T., Szabo, Z., Nagy, G., Moczo, J. and Pukanszky, B. (2007). Wood flour filled PP composites: compatibilization and adhesion. **Comp. Sci. Tech.** 67: 2838-2846.
- Formicola, C. , De Fenzo, A. , Zarrelli, M. , Frache, A. , Giordano, M. and Camino, G. , (2009). Synergistic effects of zinc borate and aluminium trihydroxide on flammability behaviour of aerospace epoxy system. **Express Polymer Lett.** 3: 376-384.
- García, M., Hidalgo, J., Garmendia, I. and García, J. (2007). Wood-plastics composites with better fire retardancy and durability performance. **Comp. Part A.** 40: 1772-1776.
- Hausmann, K. and Flaris, V. (1997). Polymeric coupling agents as property enhancers in highly filled polymer systems. **Polym. Comp.** 5: 113-119.
- Hippi, U. , Mattila, J. , Korhonen, M. and Seppala, J. (2003) . Compatibilization of polyethylene/aluminum hydroxide (PE/ATH) and polyethylene/magnesium hydroxide (PE/MH) composites with functionalized polyethylenes. **Polymer.** 44: 1193-1201
- Ibibikan, E. (2013). Use of boron compounds as synergistic flame retardant in low density polyethylene-ethylene vinyl acetate blends and nanocomposites **Master Thesis**, Middle East Technical.
- Ichazo, M. N. , Albano, C. , González, J. , Perera, R. and Candal, M. V. (2001) . Polypropylene/wood flour composites: treatments and properties. **Comp. Struc.** 54: 207-214.
- Ikhlef, S., Nekkaa, S., Guessoum, M. and Haddaoui, N. (2012). Effects of alkaline treatment on the mechanical and rheological properties of low-density polyethylene/spartium junceum flour composites. **ISRN Polym. Sci.** 1: 1-7.
- Jayaraman, K. and Bhattacharyya, D. (2003). Mechanical performance of wood fibre-waste plastic composite materials. **Resour. Conservat. Recycl.** 41: 307-319.
- Jang, J. and Lee, E. (2001). Improvement of the flame retardancy of paper sluge/ polypropylene composites. **Polym. Test.** 20: 7-13.
- Jeencham, R. (2010) . Effect of flame retardants on physical properties of sisal fiber/polypropylene composites. **Master thesis**. Suranaree University of Technology.
- Joseph, K., Thomas, S. and Pavithran, C. (1996). Effect of chemical treatment on the tensile properties of short sisal fiber-reinforced polyethylene composites. **Polymer.** 37: 5139-5149.

- Kaewkuk, S. , Sutapun, W. and Jarukumjorn, K. (2010) . Mechanical, thermal and morphological properties of heated sisal fibers. **11th Pacific Polymer Conference 2009**. December 6-10, Cairns, Australia.
- Kurt, R. and Mengeloglu, F. (2011) . Utilization of boron compounds as synergists with ammonium polyphosphate for flame retardant wood-polymer composites. *Turk. J. Agri. For.* 35: 155-163.
- Lei, Y. , Wu, Q. , Yao, F. and Xu, Y. (2007) . Preparation and properties of recycled HDPE/natural fiber composites. **Comp. Part A.** 38: 1664-1674.
- Li, B. and He, J. (2004). Investigation of mechanical property, flame retardancy and thermal degradation of LLDPE-wood-fiber composites. **Polym. Degrad. Stab.** 83: 241-246.
- Li, Q. and Matuana, L. M (2003) . Surface of cellulosic materials modified with functionalized polyethylene coupling agents. **J. Appl. Polym. Sci.** 88: 278-286.
- Lopattananon, N. , Panawarangkul, K. , Sahakaro, K. and Ellis, B. (2006) . Performance of pineapple leaf fiber-natural rubber composites: The effect of fiber surface treatments. **J. Appl. Polym. Sci.** 102: 1974-1984.
- Lu, J. Z., Wu, Q. and Negulescu, I. I. (2005). Wood-fiber/high-density-polyethylene composites: coupling agent performance. **J. Appl. Polym. Sci.** 96: 93-102.
- Marcovich, N. E. and Villar, M. A. (2003). Thermal and mechanical characterization of linear low density polyethylene/wood flour composites. **J. Appl. Polym. Sci.** 90: 2775-2784.
- Najafi, S. K., Hamidinia, E. and Tajvidi, M. (2006) Mechanical properties of composites from sawdust and recycled plastics. **J. Appl. Polym. Sci.** 100: 3641-3645.
- Ning, Y. and Guo, S. (2000). Flame-retardant and smoke-suppressant properties of zinc borate and aluminum trihydrate-filled rigid PVC. **J. Appl. Polym. Sci.** 77: 3119-3127.
- Norzali, A., Badri, K. H. and Nuawi, M. Z. (2011). Loading effect of aluminum hydroxide onto the mechanical, thermal conductivity, acoustical and burning properties of the palm-based polyurethane composites. **Sains Malaysiana.** 40: 737-742.
- Oksman, K. and Lindberg, H. (1997). Influence of thermoplastic elastomers on adhesion in polyethylene-wood flour composites. **J. Appl. Polym. Sci.** 68: 1845-1855.
- Paul, S. A., Laurent Ibos, A. B., Candau, Y., Joseph, K. and Thomas, S (2008). Effect of fiber loading and chemical treatments on thermophysical properties of banana fiber/polypropylene commingled composite materials. **Comp. Part A.** 39: 1582-1588.

- Pickering, K. L., Abdalla, A. J. C., McDonald, A. G. and Franich, R. A. (2003). The effect of silane coupling agents on radiata pine fibre for use in thermoplastic matrix composites. **Comp. Part A** 34: 915-926.
- Pracella, M. , Chionna, D. , Anguillesi, I. , Kulinski, Z. and Piorkowska, E. (2006) . Functionalization, compatibilization and properties of polypropylene composites with hemp fibres. **Comp. Sci. Tech.** 66: 2218-2230.
- Ramazani, S. A. A., Rahimi, A., Frounchi, M. and Radman, S. (2008). Investigation of flame retardancy and physicalmechanical properties of zinc borate and aluminum hydroxide propylene composites, **Mater. Des.** 29: 1051-1056.
- Ridzuan, R., Beg, M. D. H., Rosli, M. Y., Rohaya, M. H., Astimar, A. A., Samahani, S. and Zawawi, I. (2013). Effects of coupling agent and flame retardant on the performances of oil palm empty fruit bunch fiber reinforced polypropylene composites. **World Acad. Sci. Eng. Tech.**7: 06-24.
- Sain, M., Park, S. H., Suhara, F. and Law, S. (2004). Flame retardant and mechanical properties of natural fibre-PP composites containing magnesium hydroxide. **Polym. Degrad. Stab.** 83: 363-367.
- Schartel. B., Knoll, U., Hartwig, A. and Pütz, D. (2006). Phosphonium-modified layered silicate epoxy resins nanocomposites and their combinations with ATH and organo-phosphorus fire retardants. **Polym. Adv. Tech.** 17: 281-293.
- Stark, N. M., White, R. H., Mueller, S. A. and Osswald, T. A. (2010). Evaluation of various fire retardants for use in wood flour polyethylene composites. **Polym. Degrad. Stab.** 95: 1903-1910.
- Suardana, N. P. G., Piao, Y. and Lim, J. K. (2011). Mechanical properties of hemp fibers and hemp fiber/PP composites: effects of chemical surface treatment. **Mater. Phys. Mech.** 11: 1-8.
- Suppakarn, N. and Jarukumjorn, K. (2009). Mechanical properties and flammability of sisal/PP composites: effect of flame retardant type and content. **Comp. Part B.** 40: 613-618.
- Tai, C. M. and Li, R. K. Y. (2001). Mechanical properties of flame retardant filled polypropylene composites. **J. Appl. Polym. Sci.** 80: 2718-2728.
- Tu, X., Young, R. A. and Denes, F. (1994). Improvement of bonding between cellulose and polypropylene by plasma treatment. **Cellulose.** 1: 87-106

- Yang, H. , Yan, R. , Chen, H. , Lee, D. H. and Zheng, C. (2007) . Characteristics of hemicellulose, cellulose and lignin pyrolysis, **Fuel**. 86: 1781-1788.
- Yao, F., Wu, Q., Lei, Y. and Xu, Y. (2008). Rice straw fiber-reinforced high-density polyethylene composite: effect of fiber type and loading. **Ind. Crop. Prod.** 28: 63-72.
- Zhang, X. , Guo, F. , Chen, J. , Wang, G. and Liu, H. (2005) . Investigation of interfacial modification for flame retardant ethylene vinyl acetate copolymer/ alumina trihydrate nanocomposites. **Polym. Degrad. Stab.** 87: 411-418.



ประวัติผู้วิจัย

หัวหน้าโครงการ

นางสาว กษมา จารุกัจจกร ตำแหน่ง รองศาสตราจารย์ สถานที่ติดต่อ สาขาวิชาวิศวกรรมพอลิเมอร์ สำนักวิชาวิศวกรรมศาสตร์ มหาวิทยาลัยเทคโนโลยีสุรนารี อ. เมือง จ. นครราชสีมา 30000 การศึกษา วิทยาศาสตร์บัณฑิต (เคมี) เกียรตินิยมอันดับหนึ่ง มหาวิทยาลัยขอนแก่น วิทยาศาสตรมหาบัณฑิต (วิทยาศาสตร์พอลิเมอร์) มหาวิทยาลัยมหิดล และ Ph.D. (Polymer Engineering) The University of Akron, USA สาขาวิชาการที่มีความสนใจ กระบวนการขึ้นรูปและตรวจสอบพอลิเมอร์ (Polymer processing and characterization) และพอลิเมอร์ผสมและคอมโพสิต (Polymer blends and composites) ผลงานทางวิชาการประกอบด้วย บทความทางวิชาการ 45 บทความ และ รายงานวิจัยฉบับสมบูรณ์ 15 ฉบับ

